



پی جویی به روش اکتشاف ژئو شیمیایی ۱:۲۵۰۰۰ در محدوده اکتشافی
حبسی - شریف آباد



وزارت

صنایع و معدن

سازمان زمین‌شناسی و

اکتشافات معدنی کشور

فصل اول

کلیات



پیجوبی به روش اکتشاف ژئوشیمیایی ۱:۲۵۰۰۰ در محدوده اکتشافی حبشی - شریف آباد

۱-۱ - مقدمه

در اجرای قرارداد شماره ۱۳۸۶/۴/۱۲ مورخ ۳۰۰-۲۱۳۸ بین سازمان زمین‌شناسی و اکتشافات

معدنی کشور و شرکت مهندسین مشاور پیچاب کانسار، مبنی بر انجام مطالعات ژئوشیمیایی در محدوده

حبشی به گسترش ۷۵ کیلومترمربع، کارشناسان شرکت مشاور پس از جمع‌آوری و پردازش داده‌های

زمین‌شناسی، معدنی، ژئوفیزیک هوایی، طراحی شبکه نمونه‌برداری و برداشت ۳۹۵ نمونه

ژئوشیمیایی آبراهه‌ای و ۱۴۰ نمونه کانی‌سنگین انجام و طی مدت ۱۵ روز عملیات صحرایی نمونه‌گیری در

محدوده مذکور را انجام و پس از آماده‌سازی و کدگذاری به آزمایشگاه‌های مربوطه ارسال گردید. پس از

کسب نتایج آنالیز نمونه‌ها و مطالعات کانی‌سنگین و مشخص شدن مناطق ناهنجاری، عملیات صحرایی

کنترل ناهنجاری‌ها و رخمنونهای سنگی اطراف حوضه آبریز آن‌ها، تعداد ۵۲ نمونه سنگی از زون‌های

دگرسانی و سیلیسی برای آنالیز شیمیایی تعداد ۴۱ نمونه برای مطالعات کانی‌سنگین برداشت گردید.

گزارش حاضر نتایج بررسی‌های انجام شده در دو مرحله برداشت ژئوشیمیایی و کانی‌سنگین و کنترل

ناهنجاری‌های شناسایی شده است که به شرح زیر ارائه می‌شود:

۲-۱ - موقعیت جغرافیایی

منطقه مورد مطالعه در محدوده‌ای بین طول‌های جغرافیائی^۰ ۴۷° ۴۸° و^۰ ۲۵° ۵۴° و

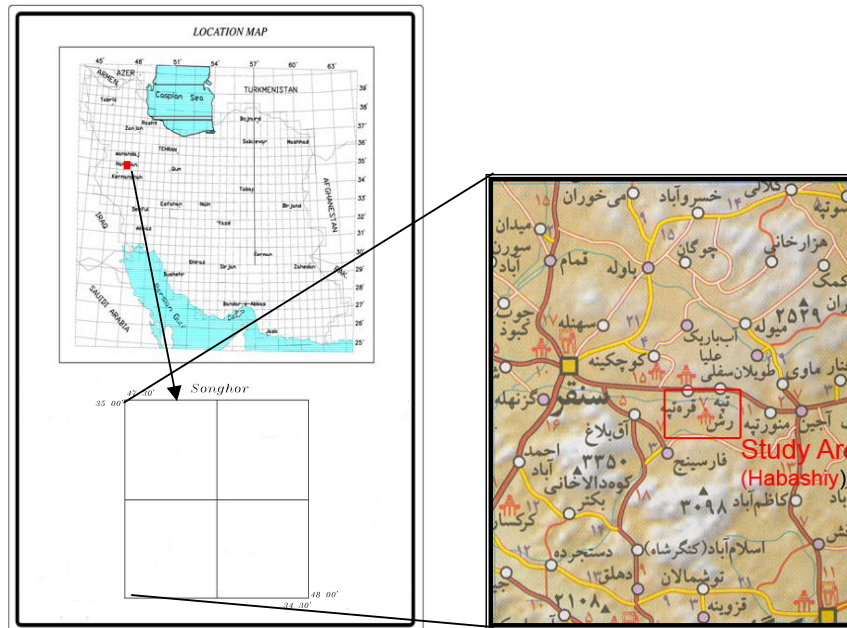
عرض‌های جغرافیائی^۰ ۰۰° ۴۵° ۴۰° و^۰ ۳۴° ۴۰° قرار گرفته است. این محدوده، در حدود ۲۰ کیلومتری

خاور شهرستان سنقر و ۳۰ کیلومتری شمال باختری شهر کنگاور در استان کرمانشاه قرار دارد.

۳-۱- راههای دسترسی

شبکه راههای ارتباطی متراکمی در منطقه احداث شده است که مهمترین آنها راههای آسفالتی همدان - اسدآباد - کنگاور (همدان - کرمانشاه)، سنقر - اسدآباد، سنقر - بیستون و سنقر - کامیاران می باشند، همچنین جاده‌های خاکی متعددی در منطقه، مناطق کوهستانی و آبادیها را به یکدیگر و مناطق شهری مرتبط می کند که بیشتر از گردنه‌های پر پیچ و خم عبور می کند.

بخش‌های شمال و شمال خاوری منطقه مورد مطالعه از طریق جاده اصلی اسدآباد - سنقر قابل دسترسی است و بخش‌های جنوب و جنوب باختری منطقه از طریق راههای فرعی قشلاق چقاپائین - کهریز - زیوه (به طول ۲۰ کیلومتر) و چقاپائین - سیردره - پیرسو (به طول ۳۰ کیلومتر) منشعب از جاده اصلی - سنقر اسدآباد قابل دسترسی می باشد (شکل ۱-۱).



شکل ۱-۱- موقعیت و راههای دسترسی به محدوده مورد مطالعه

۱-۴- آب و هوا، پوشش گیاهی و جغرافیای انسانی

محدوده مورد مطالعه ناحیه‌ای کوهستانی بوده و از کوههای بلند تشکیل شده است.

بلندترین ارتفاع محدوده از سطح دریا در حدود ۲۰۵۰ متر در بخش‌های جنوبی منطقه و کمترین

ارتفاع محدوده از سطح دریا در حدود ۱۹۰۰ متر در بخش‌های شمالی منطقه می‌باشد.

منطقه دارای شرایط آب و هوایی نیمه مرطوب- نیمه خشک می‌باشد ، زمستان‌های منطقه سرد و

طولانی و تابستان آن معتدل است و پوشش گیاهی منطقه با تراکم کم تا متوسط و بیشتر شامل علفزار

می‌باشد . رودخانه‌های مهم منطقه شامل گاوه رود و دوآب می‌باشد که پس از الحاق به رودخانه دینور به

گاماسیاب می‌پیوندد .

فعالیت‌های کشاورزی و زراعی منطقه بیشتر شامل کشت دیم و آبی گندم و جو می‌باشد و علاوه بر

آن دامپروری و صنایع دستی نیز در منطقه رواج دارد.

۱-۵- جمع‌آوری اطلاعات موجود قبلی

جهت حصول نتایج مناسب و بهره‌وری کامل از اطلاعات و اطمینان بخشی این نتایج در منطقه

مورد مطالعه، لازم است اطلاعات زمین‌شناسی و اکتشافی موجود جمع‌آوری شود. در هر حال ،

فعالیت‌های انجام شده در منطقه شامل موارد زیر است:

- نقشه‌های توپوگرافی با مقیاس ۱:۲۵۰۰۰، زیوه، آجین (سازمان نقشه‌برداری، ۱۳۷۵)
- نقشه زمین‌شناسی با مقیاس ۱:۱۰۰۰۰ سنتر (سازمان زمین‌شناسی کشور)



پی‌جویی به روش اکتشاف ژئوشیمیایی ۱:۲۵۰۰۰ در محدوده اکتشافی
حبسی - شریف‌آباد

- نقشه زمین‌شناسی با مقیاس ۱:۲۵۰۰۰ کرمانشاه (سازمان زمین‌شناسی کشور)
- نقشه ژئوفیزیک هوایی، مغناطیس‌سنگی ۱:۲۵۰۰۰ کرمانشاه (سازمان زمین‌شناسی)
- طرح آثاریابی کانی‌های صنعتی در مناطق کرمانشاه، صحنه، سنقر، کنگاور (سازمان صنایع و معادن استان کرمانشاه، ۱۳۷۸)
- طرح آثاریابی کانی‌های صنعتی در مناطق کرمانشاه، صحنه، سنقر، کنگاور (سازمان صنایع و معادن استان کرمانشاه، مهندسین مشاور کان ایران)
- گزارش اکتشافات ژئوشیمیایی و کانی‌سنگین در ورقه ۱:۱۰۰۰۰ سنقر (سازمان صنایع و معادن استان کرمانشاه) که نتیجه این بررسی‌ها منجر به شناسایی مناطق ناهنجار مختلفی شده است و پروژه حاضر نیز حاصل تلفیق دو محدوده ناهنجار با شماره‌های S8 ، S10 می‌باشد که به تفکیک تشریح می‌گردد (نقشه پیوست ۱) :

الف: محدوده ناهنجار شماره S8

این محدوده که با نام محدوده پیریوسف و شریف‌آباد نیز معرفی شده است، دارای مساحتی در حدود ۱۷/۰۵ کیلومترمربع بوده و رخنمون‌های آن شامل آهک، آندزیت، توف آندزیتی و ماسه سنگ ژوراسیک - کرتاسه بوده و دارای پهنه‌های دگرسانی هماتیتی، لیمونیتی و سیلیسی است. نمونه‌های ژئوشیمیایی و کانی سنگین اخذ شده از این محدوده برای عناصر سرب، روی، آرسنیک و آنتیموان و کانی‌های باریت و سینابر ناهنجاری نشان داده است.



پی‌جویی به روش اکتشاف ژئوشیمیایی ۱:۲۵۰۰۰ در محدوده اکتشافی
حبشی - شریف آباد

ب: محدوده ناهنجار شماره S10

این محدوده که با نام محدوده دهالیاس نیز معرفی شده است، دارای مساحتی در حدود $\frac{7}{3}$ کیلومتر مربع بوده و سنگ‌های آن شامل ریولیت، آندزیت، تراکی آندزیت، توف و آندزیت پورفیر ژوراسیک - کرتاسه می‌باشد و مقداری تراورتن حاصل چشم‌های آهک‌ساز در این منطقه وجود دارد. همچنین سنگ‌های آتشفسانی و آواری - آتشفسانی مذکور بعضاً دارای دگرسانی هماتیتی، لیمونیتی، کلریتی و اپیدوتی است.

نمونه‌های ژئوشیمیایی و کانی سنگین اخذ شده از این محدوده برای عناصر سرب، قلع، طلا، آرسنیک، روی و بریلیوم و کانی‌های طلا ناهنجاری نشان میدهد و در نمونه‌های مینرالیزه آن نیز آهن، تیتانیوم، منگنز و مقدار قابل توجهی آرسنیک دیده شده است.



پی جویی به روش اکتشاف ژئوشیمیایی ۱:۲۵۰۰۰ در محدوده اکتشافی حبشی - شریف آباد

۶-۱- زمین‌شناسی عمومی

محدوده مورد بررسی از نظر ساختاری در زون دگرگونه سنندج - سیرجان و در حاشیه و مرز آن با زون زاگرس رورانده قرار دارد . این محدوده جزئی از ورقه ۱:۱۰۰۰۰۰ سنتر می‌باشد که بخش اعظم آن در زون دگرگونه سنندج- سیرجان و بخش کوچکی در جنوب آن در سفره رورانده کرتاسه بالایی قرار میگیرد.
از ویژگی‌های مهم منطقه میتوان به موارد زیر اشاره نمود :

- الف: بهم ریختگی‌های ساختمان‌های ایجاد شده و وجود گسل‌های معکوس و تراستی
- ب: حضور پدیده‌های دگرگونی ناحیه‌ای و فعالیت‌های ولکانیکی - رسوبی در ادوار مختلف و نیز توده‌های نفوذی متعدد با ترکیب مختلف

۷-۱- زمین‌شناسی منطقه مورد مطالعه حبشی

رخنمون‌های سنگی در محدوده مورد بررسی از قدیم به جدید بصورت زیر است (شکل ۲-۱) :

۷-۱-۱- مجموعه آتشفسانی J^{V1}

شامل ترادفی از سنگ‌های آتشفسانی آندزیت ، تراکی آندزیت و داسیت آندزیتی همراه با توف‌های مربوطه است که قدیمی‌ترین واحد رخنمون در منطقه بوده و در گوشه جنوب باختری محدوده گسترش داشته و بطور ناهمساز توسط واحد JK پوشیده می‌شود . این واحد قدیمی‌ترین مجموعه سنگی در محدوده مورد بررسی بوده و دارای زمان احتمالی ژوراسیک می‌باشد .

JK^{v2}-۲-۷-۱ - مجموعه آتشفشانی و آواری - آتشفشانی JK

این مجموعه شامل تناوبی از سنگهای آتشفشانی با ترکیب آندزیت، تراکی آندزیت همراه با توف-

های سنگی - بلورین می‌باشد که در شمال خاور محدوده رخنمون داشته و بطرف جنوب با ختر توسط واحد JK بطور همیشی پوشیده می‌شود.

JK-۳-۷-۱ - مجموعه رسوبی - آتشفشانی JK

این واحد شامل ترادف ضخیم ولکانیکی - رسوبی بوده و از آندزیت، داسیت، اسلیت،

افق‌های ماسه‌سنگی، ریوداسیت، ریولیت تشکیل شده است. دارای زمان احتمالی ژوراسیک بالا - کرتاسه زیرین بوده و بخش اعظم محدوده مورد بررسی را پوشش می‌دهد. دگرگونی ضخیمی در حد اسلیتی و فیلیتی شدن را تحمل نموده است.

JK^{rhy}-۴-۷-۱ - ریولیت، ریوداسیت (JK^{rhy})

این واحد شامل ریولیت، ریوداسیت صورتی تا کرم با بافت میکروکریستالین و آفانیتیک است و زمینه سنگ شدیداً به کانی‌های رسی تبدیل شده است. بصورت توده‌های کوچک پراکنده در داخل واحد JK رخنمون داشته و گاه‌آ بصورت توف برش‌های شیشه‌ای - سنگی بلورین نیز دیده می‌شود.

JK¹-۵-۷-۱ - لیتیک توف، توف و آهک دگرگون شده (JK¹)

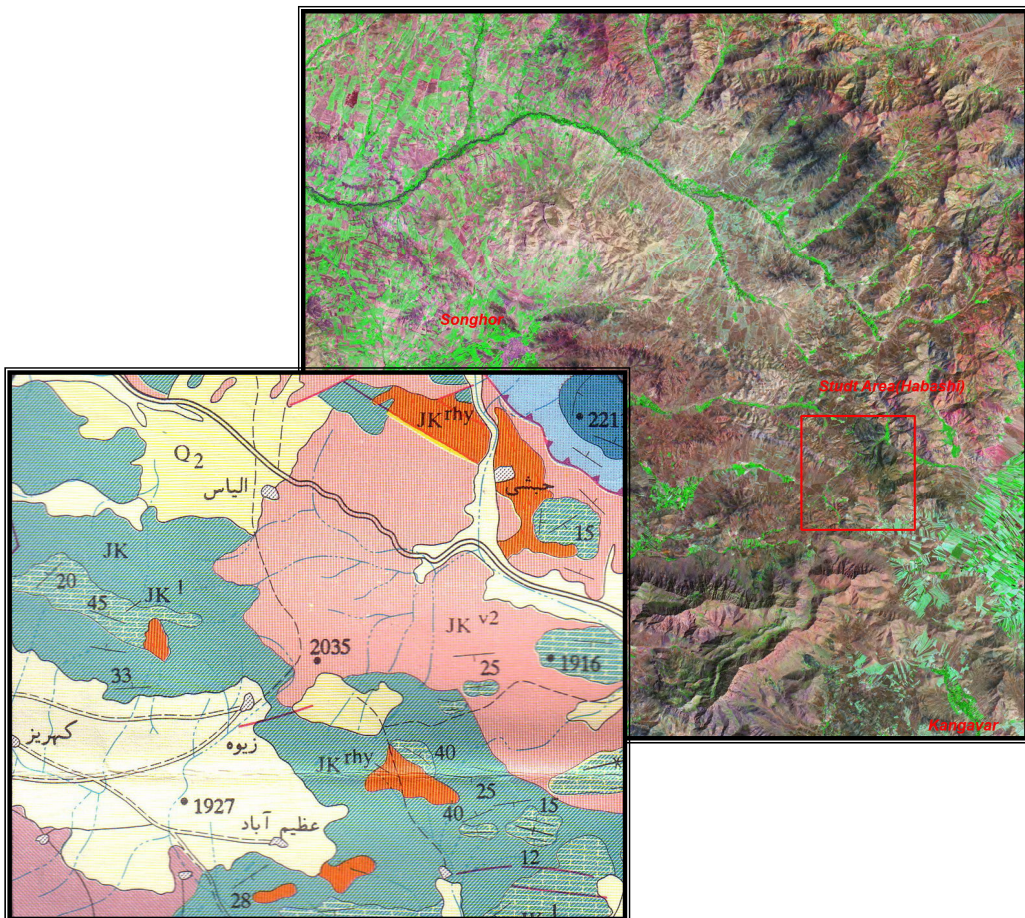
این واحد شامل آهک نازک تا متوسط لایه بوده که واحدهای ولکانیکی و ماسه‌سنگ‌های اسلیتی به صورت میان لایه در آن دیده می‌شود. این واحد بصورت بین لایه‌ای و یا عدسی در داخل واحد JK گسترش دارد. در گوشش شمال خاوری منطقه یک مجموعه آواری - کربناته دگرگون شده با مرز گسله بر روی واحد JK^{v2} رانده شده که شامل شیسته‌های کوارتز

پی‌جویی به روش اکتشاف ژئوشیمیایی ۱:۲۵۰۰۰ در محدوده اکتشافی حبشی- شریف‌آباد

- سریسیت دار و ماسه‌سنگ دگرگون شده در پایین (J^{sch}) و آهک کربستالیزه با فسیل‌های مرجان و جلبک بالا (J^l) بوده و احتمالاً همارز شیسته‌های همدان با زمان ژوراسیک می‌باشد.

۶-۷-۱- نهشته‌های آبرفتی کواترنری (Q_2, Q_3)

واحدهای کواترنری محدوده مورد بررسی را نهشته‌های آبرفتی جوان دشت شامل پادگانه‌ها و مخروطافکنه‌های رودخانه‌ای مرکب از رس، سیلت، ماسه و کنگلومرا می‌پوشاند که بخش‌های کم ارتفاع دشت را Q_3 و بخش‌های سکو مانند با ارتفاع متوسط را Q_2 در نقشه مشخص نموده‌اند.



شکل ۱-۲- تصاویر ماهواره‌ای و نقشه زمین‌شناسی محدوده مطالعه (برگرفته از نقشه زمین‌شناسی ۱:۱۰۰۰۰۰ حبشی)

۱-۸- زمین‌شناسی اقتصادی

آهن : کانی زایی آهن در نزدیکی روستای گالالی و تکیه بالا در مجاورت توده‌های گابرو و دیوریت برونزد دارد . این کانسار از نوع اسکارنی است و کانی‌های اصلی آن شامل مگنتیت بوده که هم در سنگ آهک و هم در سنگ‌های نفوذی گرانودیوریت تمرکز یافته است.

فلدسپات : ریولیت‌های موجود در واحد دارای مقادیر بالایی فلدسپات میباشند که

میتوانند در صنایع مورد استفاده قرار گیرد.

سنگ ساختمانی : آهک‌های کریستالین در نواحی سیراوند و گلمند کبود و دینور و ده آسیلاپ میتوانند به عنوان سنگ ساختمانی مورد استفاده قرار گیرد.

باریت : رگه‌های کوچکی از باریت در ولکانیکی در نزدیکی روستای همايون کش تشکیل شده است.

بطور کلی با جمع‌بندی داده‌های موجود می‌توان نتیجه گرفت که محدوده مورد بررسی از نظر کانی‌سازی طلا (کانی‌سازی از نوع طلای با سنگ میزبان ریولیتی) و کانی‌سازی کبات(تیپ اقلید) و مس میتواند مستعد باشد .



پی جویی به روش اکتشاف ژئوشیمیایی ۱:۲۵۰۰۰ در محدوده اکتشافی
حبشی - شریف آباد



فصل دوم

اکتشافات ژئوشیمیایی

۱-۲ - مقدمه

اکتشافات ژئوشیمیایی امروزه عنوان یکی از لایه‌های اطلاعاتی در اکتشافات مواد معدنی در جهان

شناخته شده است. گستره میدان آنالیزهای ژئوشیمیایی، حد تشخیص و حساسیت مناسب دستگاههای آنالیزکننده و دقت آنها امکان آنالیز متغیرهای گوناگون ژئوشیمیایی را فراهم میکند که روش‌های متنوع در پردازش داده‌ها با هدف اخذ نتایج بهینه به همراه نرم افزارهای مناسب و کارا به عنوان دست افزارهایی یک ژئوشیمیست نیل به اهداف اکتشافی را تسهیل میکند.

در حقیقت تحولات سال‌های اخیر را میتوان به عنوان انقلاب در سیستم‌های اکتشافی قلمداد نمود که در راستای آن دستاوردهای شایان توجه در زمینه اکتشافات ژئوشیمیایی حاصل شده که حاصل تلاش بی وقفه اساتید این شاخه و پیگیری رهروان این علم است.

حجم عظیم اطلاعاتی که در چرخه داده پردازی‌های ژئوشیمی اکتشافی وارد شده، کارشناسان را بر آن می‌دارد که پس از رقومی کردن آنها به راه حل‌هایی متولّ شوند که نتیجه آن دستیابی به مناطق پرپتانسیل و امیدبخش است. کارآیی سیستم کلاسیک اکتشافی و تکیه بر یافته‌های عینی در صحراء، امروزه در اکتشافات جایگاه مقبولی ندارد. هنر اکتشافات با درنظر گرفتن قوانین آمار و احتمالات و با علم بر احتمال تمرکز مواد معدنی، احتمال کشف و دسترسی به اهداف اکتشافی را سالم‌تر و آسان‌تر مینماید. یکی از راههای مرکزیت اکتشافی صنایع و معادن، اولویت‌بندی اکتشافی و تحقق پیش زمینه آن یعنی تهیه نقشه و تدوین گزارشات اکتشافات ژئوشیمیایی در مقیاس ۱:۱۰۰/۰۰۰ است. در این راستا طرح اکتشافات ژئوشیمیایی سراسری کشور تنظیم و بصورت برنامه‌ای میان مدت و بلند مدت به تقریب به پایان رسید. پیرو اتمام نقشه‌های ۱:۱۰۰/۰۰۰ ژئوشیمیایی، طرح اکتشافات نیمه تفصیلی در مقیاس ۱:۲۵۰۰۰ در

محدوده مناطق امیدبخش در دستور کار متولیان امور اکتشاف قرار گرفت و پیرو این راه، محدوده های

امیدبخش اکتشافی بصورت پیمانی (شرکت های مهندسین مشاور) در دستور کار عملیات اکتشافی قرار

گرفت. محدوده اکتشافی حبشی نیز یکی از نواحی اولویت دار اکتشافی پیمانی است که به شرکت مهندسین

مشاور پیچاب کانسار محول شد.

۲-۲- انتخاب محیط نمونه برداری

در اکتشافات ژئوشیمیایی بزرگ مقیاس، نمونه برداری از رسوب های آبراهه ای هدف اول عملیات

صحرایی است. انتخاب محیط مناسب نمونه برداری از اهمیت بسزایی برخوردار است که همچنان در

بررسی ژئوشیمیایی در مقیاس ۱:۲۵۰۰۰ بهترین مکان برای نمونه برداری رسوبات رودخانه ای است (با

توجه به جغرافیای طبیعی، توپوگرافی و زمین شناسی ایران) که خود معلول شرایط گوناگون آب و هوایی،

وضعیت زمین شناسی، توپوگرافی، کانی سازی و هم چنین شب آبراهه ها و شب کلی منطقه است.

میزان بارندگی در محیط های گوناگون عامل مهمی در ایجاد درجات متفاوتی از انواع فرسایش

مکانیکی و شیمیایی و میزان انتقال رسوبات است و ارتفاع نیز در شدت و نوع فرسایش و انتقال رسوبات در

مناطق مختلف نقش بسزایی ایفا میکند.

با بررسی کامل حوضه های آبریز طراحی و برداشت نمونه ها، امکان بررسی نهایی و دستیابی به

اطلاعات حوضه های بالادست فراهم می آید و این خود راهنمای مناسبی برای رسیدن به آنومالی های

احتمالی است. در راستای جلوگیری از هرگونه خطای نمونه برداری شایسته است که نمونه از رسوبات

آبرفتی از سطح تا عمق (حداکثر عمق ۵۰ سانتیمتر) برداشت شود. همچنین نمونه از محیط غیرهمگن و از

مرکز آبراهه برداشت شود. در مواردی مشاهده شده که نمونه بردار در جهت سهولت و سرعت کار محل نمونه را در بخش کناری آبراهه و در جایی که نهشته های آبرفتی پوشیده از سیلت و رس است انتخاب کرده که این محل ها در بسیاری از موارد نمی توانند گویای انتشار و انتقال رسوبات از محیط های اولیه بالادست به این نقاط باشند.

۳-۲- طراحی شبکه نمونه برداری

یکی از مراحل مهم و اساسی هر فاز اکتشافات ژئوشیمیایی طراحی نقاط نمونه برداری است که عنوان اساس و پایه کار می بایست بدون خطا یا با کمترین خطا صورت گیرد. طراحی یاد شده با بررسی و شناخت حوضه های آبریز یا شبکه آبراهه ها و با هدف نمونه برداری از رسوبات رودخانه ای انجام میگیرد. البته عوامل گوناگونی می تواند در طراحی نمونه ها دخیل باشد. از آن جمله میتوان به رخنمونه های سنگی، پوشش گیاهی، مزارع و مناطق کشاورزی اشاره کرد.

در هر حال ابتدا با بررسی نقشه توپوگرافی ۱:۲۵۰۰۰ منطقه، محدوده حوضه های آبریز بررسی و سیستم آبراهه ها تکمیل می شود، سپس با استفاده از نقشه زمین شناسی منطقه و با در نظر گرفتن واحد های سنگی مستعد کانی سازی، توده های نفوذی، همبری های مهم، سیستم های گسلی، معادن قدیمی، فعال و همچنین با استفاده از نقشه ژئوفیزیک هوایی و بررسی شواهد موجود در آن از جمله گسل های پنهان، وضعیت توده های نفوذی نیمه عمیق و سرانجام بررسی وضعیت جغرافیایی منطقه، راه های دسترسی و با توجه به زمان و بودجه پروژه، امر طراحی نمونه ها در محدوده مورد مطالعه انجام می شود. برای طراحی بهینه نمونه ها و انتخاب مناسب ترین نقاط علاوه بر زمان و بودجه، معیارهای زیر باید مورد توجه قرار گیرد:



پی جویی به روش اکتشاف ژئوشیمیایی ۱:۲۵۰۰۰ در محدوده اکتشافی

حبشی - شریف آباد



- دستیابی به توزیع یکنواخت نمونه‌ها در کل نقشه

- رعایت چگالی نمونه‌های ژئوشیمیایی و کانی سنگین بر پایه استانداردهای جهانی و ویژگی‌های هر

نقشه

- توزیع همگون و تا حد امکان یکنواخت نمونه‌ها متناسب با سطح حوضه آبریز و تعداد انشعب آن

- اولویت به رسوبات رودخانه‌ای که سنگ بستر خود را قطع می‌کنند

- بررسی امکانات جاده‌ای و در نظر گرفتن شرایط اسکان در نزدیکترین محل به نقشه

- توجه به واحدهای سنگی مختلف و انتشار زون‌های آلتراسیون و کانی‌سازی

پس از این مرحله نقشه‌های توپوگرافی مربوط به محدوده اکتشافی اسکن و برای رقومی کردن

محل نمونه‌ها، آبراهه‌ها، جاده‌ها و روستاهای ... از نرم‌افزارهای **Autocad** ، **Arctview** استفاده شده و با

نرم افزار **Excel** لیست نمونه‌ها همراه با مختصات آنها در سیستم **UTM** تهیه و جهت عملیات صحرایی

آماده می‌گردد . مختصات دقیق هر نمونه همراه با نقشه‌های نمونه‌برداری و دستگاه **GPS** کمک شایانی را در

تسهیل امر نمونه‌برداری به خصوص در مناطق دشت و بیابان می‌نمایند .

بطور کلی در محدوده اکتشافی حبشی تراکم نمونه‌برداری برای نمونه‌های ژئوشیمی به تقریب برای

هر کیلومترمربع ۵ نمونه و برای نمونه‌های کانی سنگین برای هر کیلومترمربع ۲ نمونه بوده است.



۴-۴- عملیات صحرایی

مراحل گوناگون اکتشافات ژئوشیمیایی همچون طراحی نمونه، نمونه برداری، آنالیز نمونه‌ها، داده‌پردازی، بررسی و تدوین گزارش همانند دانه‌های زنجیر بهم پیوسته می‌باشند و از آنجا که داده‌های حاصل از آنالیز نمونه‌ها در مرحله داده‌پردازی و تعیین نواحی آnomالی نقش اساسی را برعهده دارند، لذا دقت در نمونه برداری همچون دیگر مراحل بسیار مهم است.

در محدوده اکتشافی حبشی، با توجه به سابقه نمونه برداری قبلی از این ناحیه در عملیات صحرایی (مرحله ناحیه ای ۱:۱۰۰/۱۰۰) و انتخاب اندازه دانه‌بندی نمونه‌های ژئوشیمیایی در حد ۸۰ مش و پارامترهایی همچون اکتشاف طلا و کمبود زمان، مش نمونه برداری در این مرحله همچون فاز ناحیه ای ۸۰ مش انتخاب گردید. نمونه‌های ژئوشیمی در صورت خشک شده، سپس با الک ۸۰ مش مورد جدایش قرار برداشت و در صورت خیس بودن، ابتدا نمونه‌ها خشک شده، سپس با الک ۸۰ مش مورد جدایش قرار گرفته است. وزن نمونه‌های برداشت شده با توجه به اندازه دانه‌بندی حدود ۳۰۰-۲۰۰ گرم می‌باشد. گروه نمونه بردار با استفاده از نقشه توپوگرافی ۱:۲۵۰۰۰ و مختصات نقاط ثبت شده در دستگاه موقعیت یاب جهانی (GPS) نمونه‌ها را برداشت کردند. نمونه‌ها پس از مرحله آماده سازی صحرایی در کیسه‌های مناسب و دولایه ریخته و شماره آنها بصورت برچسب و همچنین بصورت اتیکت درون نمونه‌ها ثبت می‌شود. لیست نمونه‌های برداشت شده در پایان هر روز کنترل و انتقال شماره‌های نهایی به نقشه‌های اصلی پیشرفت کار ادامه می‌یابد. پس از طراحی محل نمونه‌ها، ۴ گروه نمونه بردار در منطقه مورد مطالعه مستقر شده و با توجه به شرایط توپوگرافی سخت منطقه، در طی ۱۵ روز کاری نمونه برداری انجام پذیرفت.



پی جویی به روش اکتشاف ژئوشیمیایی ۱:۲۵۰۰۰ در محدوده اکتشافی جبشی - شریف آباد

جهت کدگذاری نمونه‌ها در محدوده اکتشافی جوشی از کد **HA-86-1** استفاده شده است که (HA)

نام محدوده مطالعاتی جوشی، (1386) سال نمونه برداری می‌باشد، لازم به ذکر است نمونه‌های ژئوشیمیایی با وزنی در حدود ۱۵۰-۲۰۰ گرم برداشت شد و در ایستگاه‌هایی که به طور همزمان نمونه‌های ژئوشیمیایی با وکانی سنگین (۷ لیتر با جزء زیر الک ۲۰ مش) برداشت شده است به انتهای کد مربوطه حرف (H) اضافه می‌شود. نمونه‌های کانی سنگین در کیسه‌های ضخیم بسته‌بندی و کدگذاری شد و جهت حفظ شماره نمونه‌ها، شماره نمونه در کیسه‌های کوچک قرار گرفت و در درون نمونه‌های کانی سنگین جاسازی شد که جهت آماده سازی در انبار موجود بوده که با نظر مساعد ناظر محترم عملیات آماده‌سازی بر روی آن انجام خواهد شد. در بررسی‌های صحرایی، هرگونه عارضه‌ای مهم در خصوص کانی‌زایی اعم از دگرسانی، رگه و رگچه‌های سیلیسی و ... برداشت و بر روی نقشه پیشرفت مشخص می‌شود.

براساس شرح خدمات این پروژه و با توجه به اینکه مساحت محدوده مطالعاتی در حدود ۸۰ کیلومترمربع می‌باشد (حدود ۷۰ درصد منطقه دارای رخنمون بوده و ۳۰ درصد باقی در دشت‌ها قرار دارد) تعداد ۳۹۵ نمونه ژئوشیمیائی و ۱۴۰ نمونه کانی سنگین طراحی شده است.

۵-۲- آماده سازی و آنالیز نمونه‌ها

بخشی از مرحله آماده‌سازی نمونه‌ها با انتخاب قطر بهینه ذرات بوسیله الک ۸۰ مش در صحراء انجام می‌گیرد. نمونه‌ها پس از کنترل نهایی شماره‌ها همراه با لیست مربوطه ابتدا جهت نرمایش تا مرحله جزء ۲۰۰ مش به قسمت نمونه کوبی ارسال و پس از دریافت به آزمایشگاه زرآزم ارسال شد.

۶-۲- تحلیل دقت آنالیزهای دستگاهی

یکی از پارامترهای شاخص و تعیین کننده در راستای تهیه گزارش اکتشافی ژئوشیمیایی بررسی صحت و دقت آنالیزهای انجام شده بر روی نمونه‌های ژئوشیمیایی است. صحت آنالیزها را بطور معمول می‌توان با شاخص‌هایی همچون لیتولوژی سنگ‌های دربرگیرنده، حوضه نمونه‌برداری، وضعیت زمین ساخت، مقایسه با نتایج بدست آمده از مطالعات کانی سنگین، نتایج بدست آمده از نمونه‌های لیتوژئوشیمیایی، اثرات شناخته شده معدنی، پاراژنز عنصری و ... مشخص و معین ساخت. پس از اطمینان از درستی نتایج حاصله می‌توان به بحث درباره دقت نتایج بدست آمده پرداخت.

روش بکار برده شده جهت تخمین میزان خطای آنالیزهای شیمیایی روشنی است که توسط محققین کالج سلطنتی لندن در سال ۱۹۷۸ ارائه و در جزویات ژئوشیمی اکتشافی، استفاده از آن در بررسی ژئوشیمیایی آبراهه‌ای توصیه شده است (تمامسون و هاوارت).

در این روش در یک سیستم مختصات تمام لگاریتمی بر روی محور افقی میانگین مقادیر اندازه گیری شده در نمونه‌های اصلی و نمونه‌های تکراری متضاظر با آن و بر روی محور قائم قدر مطلق اختلاف بین دو اندازه گیری آورده می‌شود. دیاگرام فوق بعنوان نمودار کترولی خوانده می‌شود. در این دیاگرام خطوط مایلی دیده می‌شوند که معرف سطح دقت مورد نظر (معادل ۱۰٪) می‌باشند. حال اگر مجموع نقاط طوری در نمودار کترولی توزیع شوند که ۹۰٪ آنها زیر خط پایینی و ۹۹٪ آنها زیر خط بالایی قرار گیرند، در این صورت خطای آنالیز ۱۰٪ خواهد بود.

پی‌جویی به روش اکتشاف ژئوشیمیایی ۱:۲۵۰۰۰ در محدوده اکتشافی

حبشی - شریف‌آباد

در جدول شماره ۱ نمونه‌های اولیه و تکراری ثبت و درج شده است. بر پایه مقایسه نمودارهای

کنترلی با نمونه‌های اصلی می‌توان گفت که میزان اندازه‌گیری شده تمامی متغیرها خطای پایین‌تر از ۱۰٪

داشته است که نشان دهنده دقت آنالیزهای انجام شده است. به منظور کنترل دقت آزمایشگاه، ۳۰ نمونه

تکراری بطور کاملاً تصادفی (جدول ۱-۲) از نمونه‌های اولیه جدا شد که نتایج آنالیز آن در پیوست ۲ ارائه

شده است. جهت تخمین دقت آزمایشگاه از نمودار کنترلی یا نمودار تامپسون (نمودار ۱-۲) و روش

محاسباتی میزان خطاهای آنالیز شیمیایی نمونه‌ها استفاده شده که نتایج آنها در جدول شماره ۲-۲ و پیوست

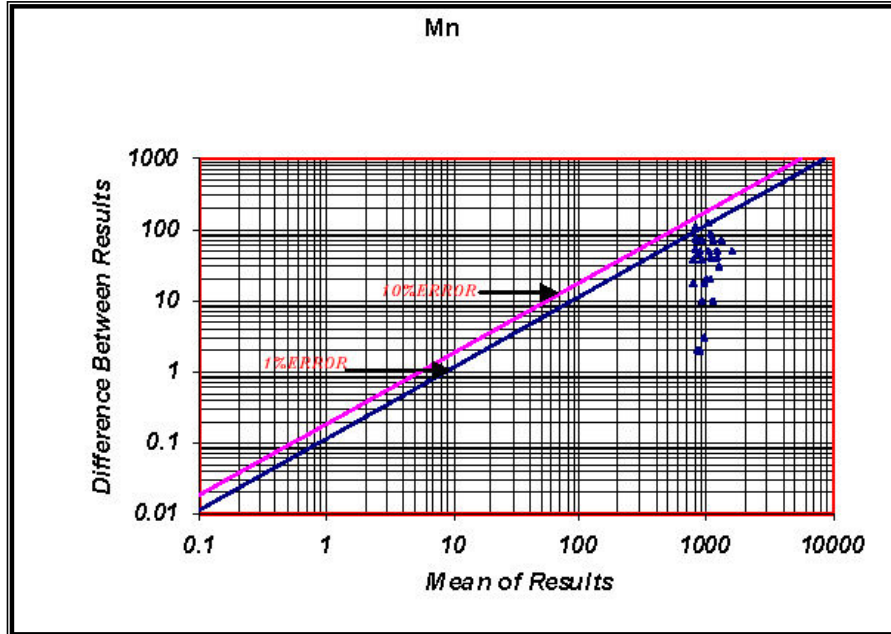
۳ ارائه شده است.

جدول ۱-۲- لیست نمونه‌های اصلی و تکراری در محدوده مطالعاتی حبشی

ORIGINAL SAMPLE	DUPLICATE SAMPLE	ORIGINAL SAMPLE	DUPLICATE SAMPLE
HA-۲۳۶	SO-۱	HA-۴۶۰	SO-۱۶
HA-۸۳	SO-۲	HA-۱۳۳	SO-۱۷
HA-۲۹۸	SO-۳	HA-۷۱	SO-۱۸
HA-۳۹۲	SO-۴	HA-۸۲	SO-۱۹
HA-۱۰۹	SO-۵	HA-۲۲	SO-۲۰
HA-۱۳۲	SO-۶	HA-۲۲۲	SO-۲۱
HA-۳۶۶	SO-۷	HA-۳۷۸	SO-۲۲
HA-۳۰۰	SO-۸	HA-۳۷۷	SO-۲۳
HA-۳۷۷	SO-۹	HA-۳۶۳	SO-۲۴
HA-۳۰۹	SO-۱۰	HA-۷۰	SO-۲۵
HA-۱۷۰	SO-۱۱	HA-۲۳۷	SO-۲۶
HA-۷۷	SO-۱۲	HA-۳۶۲	SO-۲۷
HA-۳۰۸	SO-۱۳	HA-۳۶۵	SO-۲۸
HA-۳۸	SO-۱۴	HA-۱۰۱	SO-۲۹
HA-۲۹۹	SO-۱۵	HA-۳۰۳	SO-۳۰

جدول ۲-۲- خطای نسبی نمونه‌های تکراری در محدوده مطالعاتی حبشی (بر حسب درصد)

Element	Ba	Mn	Ni									
Relative Error%	۳۰۳۴	۶۰۰۴	۳۰۳۴									
<hr/>												
Element	V	Cu	La	Cr	U	Co	Pb	Sb	Sr	Ce	Zn	Cs
Relative Error%	۱۰۰۱	۱۷۰۰۳	۱۳۰۷۰	۱۶۰۳۷	۱۶۰۱۰	۱۵۰۹۶	۱۷۰۱۹	۱۷۰۲۱	۱۷۰۲۹	۱۷۰۱۷	۱۹۰۳۹	۱۹۰۳۴
<hr/>												
Element	Li	Ag	Zr	Bi	Cd	As						
Relative Error%	۲۱۰۰۹	۲۲۰۲۲	۲۲۰۲۰	۲۲۰۷۸	۲۶۰۷۹	۲۵۰۱۰						
<hr/>												
Element	W	Mo	Sn	Au	Hg							
Relative Error%	۴۰۰۸۳	۳۰۰۷۳	۳۰۰۹۰	۱۱۰۰۱	۱۶۰۰۹							



نمودار ۱-۲- نمودار خطأگیری به روش تامپسون برای عنصر منگنز در نمونه‌های تکراری جبوی

با توجه به نمودارها و خطای محاسبه شده می‌توان گفت که :

- میزان خطای اندازه‌گیری در مورد عناصر Mn,Ni,Ba کمتر از ۱۰ درصد می‌باشد که کاملاً قابل قبول می‌باشد .
- میزان خطای اندازه‌گیری در مورد عناصر V,Pb,Cs,Sb,Zn,Cu,Ce,Cr,U,La,Co,Sr بین ۱۰ تا ۲۰ درصد است که تقریباً قابل قبول می‌باشد .
- میزان خطای اندازه‌گیری در مورد عناصر As,Zr,Li,Cd,Bi,Ag بین ۲۰ تا ۳۰ درصد است که تا حدودی می‌توان به آن استناد نمود .

- میزان خطای اندازه‌گیری در مورد عناصر Sn,Au,Mo,Hg,W بیشتر از ۳۰ درصد است که

غیرقابل قبول می‌باشد و باید محتاطانه با آن برخورد نمود.

۷-۲- مطالعه آماری تک متغیره

در بررسی‌های ژئوشیمیایی به هر عنصر یا اکسید یا هر ترکیبی که بررسی آنالیز نمونه آن

انجام می‌شود متغیر گفته می‌شود. در مطالعات آماری تک متغیره ($n=1$) پردازش روی مقادیر یک

متغیر بدون درنظر گرفتن بقیه متغیرها صورت می‌گیرد. این مطالعات شامل محاسبات پارامتری

آماری، نرمال‌سازی، رسم نمودارها، تهیه جداول مقادیر ($\bar{X} + ns$) برای داده‌های نرمال،

جدایش مقادیر خارج از رده و رسم نقشه برای هر عنصر می‌باشد. در عملیات اکتشافات

ژئوشیمیایی در محدوده اکتشافی جوشی تعداد ۳۰ عنصر آنالیز شده (پیوست ۴) که از این تعداد

۲۲ عنصر مورد پردازش قرار گرفته است.

۸-۲- فایل‌بندی داده‌های خام

با توجه به اینکه بخش عمده‌ای از داده‌پردازی‌ها با استفاده از رایانه انجام می‌شود، لذا قبل

از شروع پردازش باید کترل شده و شکل و اندازه (Format) ویژه نرم افزارهای آماری

مانند SPSS و Excel و ... را پیذیرد. این عمل برای تمامی ۳۹۵ نمونه ژئوشیمیایی و ۳۰ نمونه

تکراری در محدوده اکتشافی جوشی انجام شده است. در این قالب در ستون اول شماره نمونه، در

ستون‌های بعدی مختصات جغرافیایی نمونه‌ها و عیار عناصر گوناگون نمایش داده شده است.

۹-۲- پردازش داده‌های سنسورد

داده‌های سنسورد به داده‌هایی گفته می‌شود که توسط آزمایشگاه به صورت مقادیر کمتر یا بیشتر از یک عدد (حد تشخیص دستگاه آسالیز کننده) گزارش می‌شوند که به ترتیب متناظر با علامات a و b هستند. معنی علامت a این است که مقدار عنصر مورد سنجش موجود در این نمونه کمتر از حد تشخیص دستگاه است. در این مورد حد تشخیص دستگاه یا توانایی تشخیص آن حداقل a (پی‌پی‌ام) می‌باشد. معنی علامت b این است که مقدار عنصر مورد سنجش موجود در این نمونه بیشتر از حد تشخیص دستگاه است. در این مورد حد تشخیص دستگاه یا توانایی تشخیص آن حداقل b (پی‌پی‌ام) می‌باشد.

داده‌های سنسورد برای داده‌پرداز و بویژه نرم‌افزارهای مورد استفاده معنایی ندارد. زیرا نرم‌افزارهای داده‌پردازی فقط داده عددی را به ازای هر متغیر (عنصر) و هر شماره نمونه می‌شناسد. بنابراین بایستی داده‌های سنسورد با بهترین مقدار عددی جایگزین شوند. این اعداد که توسط فرمولها و روش‌های گوناگون محاسبه می‌شوند، فقط هنگامی جایگزین می‌شوند که تعداد کل داده‌های سنسورد نسبت به کل داده‌ها از حد معینی فراتر نباشد. با بررسی داده‌های سنسورد و روش‌های جایگزینی آنها به جای مقادیر سنسورد در حد بالا ($b > 4/3$) و بجای مقادیر سنسورد حد پایین ($a < 4/3$) جایگزین می‌شود. انتخاب بهترین مقدار برای جایگزینی داده‌های سنسورد امر مهم و حساسی است زیرا تعداد زیاد سنسوردهای حد پایین، حد زمینه را پایین برده و آنمالی‌ها را کمزنگ می‌کند. هنگامی که تعداد داده‌های سنسورد نسبت به کل داده‌ها

(در صد داده‌های سنسورد) بیشتر از حد معینی باشند، بهترین راه حذف عنصر مورد نظر از جریان

داده‌پردازی است. در محدوده اکتشافی جبشی برای هیچ عنصری مقادیر سنسورد گزارش نشده است.

۱۰-۲- جدایش مقادیر خارج از رده

مقادیر خارج از رده به مقادیری گفته می‌شود که به نحو چشمگیری خارج از مقادیر

داده‌ها در آخرین حد مقادیر کم یا زیاد قرار داشته باشند، لازم به ذکر است این مقادیر میتوانند

ناهنجاری محسوب شده و می‌توان آنها را به مناطقی که دارای کانی‌سازی هستند، منتب کرد.

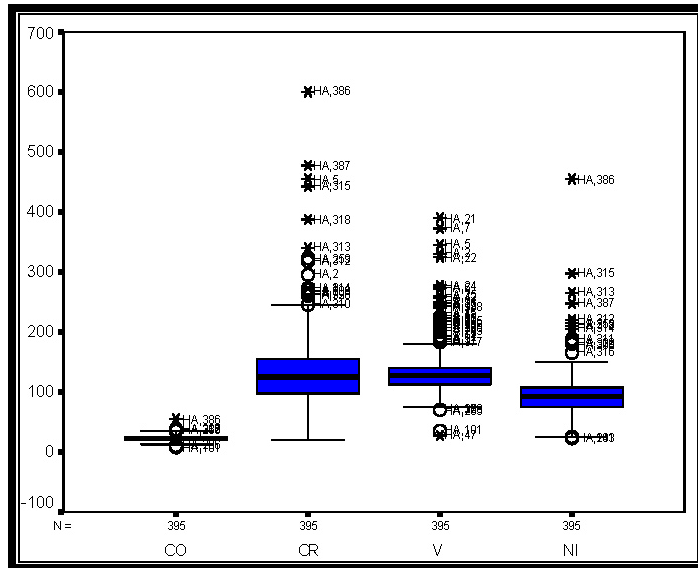
برای تشخیص و تعیین مقادیر خارج از رده از روشی بنام (Box-Plot) استفاده می‌شود که یکی از روش‌های تعیین مقادیر خارج از رده می‌باشد.

در محدوده اکتشافی جبشی در راستای محاسبات پارامتری آماری و رسم نقشه‌های

ناهنجاری از روش جدایش مقادیر خارج از رده با استفاده از روش (Box-Plot) استفاده شده

است (نمودار ۲-۲) (جدول ۲-۳).

پی‌جویی به روش اکتشاف ژئوشیمیایی ۱:۲۵۰۰۰ در محدوده اکتشافی حبشی - شریف آباد



نمودار ۲-۲- نمودار جعبه‌ای برای تعدادی از عناصر در محدوده حبشی

جدول ۳-۲- مقادیر خارج از رده در محدوده حبشی

عنصر	مقادیر بالای خارج از رده	مقادیر پائین خارج از رده
Ag	TU.۸۲.H	TU.۱۱۱.H
As	TU.۴۷	TU.۳۵
Au	TU.۶۱۰	TU.۱
Ba	TU.۱۰۷	TU.۷
Bi	TU.۷۱	TU.۱۷۵
Cd	TU.۱۴۰	TU.۱۷
Ce	TU.۱۰۰.H	TU.۱۰۴
Co	TU.۱۰۷	TU.۶۵۸
Cr	TU.۷۱	TU.۵۰
Cu	TU.۱۶۱	TU.۲۰۴.H
Hg	TU.۱۰۹.H	TU.۱۰۰.H
Ia	TU.۱۰۷	TU.۷۶
Li	TU.۱۹۶	TU.۱۲۴
Mn	TU.۱۰۷	TU.۱
Mo	TU.۱۱۱.H	TU.۷۰
Ni	TU.۷۱.H	TU.۶۱۱
Pb	TU.۱۶۰	TU.۷
Sb	TU.۱۶۰	TU.۲۶
Sn	TU.۲۲	TU.۲۰
Sr	TU.۱۰	TU.۱۰۷
Te	TU.۲۲.	TU.۴۵.H
U	TU.۱۰۷	TU.۱.H
V	TU.۷۹	TU.۸۴.H
W	TU.۷۱	TU.۱۱.H
Zn	TU.۷۱.H	TU.۲۲۰.H
Zr	TU.۶۵۸	TU.۲۲

۱۱-۲- پردازش‌های آماری

۱۱-۲- پارامترهای آماری

پارامترهای آماری در سه گروه پارامترهای مرکزی(Central Tendency)، پارامترهای

پراکندگی(Dispersion) و پارامترهای توزیعی(Distribution) طبقه‌بندی می‌شوند. گروه اول شامل میانگین(\bar{X}) که میزان تمایل به مرکز داده‌ها را مشخص می‌کند، گروه دوم شامل انحراف معیار(S) و واریانس و بیشترین و کمترین مقدار داده‌هاست که میزان پراکندگی داده‌ها نسبت به میانگین را مشخص می‌کنند، گروه سوم شامل چولگی(Kurtosis) و کشیدگی(Skewness) است که به ترتیب میزان تقارن حول میانگین و تیزی منحنی را نشان میدهند.

انتظار یک ژئوشمیست در مقیاس ناحیه‌ای، داشتن جوامع لاغ نرمال با چولگی مثبت است زیرا در این جوامع مقادیر بالا با فراوانی اندک میتواند معرف پتانسیل‌های اقتصادی باشند. جوامع لاغ نرمال به جوامعی گفته می‌شود که لگاریتم داده‌های آن جوامع دارای توزیع نرمال باشد.

با بررسی پارامترهای آماری داده‌های خام مشاهده می‌شود که بیشترین چولگی مربوط به عناصر کادمیم و روی با مقادیر ۶/۵۷ و ۵/۰۱ (جدول ۴-۲) و بیشترین ضریب کشیدگی مربوط به عناصر کادمیم و روی با مقادیر ۶۴/۲۶ و ۳۲/۶۵ است.

پی‌جويی به روش اكتشاف ژوسيميايی ۱:۲۵۰۰ در محدوده اكتشافي حبشي - شريفآباد

جدول ۴-۲- پارامترهای آماری داده‌های خام در محدوده حبشي

Element	N		Mean	Median	Mode	Std. Dev.	Variance	Skewness	Kurtosis	Minimum	Maximum
	Valid	Missing									
MN	۷۹۰,۰۰	۰,۰۰	۱۰۷,۶۰	۱۰۷,۰۰	۱۰۹,۰۰	۷۸,۷۴	۷۷۹۹۵,۷۸	۵,۶۹	۳۰,۷۹	۲۶۳,۰۰	۷۷۳,۰۰
BA	۷۹۰,۰۰	۰,۰۰	۲۶۲,۷۶	۲۶۲,۷۶	۲۶۲,۷۶	۱۰,۰۷	۲۲۲۶۵,۱۹	۵,۹۴	۱۰,۷۶	۱۰,۷۶	۲۶۰,۰۰
CR	۷۹۰,۰۰	۰,۰۰	۱۳۷,۶۷	۱۳۷,۶۷	۱۳۷,۶۷	۱۰,۰۰	۱۱۱۸۵,۱۹	۷,۷۵	۱۷,۷۱	۳۰,۰۰	۲۰۰,۰۰
NI	۷۹۰,۰۰	۰,۰۰	۹۴,۷۰	۹۴,۷۰	۹۹,۰۰	۷۸,۰۱	۷۴۰۷۸,۷۳	۷,۷۹	۷۶,۷۲	۲۳,۰۰	۱۰۴,۰۰
ZN	۷۹۰,۰۰	۰,۰۰	۹۰,۰۳	۹۱,۱۰	۹۱,۱۰	۸,۳۶	۷۷۱۰,۶۷	۰,۰۱	۳۵,۶۰	۳۷,۹۰	۸۰۱,۰۰
V	۷۹۰,۰۰	۰,۰۰	۱۳۶,۷۷	۱۳۶,۷۷	۱۳۶,۷۷	۸,۱۷	۱۷۷۷۷,۷۱	۵,۰۰	۹,۰۸	۲۶۹,۰۰	۲۶۹,۰۰
SR	۷۹۰,۰۰	۰,۰۰	۱۴۰,۷۶	۱۴۰,۷۶	۱۴۰,۷۶	۱۰,۰۰	۱۷۰,۷۶	۷,۸۹	۱۳,۴۰	۲۶۸,۰۰	۲۶۸,۰۰
PB	۷۹۰,۰۰	۰,۰۰	۲۶۸,۸۹	۲۶۸,۸۹	۲۶۸,۸۹	۹,۷۰	۲۶۸۱,۶۰	۸,۷۴	۲۶۸,۵۹	۰,۰۰	۲۶۸,۰۰
CU	۷۹۰,۰۰	۰,۰۰	۲۰,۰۸	۲۰,۰۸	۲۰,۰۸	۵,۸۰	۱۷۶,۴۰	۱,۱۱	۱,۱۹	۲,۱۰	۲۰۱,۰۰
AS	۷۹۰,۰۰	۰,۰۰	۱۰,۰۷	۱۰,۰۷	۹,۷۰	۷,۵۰	۵۷,۰۱	۵,۲۳	۷,۳۶	۸,۸۰	۲۹,۱۰
LA	۷۹۰,۰۰	۰,۰۰	۲۲۲,۳۶	۲۲۲,۳۶	۲۲۲,۳۶	۱۰,۰۰	۲۲۲,۳۶	۰,۰۱	۲۰,۷	۲۰,۷	۲۸۰,۰۰
CO	۷۹۰,۰۰	۰,۰۰	۲۲۳,۱۹	۲۲۳,۱۹	۲۲۳,۱۹	۱۰,۰۰	۲۲۳,۱۹	۶,۹۱	۲۶,۱۸	۱,۰۳	۶۱۹,۰۰
AU	۷۹۰,۰۰	۰,۰۰	۵,۷۴	۵,۷۴	۵,۷۴	۱,۰۰	۵,۷۴	۰,۰۲	۵,۷۷	۱۷,۰۸	۰,۰۰
SN	۷۹۰,۰۰	۰,۰۰	۵,۰۷	۵,۰۷	۵,۰۷	۱,۰۰	۴,۷۰	۰,۰۱	۲,۰۱	۰,۹۰	۷,۰۰
W	۷۹۰,۰۰	۰,۰۰	۱,۴۴	۱,۴۴	۱,۴۴	۰,۹۰	۰,۷۸	۰,۶۱	۱,۷۹	۰,۵۸	۰,۹۰
SB	۷۹۰,۰۰	۰,۰۰	۱,۲۳	۱,۲۳	۱,۲۳	۰,۸۰	۰,۷۸	۰,۴۷	۱,۲۳	۱,۱۵	۰,۰۰
U	۷۹۰,۰۰	۰,۰۰	۱,۸۷	۱,۸۷	۱,۸۷	۰,۰۱	۰,۷۶	۰,۰۱	۰,۴۳	۱,۱۱	۰,۰۹
CD	۷۹۰,۰۰	۰,۰۰	۰,۴۱	۰,۴۱	۰,۴۱	۰,۳۰	۰,۳۰	۰,۰۹	۰,۰۷	۰,۶۲	۰,۰۰
MO	۷۹۰,۰۰	۰,۰۰	۱,۳۰	۱,۳۰	۱,۳۰	۰,۴۰	۰,۴۰	۰,۱۹	۱,۴۷	۳,۰۷	۰,۴۰
AG	۷۹۰,۰۰	۰,۰۰	۰,۰۳	۰,۰۳	۰,۰۳	۰,۰۰	۰,۰۰	۰,۰۰	۰,۱۱	۰,۱۱	۰,۱۵
BI	۷۹۰,۰۰	۰,۰۰	۰,۰۱	۰,۰۱	۰,۰۱	۰,۰۰	۰,۰۰	۰,۰۱	۰,۰۸	۰,۷۰	۰,۰۰
HG	۷۹۰,۰۰	۰,۰۰	۰,۰۳	۰,۰۳	۰,۰۳	۰,۰۰	۰,۰۰	۰,۰۰	۰,۰۷	۲۶,۹۲	۰,۰۰

کمترین مقادیر چولگی داده‌های خام را عنصر لانتانیوم با مقدار ۰/۰۳ نشان داده و

کمترین کشیدگی مربوط به عنصر نقره با مقدار ۰/۱۱ میباشد. در ضمن بیشترین میانگین مربوط

به عنصر منگنز با مقدار ۱۰/۶۳ و کمترین میانگین مربوط به عنصر جیوه با مقدار ۰/۰۳ میباشد

علاوه بر آن بیشترین انحراف استاندارد و واریانس مربوط به منگنز با مقدار ۷۷۹۹۲/۲۷ و ۷۷۹۹۲

است و کمترین انحراف استاندارد و واریانس مربوط به جیوه با مقدار ۰/۰۵ و ۰/۰۰ است.

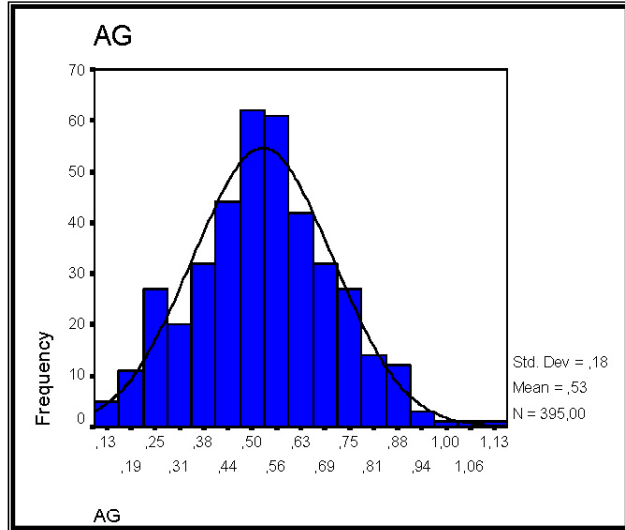


پی‌جوبی به روش اکتشاف ژئوژیمیایی ۱:۲۵۰۰۰ در محدوده اکتشافی حبشی- شریف آباد

۱۱-۲- رسم نمودارها

۱۱-۲-۱- هیستوگرام

به نموداری که در آن فراوانی (تعداد) نمونه‌های مربوط به یک (یا یک محدوده) عیار نسبت به خود (محدوده) عیار رسم می‌شوند، هیستوگرام گفته می‌شود. اندازه گروه‌های انتخابی در هیستوگرام بر مبنای تابع توزیع توسط نرم افزار روی محور افقی و فراوانی هر گروه روی محور عمودی مشخص می‌شود. در تعیین فواصل گروهی بهینه از روش‌های متعددی استفاده می‌شود. مثلاً یک روش محاسبه فرمول $K=10\log N$ که K تعداد فواصل و N تعداد داده‌هاست. آمارهای انحراف معیار، میانگین و تعداد داده‌ها در سمت راست هیستوگرام آورده شده‌اند. از روی هیستوگرام سه ویژگی مهم، موقعیت (Location)، پراکندگی (dispersion) و شکل (Shape) منحنی توزیع را می‌توان دریافت و بررسی کرد. موقعیت یک جامعه آماری از روی میانگین حسابی، هندسی، میانه و مد جامعه بررسی می‌شود. پراکندگی یک جامعه آماری از روی فاکتورهای گروه دوم پارامترهای آماری یعنی واریانس، انحراف معیار دامنه و انحراف درون چارکی قابل بررسی است. اما شکل هیستوگرام یک جامعه آماری به تعداد مدهای جامعه، چولکی و کشیدگی آن بستگی دارد که در بخش تشریح ناهنجاری‌ها، هیستوگرام و منحنی تابع توزیع احتمالی داده‌های خام ارائه می‌شود (نمودار ۲-۳).



نمودار ۳-۲- هیستوگرام داده‌های خام عنصر نقره در محدوده مطالعاتی حبشی

۱۱-۲-۲- تابع توزیع احتمالی (Probability plot)

این نمودار نحوه توزیع فراوانی جامعه (محور افقی) نسبت به فراوانی نسبی تجمعی

مورد انتظار از یک جامعه نرمال (محور عمودی) را نشان میدهد. اگر جامعه ما نرمال باشد ، این

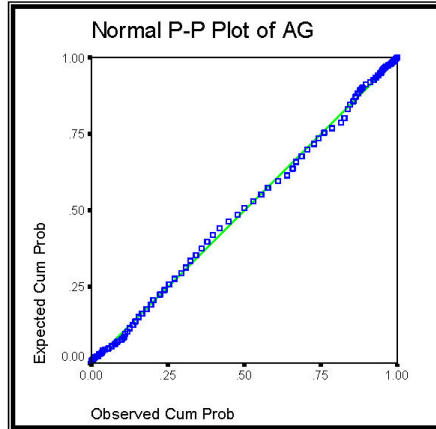
نمودار بطور دقیق روی خط ۴۵ درجه قرار میگیرد. در غیراینصورت مربعات کوچک قرار گرفته

در زیر و روی خط نرمال انحرافات نسبت به جامعه نرمال میباشد . از این نمودار میتوان جوامع

فرعی (منطبق با جدایش و شکستگی در نمودار) را تشخیص داد . همچنین این نمودار میزان

تقریبی نرمال بودن جامعه را نشان میدهد . لازم به ذکر است که جوامع فرعی را از روی

هیستوگرام نیز با کمی دقت میتوان مشخص کرد (نمودار ۲-۴) .



نمودار ۴-۲- تابع توزیع احتمالی داده‌های خام عنصر نقره

۱۱-۳- ضرایب همبستگی

در بررسی‌های تک متغیره روابط بین متغیرها در نظر گرفته نمی‌شود و عملیات پردازش روی متغیرها بدون در نظر گرفتن ارتباط بین آنها صورت می‌گیرد. در صورتیکه در مبحث زمین‌شناسی اقتصادی، روابط و همبستگی ژنتیکی مستقیم و معکوس بین عناصر در کانسارهای گوناگون وجود داشته و از اهمیت ویژه‌ای برخوردار است. در بررسی‌های دو متغیره همبستگی بین متغیرها با عددی بنام ضریب همبستگی (Correlation Coefficient) نشان داده می‌شود. ضریب همبستگی میتواند نشانگر ارتباط همسوی دو متغیره a و b و یا ارتباط غیرهمسوی آن دو باشد. در حالت اول همبستگی مستقیم و در حالت دوم همبستگی معکوس است.

ضرایب همبستگی دارای مقدار عددی بین -1 و $+1$ است که عدد 1 بیانگر همبستگی کامل مستقیم، صفر بیانگر عدم همبستگی و -1 بیانگر همبستگی کامل منفی است. در



پی جویی به روش اکتشاف ژئوشیمیایی ۱:۲۵۰۰۰ در محدوده اکتشافی حبشی - شریف آباد

وزارت
صنایع و معادن
سازمان زمین‌شناسی و
اکتشافات معدنی کشور

بررسی‌های دو متغیره از نمودارهای پراکنش نیز استفاده می‌شود. ضرایب همبستگی از درجهٔ

اعتبار و سطح معنی‌دار بودن (Significant Level) معینی برخوردار هستند. این اطلاعات همراه

با خود ضرایب همبستگی در یک جدول توسط نرم افزار محاسبه می‌شود. این درجهٔ اعتبار به

تعداد نمونه‌ها بستگی دارد، هرچه تعداد نمونه‌ها بیشتر باشد، ضرایب همبستگی از درجهٔ اعتبار

بیشتری برخوردار می‌باشند.

روشهای گوناگونی برای محاسبه ضرایب وجود دارد. روش محاسبه پیرسون که به نوع

تابع توزیع حساس است و روش‌های رتبه‌ای که چندان حساسیتی به تابع توزیع ندارند. از میان

روشهای گوناگون موجود برای محاسبه ضرایب همبستگی در این پروژه روش محاسبه ضرایب

رتبه‌ای اسپیرمن انتخاب شده که مستقل از تابع توزیع است.

در محدوده اکتشافی حبشی، ضرایب همبستگی بصورت جداگانه برای هر عنصر نسبت

به سایر عناصر و سطح اعتماد این ضرایب با استفاده از ۳۸۵ داده ژئوشیمیایی ثبت و درج شده

است (جدول ۵-۲).



پی جویی به روش اکتشاف ژئوشیمیایی ۱:۲۵۰۰۰ در محدوده اکتشافی
حبسی - شریف آباد



۱۱-۴- نرمال سازی داده‌های خام و بررسی پارامترهای آماری داده‌های نرمال

اکثر محاسبات و روش‌های آماری نیازمند داده‌های نرمال می‌باشد، چنانچه منحنی

توزیع یک مجموعه از داده‌ها مطابق با منحنی توزیع نرمال باشد آن منحنی را نرمال و آن

مجموعه داده‌ها را داده‌های نرمال گویند از خصوصیات یک توزیع نرمال می‌توان کشیدگی در

حد ۳، چولگی صفر، انطباق سه آماره میانگین و میانه و مد، شکل زنگی متقارن و... را نام

برد (در نرم افزار SPSS مقادیر محاسبه شده برای کشیدگی و چولگی لازم است با مقدار

عددی ۳ جمع شود).

جدول ۶-۲- پارامترهای آماری لگاریتم داده‌های خام در محدوده جبوشی

Element	N		Mean	Median	Mode	Std. Dev.	Variance	Skewness	Kurtosis	Minimum	Maximum
	Valid	Missing									
AU	۷۹۰	۰	۰,۸۶	۰,۷۹	۱,۰۰	۰,۰۲۰	۰,۰۳۶	۰,۵۱	-۰,۱۰	۰	۳
MN	۷۹۰	۰	۷,۹۶	۷,۹۶	۷,۹۷,۰۰	۰,۵۰	۰,۰۷	-۰,۳۴	۴,۸۳	۰,۶۹	۸,۵۵
BA	۷۹۰	۰	۰,۸۱	۰,۸۰	۰,۷۹	۰,۰۵	۰,۰۷	۰,۰۳	۴,۰۱	۶,۷۷	۷,۰۷
V	۷۹۰	۰	۴,۸۱	۴,۸۱	۴,۸۰,۰۰	۰,۵۷	۰,۰۷	۰,۵۹	۰,۰۵	۷,۳۳	۵,۹۶
CR	۷۹۰	۰	۴,۸۱	۴,۸۰	۰,۰۴	۰,۶۱	۰,۰۱۷	-۰,۵۱	۵,۳۹	۷,۰۰	۷,۴۰
SR	۷۹۰	۰	۴,۷۰	۴,۷۰	۴,۸۰	۰,۷۶	۰,۰۴۳	-۰,۰۷	۱۷,۰۳	۰,۰۰	۵,۹۷
NI	۷۹۰	۰	۴,۴۹	۴,۰۵	۴,۷۰	۰,۳۵	۰,۰۱۲	-۰,۱۷	۷,۰۷	۷,۱۴	۷,۱۵
ZN	۷۹۰	۰	۴,۴۴	۴,۴۰	۴,۷۰	۰,۶۹	۰,۰۸	۰,۰۱	۸,۴۱	۷,۷۹	۷,۱۱
LA	۷۹۰	۰	۳,۶۸	۳,۰۳	۳,۶۰	۰,۳۸	۰,۰۸	-۰,۴۱	۰,۷۴,۷۸	۰,۰۰	۴,۰۷
CU	۷۹۰	۰	۳,۵۱	۳,۴۸	۳,۱۲,۰۰	۰,۷۰	۰,۱۳	-۰,۱۳	۱,۴۷	۱,۸۱	۴,۳۹
CO	۷۹۰	۰	۳,۱۲	۳,۱۵	۳,۰۳	۰,۵۱	۰,۰۶	-۰,۴۸	۵,۷۴	۱,۹۹	۶,۰۰
AS	۷۹۰	۰	۲,۶۸	۲,۷۰	۲,۶۷	۰,۷۹	۰,۱۰	۰,۰۹	۰,۸۹	۱,۰۷	۶,۰۸
PB	۷۹۰	۰	۲,۷۸	۲,۷۰	۲,۶۷	۰,۸۷	۰,۰۷۰	-۰,۵۷	۵,۱۱	-۰,۹۳	۰,۰۰
SN	۷۹۰	۰	۰,۹۰	۰,۹۲	۰,۹۳	۰,۷۰	۰,۰۸	-۰,۲۲	۱,۰۰	-۰,۱۱	۱,۷۹
U	۷۹۰	۰	۰,۵۹	۰,۷۳	۰,۷۰	۰,۵۶	۰,۰۷	-۰,۹۰	۲,۷۸	-۰,۰۳	۱,۰۲
MO	۷۹۰	۰	۰,۵۰	۰,۶۱	۰,۱۸	۰,۳۶	۰,۰۹	-۰,۰۹	۰,۷۹	-۰,۹۵	۱,۳۴
W	۷۹۰	۰	۰,۵۴	۰,۶۷	-۰,۱۱	۰,۰۰	۰,۰۵۰	۰,۰۰۳	۰,۱۷	-۱,۶۱	۱,۷۷
SB	۷۹۰	۰	۰,۱۰	۰,۰۰	-۰,۵۰	۰,۶۴	۰,۱۹	۰,۰۷	۰,۷۲	-۰,۹۵	۱,۷۰
AG	۷۹۰	۰	-۰,۷۱	-۰,۷۳	-۰,۵۶	۰,۶۰	۰,۱۷	-۱,۰۱	۱,۴۰	-۲,۳۰	۰,۱۱
CD	۷۹۰	۰	-۰,۹۹	-۰,۹۲	-۱,۰۰	۰,۶۶	۰,۳۰	۰,۰۷	۶,۳۹	-۲,۳۰	۱,۴۱
BI	۷۹۰	۰	-۱,۰۳	-۱,۷۱	-۱,۷۱	۰,۶۷	۰,۵۱	۰,۷۸	۵,۶۸	-۲,۳۰	۰,۰۰
HG	۱۰۴	۲۶۱	-۳,۵۰	-۳,۵۰	-۳,۶۱	۰,۰۸	۰,۳۴	۳,۰۹	۱۰,۰۷	-۳,۰۰	۰,۰۰

در مرحله اول وضعیت داده‌ها از دیدگاه نرمال بودن مشخص می‌شود. در صورت

نرمال یا لاگ نرمال بودن تقریبی داده‌ها حتی المقدور بررسی‌ها به ترتیب بر روی همان

داده‌های خام یا لگاریتم داده‌ها انجام شده در غیراینصورت برای نرمال‌سازی می‌توان از تبدیل

لگاریتمی چند متغیره یا تبدیل کاکس و باکس (Cox & Box) استفاده نمود . برای نرمال‌سازی

باید شروط نزدیک کردن چولگی به صفر و کشیدگی به عدد ۳ فراهم شود ، با توجه به

پارامترهای آماری داده‌های نرمال شده که براساس تبدیل لگاریتمی در داده‌های خام انجام شده

است (جدول ۷-۲) نتیجه مطلوب حاصل نشد که در مرحله بعد با استفاده از جایگزینی

مقادیر خارج از رده بالا نتیجه به دست آمد (جدول ۷-۲) .

جدول ۷-۲- پارامترهای آماری لگاریتم داده‌ها با جایگزینی مقادیر خارج از رده در محدوده جبشی

Element	N	Mean	Median	Mode	Std. Dev.	Variance	Skewness	Kurtosis	Minimum	Maximum
AU	۱۴۰,۰۰	-۰,۶۱	-۰,۷۹	-۰,۷۹	-۰,۸۱	-۰,۶۳	-۰,۵۱۷	-۰,۱۰۴	-۰,۰۰	۰,۹۶
AS	۱۴۰,۰۰	۰,۷۸	۰,۷۹	۰,۷۹	-۰,۷۸	-۰,۵۰	-۰,۷۸۰	-۰,۶۹۷	۰,۰۷	۰,۷۵
CO	۱۴۰,۰۰	۰,۱۲	۰,۱۵	۰,۱۵	-۰,۵۴	-۰,۲۸	-۰,۱۱۵E+۰۵	-۰,۱۹۱	-۰,۱۸۰	۰,۷۹
CR	۱۴۰,۰۰	۰,۱۰	۰,۱۰	۰,۱۰	-۰,۷۹	-۰,۶۸	-۰,۰۸۸	۰,۱۵۱	۰,۰۷۶	۰,۰۸
CU	۱۴۰,۰۰	۰,۰۲	۰,۰۸	۰,۰۸	-۰,۷۷	-۰,۵۱	-۰,۳۵۰	-۰,۱۷۷	۰,۰۰	۰,۷۹
MN	۱۴۰,۰۰	۰,۷۲	۰,۷۴	۰,۷۴	-۰,۷۰	-۰,۴۰	***	-۰,۷۶	۰,۷۲	۰,۷۱
NI	۱۴۰,۰۰	۰,۶۹	۰,۶۹	۰,۶۹	-۰,۷۰	-۰,۴۹	-۰,۱۶۰	-۰,۶۰۷	۰,۰۷۶	۰,۷۴
ZN	۱۴۰,۰۰	۰,۱۱	۰,۱۰	۰,۱۰	-۰,۷۴	-۰,۴۸	-۰,۱۵	-۰,۰۷	۰,۰۷	۰,۷۸
BA	۱۴۰,۰۰	۰,۰۰	۰,۰۰	۰,۰۰	-۰,۷۱	-۰,۵۱	-۰,۰۸	-۰,۷۴۵	-۰,۰۷۹	۰,۰۰
LI	۱۴۰,۰۰	۰,۰۸	۰,۰۸	۰,۰۸	-۰,۷۱	-۰,۴۷	-۰,۰۷۷	-۰,۶۰۷	۰,۰۰	۰,۷۱
LA	۱۴۰,۰۰	۰,۰۹	۰,۰۹	۰,۰۹	-۰,۷۴	-۰,۴۸	-۰,۰۵۰	-۰,۱۷۰	۰,۰۰	۰,۷۱
P	۱۴۰,۰۰	۰,۰۰	۰,۰۰	۰,۰۰	-۰,۷۷	-۰,۴۰	-۰,۱۰۰	-۰,۷۹	-۰,۰۰	۰,۷۱
V	۱۴۰,۰۰	۰,۰۰	۰,۰۰	۰,۰۰	-۰,۷۷	-۰,۴۱	-۰,۱۰۵	-۰,۷۹۰	-۰,۰۰	۰,۷۱
CE	۱۴۰,۰۰	۰,۱۰	۰,۱۰	۰,۱۰	-۰,۷۷	-۰,۴۰	-۰,۱۷۹	-۰,۱۰۰	۰,۰۰	۰,۷۱
CS	۱۴۰,۰۰	۱,۴۹	۱,۴۹	۱,۴۹	-۰,۷۱	-۰,۱۷	-۰,۱۰	-۰,۰۷۱	۰,۰۰	۰,۷۱
SR	۱۴۰,۰۰	۰,۷۶	۰,۷۶	۰,۷۶	-۰,۷۱	-۰,۱۰	-۰,۰۰۰	-۰,۱۷۵	۰,۰۰	۰,۷۱
ZR	۱۴۰,۰۰	۰,۱۷	۰,۱۷	۰,۱۷	-۰,۷۷	-۰,۱۰	-۰,۱۰۰	-۰,۱۰۲	۰,۰۰	۰,۷۱
HG	۱۴۰,۰۰	-۰,۴۰	-۰,۴۰	-۰,۴۰	-۰,۷۰	-۰,۴۰	-۰,۰۸۱	-۰,۱۷۰	-۰,۰۰	۰,۰۰
AG	۱۴۰,۰۰	-۰,۰۰	-۰,۰۰	-۰,۰۰	-۰,۷۰	-۰,۰۰	-۰,۰۹۵	-۰,۰۷۹	-۰,۱۶۰	-۰,۰۰۰
BI	۱۴۰,۰۰	-۱,۰۰	-۱,۰۰	-۱,۰۰	-۰,۷۱	-۰,۰۰	-۰,۱۶	-۰,۰۰۰	-۰,۰۰۰	-۰,۰۰۰
MO	۱۴۰,۰۰	-۰,۵۰	-۰,۵۱	-۰,۵۱	-۰,۷۱	-۰,۱۰	-۰,۰۰۰	-۰,۰۰۰	-۰,۰۰۰	-۰,۰۰۰
PB	۱۴۰,۰۰	۰,۷۷	۰,۷۷	۰,۷۷	-۰,۷۱	-۰,۱۰	-۰,۰۰۰	-۰,۰۰۰	-۰,۰۰۰	-۰,۰۰۰
SB	۱۴۰,۰۰	-۰,۱۰	-۰,۱۰	-۰,۱۰	-۰,۷۰	-۰,۱۰	-۰,۰۰۰	-۰,۰۰۰	-۰,۰۰۰	-۰,۰۰۰
SN	۱۴۰,۰۰	-۰,۰۰	-۰,۰۰	-۰,۰۰	-۰,۷۰	-۰,۱۰	-۰,۰۰۰	-۰,۰۰۰	-۰,۰۰۰	-۰,۰۰۰
W	۱۴۰,۰۰	-۰,۰۰	-۰,۰۰	-۰,۰۰	-۰,۷۰	-۰,۰۰	-۰,۰۰۰	-۰,۰۰۰	-۰,۰۰۰	-۰,۰۰۰
U	۱۴۰,۰۰	-۰,۰۰	-۰,۰۰	-۰,۰۰	-۰,۷۰	-۰,۰۰	-۰,۰۰۰	-۰,۰۰۰	-۰,۰۰۰	-۰,۰۰۰
TE	۱۴۰,۰۰	-۰,۰۰	-۰,۰۰	-۰,۰۰	-۰,۷۰	-۰,۰۰	-۰,۰۰۰	-۰,۰۰۰	-۰,۰۰۰	-۰,۰۰۰
CD	۱۴۰,۰۰	-۰,۰۰	-۰,۰۰	-۰,۰۰	-۰,۷۰	-۰,۰۰	-۰,۰۰۰	-۰,۰۰۰	-۰,۰۰۰	-۰,۰۰۰

۱۲-۲- بررسی آماری چند متغیره

تکنیک‌های آماری چند متغیره بطور همزمان اندازه‌گیری‌های متعددی را در هر مشاهده

مورد تجزیه و تحلیل قرار میدهند و به معنی گستردۀ آن دربرگیرنده بسیاری از روش‌های استنباط

آماری معمول است. هر تجزیه و تحلیل همزمان بیش از دو متغیر می‌تواند آنالیز چند متغیره تلقی

شود. تجزیه عاملی (Analysis Factor) یکی از مهمترین روش‌های آمار چند متغیره است که از

میان یک سری از متغیرها، متغیرهای کنترل کننده اصلی را شناسایی می‌کند و از طرف دیگر آنالیز

ممیز (Discriminate Analysis) که گروه‌ها را برابر مبنای یک سری متغیرها از هم‌دیگر تفکیک

می‌نماید. هر گروه معینی از عناصر نسبت به یک سری از شرایط محیطی، کم و بیش و بطور

مشابه حساسیت نشان میدهند. شناخت ارتباط و همبستگی ژنتیکی متقابل موجود میان عناصر

گوناگون می‌تواند در شناخت دقیق‌تر تغییرات موجود در محیط‌های ژئوشیمیایی بکار گرفته شود.

در ضمن تجمع ژنتیکی بعضی از عناصر ممکن است به عنوان راهنمای مستقیمی در تفسیر نوع

نهشته‌ای که با احتمال در ناحیه وجود دارد، بکار رود و بر عکس تجمع بعضی از عناصر نیز

ممکن است دلالت بر وجود آنومالی‌هایی داشته باشد که بی‌اهمیت و گمراه کننده‌اند. روی هم رفته

شناخت بستگی‌های ژنتیکی که در میان عناصر وجود دارد اطلاعات لازم را در راستای تفسیر

هرچه صحیح‌تر داده‌های ژئوشیمیایی در اختیار می‌گذارد. در این میان آمار چند متغیره می‌تواند

پاسخگوی مسائل بالا باشد. تجربه نشان داده است که اگر ترکیبی از مقادیر یک گروه از عناصر

معروف به جای مقدار یک عنصر خاصی بکار گرفته شود. هاله‌های ژئوشیمیایی در پیرامون

توده‌های کانساری بهتر مشخص می‌شوند. افزون بر این اثرات خطاهای تصادفی در آنها به

حداقل میرسد. بطور کلی دو ویژگی عمدی در بررسی‌های آماری چند متغیره وجود دارد:

۱- هاله‌هایی که از روش‌های آماری چند متغیره و براساس ارتباط میان عناصر بدست

می‌آید رابطه نزدیکتری را با ویژگی‌های ساختمانی، زمین‌شناسی و ماهیت ژنتیکی نهشته‌های کانساری نشان می‌دهند.

۲- هاله‌های مرکب می‌تواند خطاهای تصادفی، تعداد داده‌ها و تعداد نقشه‌ها را کاهش

داده و به نتایج کارآمدتری منتج شود. در این بخش برای بیان ارتباط ژنتیکی میان عناصر از تجزیه و تحلیل خوش‌های و تجزیه عاملی استفاده شده است.

۱۲-۱- تجزیه و تحلیل خوش‌های داده‌ها (Cluster Analysis)

در تجزیه و تحلیل و تفسیر نمودار خوش‌های داده‌ها گروه و یا زیرگروه متعلق به یک تیپ کانی‌سازی یا یک گروه سنگی با توجه به همبودهای ژئوشیمیایی عناصر قابل تفکیک است که میتواند متأثر از عوامل زمین‌شناسی و سنگ‌شناسی خاص است. بنابراین هر گروه یا زیرگروه را بایستی با همدیگر تعبیر و تفسیر نمود. البته در مواردی ممکن است به خاطر خطای آنالیز

نمونه‌ها، روش انتخابی آنالیز خوش‌های و عوامل دیگر، ساختار درختی هیچگونه رابطه خاصی را بین عناصر نشان ندهد. در ساختار درختی داده‌ها، دو گروه اصلی A و B مشاهده می‌شود (نمودار ۲-۵):

* گروه A شامل زیرگروه‌های مختلفی است به طوری که:

- عناصر La,Ce,Sn,U,Zr با ارتباط خیلی خوبی نسبت به هم در این زیرگروه قرار

گرفته اند که میتواند متاثر از لیتولوژی (واحدهای اسیدی) منطقه باشد و احتمالاً از تمرکز عناصر

نادر در منطقه حکایت میکند که در بررسی ناهنجاری‌ها بیشتر مورد توجه واقع خواهد شد.

- عناصر Mo,W با ارتباط خوبی نسبت به هم در یکی دیگر از زیرگروه‌ها قرار گرفته‌اند

که میتواند متاثر از لیتولوژی منطقه (واحدهای مافیک) باشد.

- عناصر Ba,Sb,Pb,As,Cs,Ag با ارتباط خوبی نسبت به هم در یکی دیگر از زیرگروه‌ها

قرار گرفته‌اند که عناصر شاخص کانسارهای پلی‌متال و تیپ رگه‌ای بوده و بسیار با اهمیت تلقی

میشود.

- عناصر Zn, Cd با ارتباط ضعیفی نسبت به Li در یکی دیگر از این زیرگروه‌ها قرار

گرفته که همانند زیرگروه قبلی میتواند متاثر از کانی‌زایی احتمالی پلی‌متال یا تیپ رگه‌ای در

منطقه باشد.

- عناصر Bi, Hg با ارتباط ضعیفی نسبت به هم در این زیرگروه قرار گرفته‌اند که

نشانده‌نده احتمالی تمرکز ضعیف این عناصر در کانسارهای پلی‌متال یا تیپ رگه‌ای موجود در

منطقه باشد.

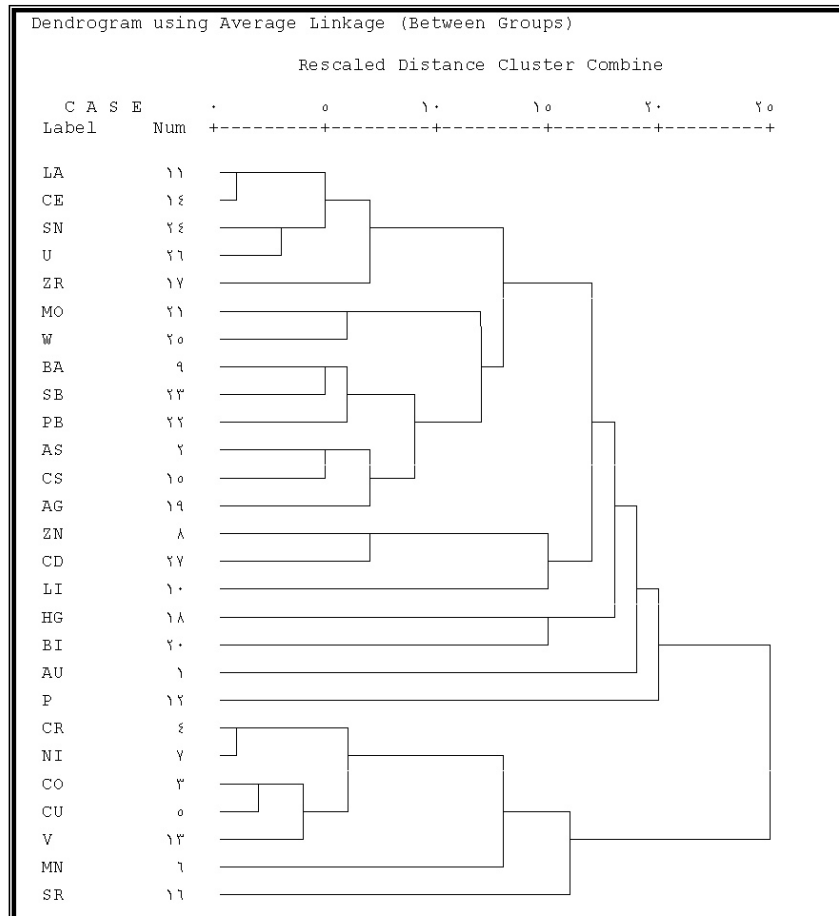
* گروه B شامل عناصر Cr, Ni, Co, Cu, V, Mn, Sr میباشد و به عناصری مربوط است

که در سنگ‌های مافیک تا اولترامافیک تمرکز میابند و فاقد هرگونه ارزش اکتشافی میتواند باشد.

مس، آنتیموان، نقره، طلا و آرسنیک، بصورت هاله‌های ژئوشیمیایی در بسیاری از

کانسارها بویژه کانسارهای تیپ پلی‌متال با خاستگاه اپی‌ترمال با دمای حرارت متوسط تا پایین

یافت می‌شود. پیکرهای نفوذی گرانودیوریتی یا داسیتی باعث ایجاد رگه‌هایی با ترکیب عناصر فوق شده‌اند. ترکیب عناصر گروه A در زیرگروهی که شامل Zn, Pb, Cd, Mn می‌باشد، احتمال کانسارهای پلی‌متال و تیپ رگه‌ای را در ناحیه اکتشافی بازگو مینماید. با توجه به اثرات و نشانه‌های برجای کانی‌زایی در محدوده اکتشافی حبشی، تجزیه و تحلیل آنالیز خوش‌های داده‌ها بنظر بسیار پیچیده می‌باشد.



نمودار ۵-۲ - نمودار درختی داده‌های محدوده حبشی

(Factor Analysis) ۱۲-۲ - تجزیه عاملی

تجزیه عاملی تکنیکی آماری است که بین مجموعه‌ای فراوان از متغیرهایی که به ظاهر بی ارتباط هستند، رابطه خاصی را تحت یک مدل فرضی برقرار می‌کند. بنابراین یکی از اهداف اصلی تکنیک تجزیه عاملی، کاهش ابعاد داده‌ها است. فرض اساسی در بکارگیری این روش، وجود الگوی زیربنایی یا مدلی خاص در تعیین مفاهیم پیچیده ارتباطی بین متغیرها است. این ارتباط در قالب یک عامل در این مدل فرضی ظاهر می‌شود. در این مرحله از داده‌پردازی پس از نرمال‌سازی داده‌ها، فایل داده‌ها به نرم‌افزار SPSS منتقل و تکنیک تجزیه عاملی بر روی داده‌های نرمال اجرا و نتایج آن در ذیل آورده شده است:

الف- برای مشخص نمودن صحت و تایید تجزیه عاملی، ضریب Kmo همراه با آزمون مربع کای (خی) محاسبه گردیده است. مقادیر بزرگ Kmo دلالت بر تایید تجزیه عاملی و مقادیر کوچک آن دلالت بر عدم تایید تجزیه عاملی دارد. مقادیر حدود ۰/۹ این کمیت تجزیه عاملی را بسیار مناسب، مقادیر حدود ۰/۸ تجزیه عاملی را مناسب، مقادیر حدود ۰/۷ تجزیه عاملی را در حد مناسب، مقادیر حدود ۰/۶ تجزیه عاملی را حد متوسط و مقادیر حدود ۰/۵ و پایین‌تر از آن تجزیه عاملی را نامناسب جلوه می‌دهد. تمامی این مقادیر در صورتیکه آزمون مربع کای (خی) در سطح اعتماد ۹۵ درصد معتبر باشد، صحیح تلقی می‌گردند. با توجه به جدول ۲-۸ مقادیر محاسبه شده، مقدار Kmo برابر ۰/۸۳ می‌باشد که تجزیه عاملی را در رده مناسب قرار می‌دهد.

جدول ۸-۲- محاسبه ضرایب Kmo در محدوده جبشی

KMO and Bartlett's Test		
Kaiser-Meyer-Olkin Measure of Sampling Adequacy.		.۸۳
Bartlett's Test of Sphericity		Approx. Chi-Square
		۷۴۲۶.۰۷۸
		df
		۳۵۱
		Sig.
		.

ب) مقادیر ویژه ، درصد واریانس و درصد تجمعی واریانس هر مولفه بطور جداگانه

محاسبه و باعث شده است که شش مولفه انتخاب شود که انتخاب مولفه‌ها به دو پارامتر

بسنگی دارد:

پارامتر اول: بررسیهای انجام شده در زمینه اکتشافات ژئوشیمیایی این نتیجه حاصل

شده است که درصد تجمعی واریانس بالای ۷۵ درصد از یک جامعه ژئوشیمیایی می‌تواند

معرف تقریبی جامعه باشد . حال با در نظر گرفتن شش مولفه به تقریب ۶۸/۶۷۳ درصد

واریانس تجمعی جامعه پوشش داده می‌شود که برای تجزیه و تحلیل مولفه‌ها تا حدودی

مناسب به نظر می‌رسد.

پارامتر دوم: در بررسیهای آماری از نمودار صخره‌ای(Scree plot) استفاده می‌شود که

مقادیر ویژه بالای دومین شکست معابر(مقادیر ویژه بالای یک) برای انتخاب مولفه‌ها مورد

استفاده قرار می‌گیرد(نمودار ۶-۲)، حال با توجه به جدول ۹-۲ مقادیر ویژه خام مولفه اول

مولفه دوم ۳/۵۲۳ ، مولفه سوم ۲/۷۶۹ ، مولفه چهارم ۱/۹۳۴ ، مولفه پنجم ۱/۳۹۱ و ۷/۷۷۵

مولفه ششم ۱/۱۴۹ است از طرفی مقادیر ویژه چرخش یافته مولفه اول ۴/۸۸۵ ، مولفه دوم

۱/۶۹۱ ، مولفه سوم ۳/۹۸۵ ، مولفه چهارم ۲/۱۳۱ ، مولفه پنجم ۱/۹۷۹ و مولفه ششم

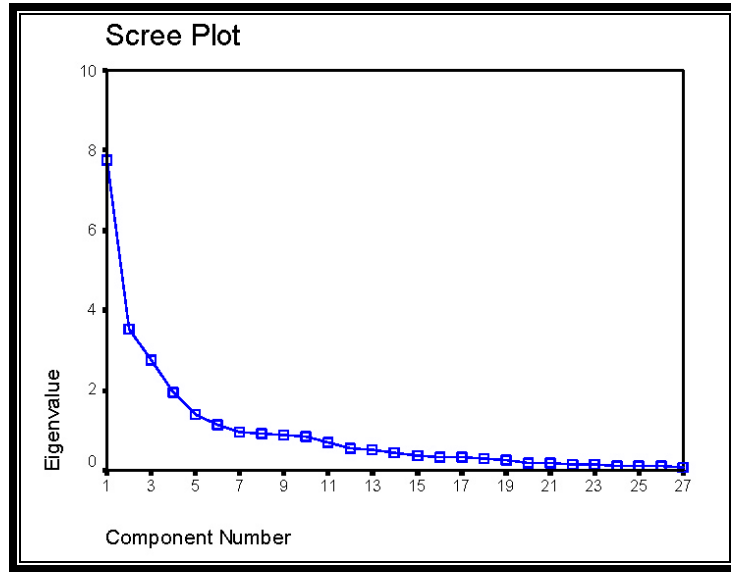
است که با توجه به موارد فوق انتخاب شش مولفه، تا حدودی منطقی به نظر می‌رسد.

(ج) پس از اینکه مولفه‌ها انتخاب شدند باید در نظر داشت که مولفه‌های خام (غیرچرخشی) نمی‌توانند تمامی تغییرپذیری واقعی جامعه را نشان دهد چون در بسیاری از موارد تعدادی از متغیرها به یک عامل ویژه یا حتی به تعدادی از عاملها بستگی دارند و این تعبیر عوامل را با مشکل روبرو خواهد کرد . از این رو روش‌هایی بوجود آمده است که بدون تغییر میزان اشتراک، باعث تعبیر ساده عوامل می‌شوند، این روش‌ها همان دوران عامل‌ها هستند بنابراین مولفه‌های خام بایستی تحت تابع مشخص چرخش داده شوند تا بهترین واریانس جامعه عمومی بدست آید . در بررسی‌های ژئوشیمیایی بیشتر از تابع وریمکس استفاده می‌شود . با انتخاب تابع وریمکس ، دورانی متعامد بر روی ضرایب عاملها صورت می‌گیرد. با این دوران تغییرات مربعات عناصر ستونی، برآورد ضرایب عاملها را به حداقل می‌رساند، این روش مقادیر نسبتاً بزرگ (از نظر قدر مطلق) یا صفر به ستونهای ماتریس ضرایب عاملها اختصاص میدهد، در نتیجه عواملی ایجاد می‌شود که یا شدیداً با متغیرها وابسته‌اند و یا مستقل از آنها هستند. این امر سبب ساده‌تر شدن تعبیر عاملها خواهد شد. مولفه‌های چرخش یافته جدیدی که بدین ترتیب بدست می‌آیند(جدول ۱۰-۲)، مولفه‌های اصلی برای محاسبه امتیازات (Score) هستند(جدول ۱۱-۲) با توجه به این ضرائب به تقریب روابط بین فاکتورها و عناصر را می‌توان محاسبه نمود .

جدول ۲-۹- واریانس کل و ضرایب تجمعی مؤلفه‌ها در محدوده جبوشی

Component	Initial Eigenvalues			Extraction Sums of Squared Loadings			Rotation Sums of Squared Loadings		
	Total	% of Variance	Cumulative %	Total	% of Variance	Cumulative %	Total	% of Variance	Cumulative %
۱	۷۸,۷۷۵	۷۸,۷۴۴	۷۸,۷۴۴	۷۸,۷۷۵	۷۸,۷۴۴	۷۸,۷۴۴	۶۷,۷۸۵	۶۷,۷۴۱	۶۷,۷۴۱
۲	۱۷,۰۳۵	۱۷,۰۴۴	۹۵,۷۸۳	۱۷,۰۳۵	۱۷,۰۴۴	۹۵,۷۸۳	۶,۰۷۱	۶,۰۸۴	۹۵,۷۸۳
۳	۵,۷۱۹	۵,۷۰۰	۹۱,۴۸۳	۵,۷۱۹	۵,۷۰۰	۹۱,۴۸۳	۳,۹۰۰	۳,۹۰۰	۹۱,۴۸۳
۴	۱,۷۹۴	۱,۷۹۳	۹۳,۷۷۶	۱,۷۹۴	۱,۷۹۳	۹۳,۷۷۶	۲,۱۷۳	۲,۱۷۳	۹۳,۷۷۶
۵	۱,۷۸۱	۱,۷۸۱	۹۵,۶۵۹	۱,۷۸۱	۱,۷۸۱	۹۵,۶۵۹	۱,۷۸۱	۱,۷۸۱	۹۵,۶۵۹
۶	۱,۱۸۹	۱,۱۸۹	۹۶,۷۴۸	۱,۱۸۹	۱,۱۸۹	۹۶,۷۴۸	۱,۱۸۹	۱,۱۸۹	۹۶,۷۴۸
۷	۰,۹۱۱	۰,۹۰۹	۹۶,۷۴۷	۰,۹۱۱	۰,۹۰۹	۹۶,۷۴۷	۰,۹۱۱	۰,۹۰۹	۹۶,۷۴۷
۸	۰,۹۱۷	۰,۹۱۷	۹۶,۷۴۷	۰,۹۱۷	۰,۹۱۷	۹۶,۷۴۷	۰,۹۱۷	۰,۹۱۷	۹۶,۷۴۷
۹	۰,۸۱۹	۰,۸۱۹	۹۶,۷۴۷	۰,۸۱۹	۰,۸۱۹	۹۶,۷۴۷	۰,۸۱۹	۰,۸۱۹	۹۶,۷۴۷
۱۰	۰,۸۱۵	۰,۸۱۵	۹۶,۷۴۷	۰,۸۱۵	۰,۸۱۵	۹۶,۷۴۷	۰,۸۱۵	۰,۸۱۵	۹۶,۷۴۷
۱۱	۰,۷۰۰	۰,۷۰۰	۹۶,۷۴۷	۰,۷۰۰	۰,۷۰۰	۹۶,۷۴۷	۰,۷۰۰	۰,۷۰۰	۹۶,۷۴۷
۱۲	۰,۶۱۵	۰,۶۱۵	۹۶,۷۴۷	۰,۶۱۵	۰,۶۱۵	۹۶,۷۴۷	۰,۶۱۵	۰,۶۱۵	۹۶,۷۴۷
۱۳	۰,۵۱۵	۰,۵۱۵	۹۶,۷۴۷	۰,۵۱۵	۰,۵۱۵	۹۶,۷۴۷	۰,۵۱۵	۰,۵۱۵	۹۶,۷۴۷
۱۴	۰,۴۱۷	۰,۴۱۷	۹۶,۷۴۷	۰,۴۱۷	۰,۴۱۷	۹۶,۷۴۷	۰,۴۱۷	۰,۴۱۷	۹۶,۷۴۷
۱۵	۰,۴۱۷	۰,۴۱۷	۹۶,۷۴۷	۰,۴۱۷	۰,۴۱۷	۹۶,۷۴۷	۰,۴۱۷	۰,۴۱۷	۹۶,۷۴۷
۱۶	۰,۴۱۷	۰,۴۱۷	۹۶,۷۴۷	۰,۴۱۷	۰,۴۱۷	۹۶,۷۴۷	۰,۴۱۷	۰,۴۱۷	۹۶,۷۴۷
۱۷	۰,۴۱۷	۰,۴۱۷	۹۶,۷۴۷	۰,۴۱۷	۰,۴۱۷	۹۶,۷۴۷	۰,۴۱۷	۰,۴۱۷	۹۶,۷۴۷
۱۸	۰,۴۱۷	۰,۴۱۷	۹۶,۷۴۷	۰,۴۱۷	۰,۴۱۷	۹۶,۷۴۷	۰,۴۱۷	۰,۴۱۷	۹۶,۷۴۷
۱۹	۰,۴۱۷	۰,۴۱۷	۹۶,۷۴۷	۰,۴۱۷	۰,۴۱۷	۹۶,۷۴۷	۰,۴۱۷	۰,۴۱۷	۹۶,۷۴۷
۲۰	۰,۴۱۷	۰,۴۱۷	۹۶,۷۴۷	۰,۴۱۷	۰,۴۱۷	۹۶,۷۴۷	۰,۴۱۷	۰,۴۱۷	۹۶,۷۴۷
۲۱	۰,۴۱۷	۰,۴۱۷	۹۶,۷۴۷	۰,۴۱۷	۰,۴۱۷	۹۶,۷۴۷	۰,۴۱۷	۰,۴۱۷	۹۶,۷۴۷
۲۲	۰,۴۱۷	۰,۴۱۷	۹۶,۷۴۷	۰,۴۱۷	۰,۴۱۷	۹۶,۷۴۷	۰,۴۱۷	۰,۴۱۷	۹۶,۷۴۷
۲۳	۰,۴۱۷	۰,۴۱۷	۹۶,۷۴۷	۰,۴۱۷	۰,۴۱۷	۹۶,۷۴۷	۰,۴۱۷	۰,۴۱۷	۹۶,۷۴۷
۲۴	۰,۴۱۷	۰,۴۱۷	۹۶,۷۴۷	۰,۴۱۷	۰,۴۱۷	۹۶,۷۴۷	۰,۴۱۷	۰,۴۱۷	۹۶,۷۴۷
۲۵	۰,۴۱۷	۰,۴۱۷	۹۶,۷۴۷	۰,۴۱۷	۰,۴۱۷	۹۶,۷۴۷	۰,۴۱۷	۰,۴۱۷	۹۶,۷۴۷
۲۶	۰,۴۱۷	۰,۴۱۷	۹۶,۷۴۷	۰,۴۱۷	۰,۴۱۷	۹۶,۷۴۷	۰,۴۱۷	۰,۴۱۷	۹۶,۷۴۷
۲۷	۰,۴۱۷	۰,۴۱۷	۹۶,۷۴۷	۰,۴۱۷	۰,۴۱۷	۹۶,۷۴۷	۰,۴۱۷	۰,۴۱۷	۹۶,۷۴۷

Extraction Method: Principal Component Analysis.



نمودار ۲-۶- نمودار صخره‌ای برای تعیین بهینه تعداد عاملها

جدول ۱۰-۲ - ماتریس مولفه‌ها در حالت چرخش یافته و چرخش نیافته در محدوده حبشی

Component	Component Matrix(a)						Rotated Component Matrix(a)					
	۱	۲	۳	۴	۵	۶	۱	۲	۳	۴	۵	۶
AU	+.1V	.+0T	-+.+9	.+2I	.+0Y	.+7V	-+.+0V	.+0T	-+.1A	.+2E	.+2T	.+1I
AS	.+VV	.+TT	-+.+A	.+1A	.+1T	.+T	.+0T	.+0T	.+1A	.+EE	.+1V	.+0D
CO	-.+1I	.+0F	.+8I	.+1+	.+1A	.+1I	-.+1I	-.+8I	.+1A	-.+1I	.+1A	-.+1I
CR	-.+0E	.+19	.+0+	.+0T	.+0+	.+1I	-.+0E	-.+0T	.+0+	.+0+	.+18	-.+0T
CU	-.+10	.+0T	.+0+	.+1I	.+0+	.+1V	-.+10	.+0+	.+1I	.+0+	.+0E	.+13
MN	-.+9I	.+5T	.+8I	.+5T	.+5T	.+0E	-.+9I	.+5T	.+5T	-.+0I	.+09	.+AT
NI	-.+TV	.+7T	.+7T	.+9I	.+0V	-.+9I	-.+0I	.+7I	.+0I	.+0I	.+0I	.+0I
ZN	+.+V	.+V1	.+0+	.+17	.+0+	.+0+	+.+V	.+V1	.+0+	.+0+	.+0+	.+0+
BA	+.+0T	.+7T	-.+7+	.+5E	-.+A	.+8T	+.+0T	.+7T	-.+7+	.+5T	.+0+	.+1E
LI	+.+10	.+0I	-.+19	.+0V	.+00	.+1I	-.+10	.+0I	-.+19	.+0V	.+0+	.+11
LA	+.+08	-.+0	.+1T	.+1E	-.+A	.+0+	+.+08	-.+0	.+1+	.+0V	.+0V	.+0V
P	+.+11	.+V	.+T	.+TA	-.+1V	.+T	+.+11	.+V	.+T	.+1V	.+T	.+T
V	-.+V8	.+T	.+1T	.+1I	.+1+	.+1+	-.+V8	.+T	.+1T	.+1I	.+1+	.+1+
CE	+.+0+	.+0+	.+0V	.+19	.+0+	.+0+	+.+0+	.+0+	.+0+	.+0+	.+0+	.+0+
CS	+.+V+	.+1T	-.+1+	.+0+	.+0+	.+1T	+.+V+	.+1T	-.+1+	.+0+	.+0+	.+0+
SR	-.+T0	-.+15	.+0+	.+5I	.+5T	.+1+	-.+T0	-.+15	.+0+	.+5I	.+5T	.+1+
ZR	+.+15	-.+15	.+6I	-.+1I	-.+A	-.+11	-.+15	-.+15	.+1I	-.+1I	-.+15	-.+15
HG	+.+1I	-.+1A	.+5T	-.+1T	.+1T	-.+1	-.+1I	-.+1A	-.+1T	-.+1T	-.+1	-.+1
AG	+.+VV	-.+10	.+V	.+1+	.+1+	.+1+	-.+VV	-.+10	.+V	-.+10	.+V	-.+10
BI	+.+1A	-.+1T	-.+1+	.+0A	-.+0+	.+1E	-.+1A	-.+1T	-.+1+	.+0A	-.+0+	.+1E
MO	+.+0T	.+1I	.+0+	.+17	-.+1I	-.+1+	+.+0T	.+1I	.+0+	.+17	-.+1I	-.+1+
PB	+.+00	.+0T	-.+1E	.+1I	-.+1E	.+1V	-.+00	.+0T	-.+1E	.+1V	-.+1E	-.+1V
SB	+.+10	.+5T	-.+50	.+5I	-.+V	.+5I	-.+10	.+5T	-.+50	.+5I	-.+50	-.+50
SN	+.+1A	-.+17	.+0I	.+10	.+1V	-.+1I	-.+1A	-.+17	.+0I	.+10	.+1V	-.+1I
W	+.+1T	-.+1T	-.+1+	.+1+	.+1E	.+1E	-.+1T	-.+1T	-.+1+	.+1+	.+1E	-.+1T
U	+.+AA	-.+0E	.+0+	.+A	.+1V	-.+1+	+.+AA	-.+0E	.+0+	.+1V	-.+1+	-.+0E
CD	+.+1I	.+1+	.+0++	-.+1T	-.+1A	.+1+	-.+1I	.+1+	-.+1T	-.+1A	-.+1+	-.+1+

Extraction Method: Principal Component Analysis.
a 7 components extracted.

Extraction Method: Principal Component Analysis.
Rotation Method: Varimax with Kaiser Normalization.
a Rotation converged in 1V iterations.

جدول ۱۱-۲ - امتیاز ویژه ماتریس مولفه‌ها در محدوده حبشی

Component	Component Score Coefficient Matrix					
	۱	۲	۳	۴	۵	۶
AU	-.+1I	-.+10	-.+1A	.+1A	.+19I	.+190
AS	+.+ET	.+0+	+.+1	.+179	.+1VA	.+187
CO	+.+0T	-.+01	+.+1T	.+1A	.+1VV	.+199
CR	+.+1I	-.+07	+.+17	.+170	-.+107	.+108
CU	-.+15	.+1V	.+1+	.+17	.+10A	.+10Y
MN	+.+1I	.+07	-.+1T	.+111	-.+1T8	.+187
NI	+.+19	-.+10	.+1A	-.+11	-.+118	-.+1A9
ZN	-.+1T	.+1TV	.+1A	.+1ET	-.+197	.+179
BA	-.+17	.+1A	-.+1V	.+1A	.+11V	.+175
LI	-.+17	-.+15	.+1EA	.+1EA	-.+111	-.+13
LA	-.+15	-.+05	-.+1T	-.+19	-.+14	-.+17
P	+.+9T	+.+91	-.+171	.+1VA	-.+119	.+108
V	-.+1A	-.+12	-.+1T	.+1VY	-.+115	-.+1V7
CE	+.+5A	-.+17	-.+1V	.+1VV	-.+116	.+178
CS	-.+10	-.+1T	-.+107	.+1TT	-.+108	.+1ET
SR	+.1	-.+1A	-.+18	-.+1EV	-.+107	-.+119
ZR	+.+17	-.+17	-.+1V	-.+19	-.+177	-.+199
HG	+.+10	-.+08	-.+18	-.+19	-.+178	-.+173
AG	+.17	-.+11	-.+1V	-.+1A	-.+17	-.+1V
BI	-.+10	-.+09	-.+19	+	-.+17V	-.+173
MO	+.+18	-.+78	-.+19	-.+10A	-.+17	-.+1A3
PB	-.+1A7	-.+1A7	-.+1T	-.+17	-.+185	+.1
SB	-.+1VA	-.+1V2	-.+1V1	-.+1V0	-.+1V	-.+1V3
SN	-.+17	-.+1A	-.+1A	-.+1A1	-.+11	-.+11
W	-.+1T	-.+1V	-.+1+	-.+1V5	-.+11T	-.+1V7
U	-.+1V	-.+1V	-.+1A	-.+1TT	-.+1V8	-.+1V2
CD	-.+1T	-.+17	-.+1V	-.+1AT	-.+178	-.+187

Extraction Method: Principal Component Analysis.
Rotation Method: Varimax with Kaiser Normalization.
Component Scores.

با استفاده از جدول عاملی مقادیر چرخش یافته، مقدار ضریب چرخش یافته

۵/۰+ اساس انتخاب هر متغیر در هر عامل است. لازم به ذکر است که اعداد مثبت رابطه

معکوس با اعداد منفی خواهند داشت. با توجه به مطالب فوق، شش عامل برگزیده شامل

عناصر ذیل است (جدول ۲-۱۰).

عامل شماره یک: این عامل شامل متغیرهایی U, Sn, Mo, Ag, Zr, Ce, P, La میباشد که

با توجه به متغیرهای بدهست آمده ارتباط این عناصر کاملاً معنی‌دار می‌باشند.

عامل شماره دو: این عامل شامل روابط مثبت بین عناصر Pb, Cs, Ba, Zn, As

Cd, Sb, و روابط منفی با Sr می‌باشد.

عامل شماره سه: این عامل شامل روابط مثبت از عناصر V, Ni, Cu, Cr, Co می‌باشد.

عامل شماره چهار: این عامل شامل عناصر Au, Li, Cs, Au می‌باشد.

عامل شماره پنج: این عامل شامل عنصر Bi, Hg, Sr و روابط منفی با Mo است.

عامل شماره شش: این عامل شامل عناصر P, Mn است.

بوسیله این شش عامل به عنوان کنترل‌کننده‌های اصلی تا حدودی می‌توان فرایندهای

زمین‌شناسی و سنگ‌شناسی و تیپ‌های احتمالی کانی‌سازی در منطقه را شناسایی کرد. این

کار با رسم نقشه‌های فاکتوری (نقشه‌های ۲۰ الی ۲۵) و مقایسه آنها با نقشه‌های زمین‌شناسی و

نقشه‌های تک عنصری و استفاده از مشاهدات صحرایی انجام‌پذیر است. البته در اینجا با

انتخاب تعداد کمتری از متغیرها، با هدف معرفی ناهنجاری‌های احتمالی مرکب از عناصر،

تحلیل عاملی انجام شده است. که در این حالت با ظاهر شدن تعداد کمتری از عناصر در عامل‌ها و احتمالاً کاهش تعداد عامل‌ها، تعبیر و تفسیر راحت‌تر خواهد بود.

۱۳-۲- تکنیک رسم نقشه‌ها

در زمینه اکتشافات ژئوشیمیایی، اهمیت تغییرات فضایی داده‌ها در راستای

تشخیص الگوهای غیرمعمول که ممکن است در ارتباط با پتانسیل‌های کانی‌سازی باشد،

برکسی پوشیده نیست. توزیع فضایی مقادیر غلظت عناصر بصورت نقشه توصیف

می‌شود که طبیعت و مقیاس این نقشه به هدف مورد نظر بستگی دارد. نقشه‌های

ژئوشیمیایی را میتوان به دو گروه تقسیم کرد:

۱- نقشه‌هایی که غلظت عناصر را در محل نمونه‌های اشان نشان میدهند(نقشه‌های

نمادین یا Symbol map).

۲- نقشه‌هایی که تأکید بر الگوی توزیع عناصر در مقیاس ناحیه‌ای و محلی

دارند (نقشه‌های کتوئی و طیفی).

تکنیک رسم نقشه‌های نوع دوم بطور مرسوم و گسترده در بسیاری از نرم

افزارهای کامپیوتری مورد استفاده قرار می‌گیرد. در محدوده اکتشافی جبشی ۱۹ نقشه تک

متغیره و ۶ نقشه فاکتوری رسم شده است.

۱۴-۲ - شرح نقشه ناهنجاری‌های ژئوشیمیایی

در توضیح نقشه ناهنجاریها تلاش شده است تا شرح نسبتاً مختصر و کاملی از عیار هر عنصر، نشانی دقیق ناهنجاریها، شماره و موقعیت نمونه‌های ناهنجار، شدت و درجه نسبی ناهنجاریها و انطباق ناهنجاریها ژئوشیمیایی بر ناهنجاری دیگر عناصر ارائه گردد.

در بررسی صحت و درستی نواحی ناهنجار، برای هر عنصر (یا مجموعه‌ای از عناصر) مرحله کنترل ناهنجاریها نقش انکارناپذیری را ایفا می‌کند. در این مرحله از عملیات صحرازی، مشاهدات اکتشافگران در همسویی با پدیده‌های زمین‌شناسی، زمین‌ساختی، کانه‌زائی، دگرسانی و... در تعبیر و تفسیر نواحی ناهنجار، روش‌نگر بسیاری از رفتارهای غیرعادی ژئوشیمیایی خواهد بود. برداشت نمونه‌های کانی سنگین از آبرفت‌های موجود در محدوده ناهنجاریها و نیز برداشت نمونه‌های لیتوژئوشیمیایی از نواحی دگرسان شده و کانی‌ساز نقش راهگشا در تحلیل نواحی پیشنهادی ایفا می‌کند.

درجه و شدت ناهنجاریها با توجه به تعداد نمونه‌های ناهنجار در محدوده ناهنجاری و قرارگیری عیار نمونه در دامنه‌های سه‌گانه زیر بیان شده است :

(۱) بزرگتر از $X+3S$ تا مقدار ماکزیمم

(۲) از $X+2S$ تا $X+1S$

(۳) از $X+1S$ تا $X+2S$

X میانگین و S انحراف معیار لگاریتم داده‌های خام نرمال شده می‌باشد، بطوری که

هرچه تعداد نمونه‌های ناهنجار در محدوده بیشتر بوده و مقدار عیار این نمونه‌ها در دامنه

بالاتر قرار گرفته باشد شدت ناهنجاری با درجات ۱ یا ۲ گزارش شده است، شرح ناهنجاری

ژئوشیمیایی عناصر با اهمیت با توجه به نقشه‌های مربوطه به ترتیب زیر می‌باشد، لازم به ذکر

در تعدادی از جداول منحصرًا نمونه‌های ناهنجار درجه ۱ ارائه شده است در ضمن ضرایب

همبستگی که در سطح اعتماد زیر ۹۹ درصد محاسبه شده است در ضمن مقادیر میانگین،

بیشترین و کمترین مقادیر، چولگی و کشیدگی داده‌ها، انحراف استاندارد و واریانس و

همچنین هیستوگرام و منحنی P-*P* ارائه شده در تشریح ناهنجاری‌ها تمامًا مربوط به مقادیر

داده‌های خام می‌باشد (برای دستیابی به شرح واحدها به بخش زمین‌شناسی مراجعه شود).

۱۴-۲- توصیف ناهنجارهای عنصر نقره

این عنصر دارای مقدار میانگین ۵۳٪، بیشترین و کمترین مقدار آن به ترتیب ۱/۱۲ و

۱۱٪ پسیام، چولگی و کشیدگی ۱۱٪ و ۱۱٪، انحراف استاندارد و واریانس آن به ترتیب

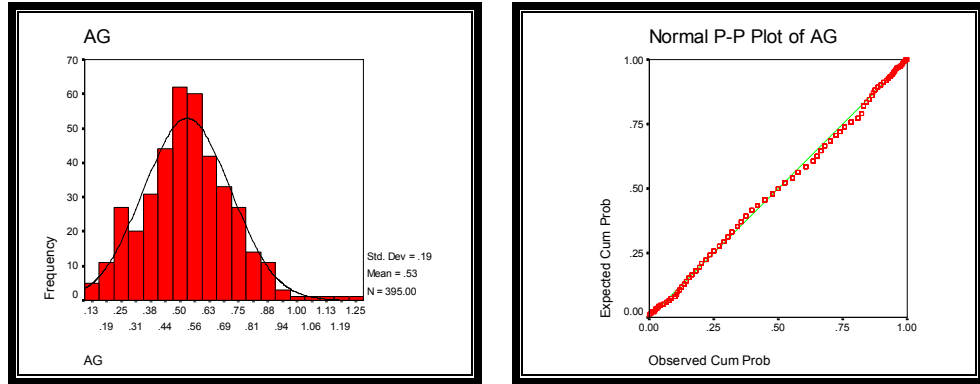
۱۸٪ و ۳٪ می‌باشد (جدول ۱۲-۲) که موید غیرنرمal بودن توزیع داده‌های خام این عنصر است

(نمودار ۷-۲)، خطای محاسبه شده برای این عنصر برابر با ۳۲٪ می‌باشد که تا حدودی میتوان به

آن استناد نمود.

جدول ۱۲-۲- پارامترهای آماری داده‌های خام عنصر نقره در محدوده مطالعاتی حبسی

ردیف	N		Mean	Median	Mode	Std. Deviation	Variance	Skewness	Kurtosis	Minimum	Maximum
	Valid	Missing									
	395	0.00	0.53	0.53	0.57	0.18	0.03	0.11	-0.11	0.10	1.12



نمودار ۲-۷- هیستوگرام و منحنی تابع توزیع احتمالی داده‌های خام عنصر نقره

ضریب همبستگی نقره به استثناء نیکل با سایر عناصر و در سطح اعتماد قابل قبول ۹۹

درصد دارای همبستگی مناسب میباشد به طوری که ضریب همبستگی این عنصر با کبالت، کروم، مس، منگنز، وانадیم، استرانسیوم و جیوه منفی و با سایر عناصر این ضریب مثبت میباشد که بیشترین ضریب همبستگی این عنصر با عناصر آرسنیک، اورانیوم، سرب و مولیبدن میباشد (جدول ۲-۱۳).

جدول ۲-۱۳- ضرایب همبستگی داده‌های خام عنصر نقره در محدوده مطالعاتی جبوی

	Au	As	Co	Cr	CU	Mn	Ni	Zn	Ba	La	V
Ag	0.037	,581(**)	-,365(**)	-,267(**)	-,318(**)	-,274(**)	-,116(*)	,328(**)	,369(**)	,239(**)	-,441(**)
	SR	HG	BI	MO	PB	SB	SN	W	U	CD	
	-,225(**)	-,201(**)	,403(**)	,505(**)	,538(**)	,517(**)	,359(**)	,382(**)	,585(**)	,261(**)	

پی‌جویی به روش اکتشاف ژئوشیمیایی ۱:۲۵۰۰۰ در محدوده اکتشافی
حبشی - شریف آباد

در جدول ۱۴-۲، نمونه‌ها بر مبنای بالاترین مقدار تا مقادیر پایین مرتب شده‌اند، با

نگرشی بر نقشه ناهنجاری‌های ژئوشیمیایی و بالطبع نمونه‌های ناهنجار عنصر نقره معلوم می‌شود که هیچ‌گونه محدوده ناهنجار با ارزشی را نمی‌توان برای این عنصر متصور شد چرا که تمام ناهنجاریها درجه ۲ بوده که رسوبات مربوطه عمدتاً از واحدهایی که شامل تناوی از سنگ‌های آتشفسانی با ترکیب آندزیت، تراکی آندزیت (Jk^{v2}) همراه با توف‌های سنگی - بلورین، ریولیت، ریوداسیت‌های صورتی تا کرم با بافت میکروکریستالین و آفانیتیک با زمینه‌ای شدیداً دگرسان شده (JK^{rhy}) به همراه مجموعه‌ای که شامل ترادف ضخیم سنگ‌های ولکانیکی - رسوبی با ترکیب آندزیت، داسیت، اسلیت، افق‌های ماسه‌سنگی، ریوداسیت و ریولیت (JK) منشا می‌گیرد که با توجه به درجه ناهنجاری تقریباً فاقد ارزش می‌باشد.

جدول ۱۴-۲ - توصیف ناهنجارهای عنصر نقره در محدوده مورد مطالعه حبشی

ردیف	نام اlement	نماد	نوع	ایستگاه نمونه برداری		جهت	جهت ناهنجاری
				Y	X		
1	Sb,Pb	Jk^{v2},Jk	1.23	759197	3841287	HA.335	2
2	-	Q_2,Jk	1.2	759693	3844833	HA.380	2
3	Mn	Jk^{v2},Jk^{rhy}	1.12	762925	3847955	HA.323	2
4	As,Zn	Jk^{v2},Jk^{rhy}	1.04	762898	3848481	HA.171	2



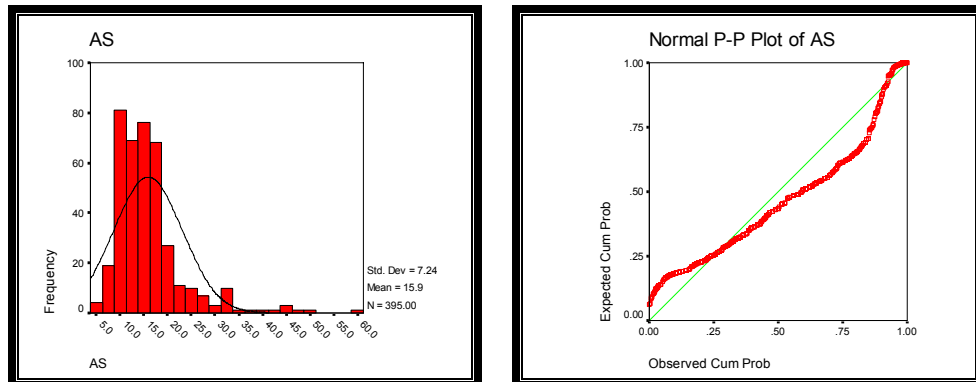
پی جویی به روش اکتشاف ژئو شیمیایی ۱:۲۵۰۰۰ در محدوده اکتشافی
حبسی - شریف آباد

۱۴-۲- توصیف ناهنجارهای عنصر آرسنیک

این عنصر دارای مقدار میانگین ۱۵/۸۶، بیشترین و کمترین مقدار آن به ترتیب ۵۹/۱۰ و ۸/۴ پی ام، چولگی و کشیدگی ۲/۱۳ و ۷/۳۴، انحراف استاندارد و واریانس آن به ترتیب ۷/۲۵ و ۵۲/۵۱ میباشد که موید غیرنرمال بودن توزیع داده‌های این عنصر است (جدول ۱۵-۲) (نمودار ۸-۲)، در ضمن خطای محاسبه شده برای این عنصر برابر با ۲۶/۸۵ میباشد که تا حدودی میتوان به آن استناد نمود.

جدول ۱۵-۲- پارامترهای آماری داده‌های خام عنصر آرسنیک در محدوده مطالعاتی جبشی

As	N		Mean	Median	Mode	Std. Deviation	Variance	Skewness	Kurtosis	Minimum	Maximum
	Valid	Missing									
	395	0	15.86	14.70	9.7(a)	7.25	52.51	2.23	7.34	4.80	59.10



نمودار ۸-۲- هیستوگرام و منحنی تابع توزیع احتمالی داده‌های خام عنصر آرسنیک

ضریب همبستگی آرسنیک با عناصر مختلف نشان میدهد که آرسنیک به استثناء جیوه با تمام عناصر و در سطح اعتماد قابل قبول ۹۹ درصد دارای همبستگی مناسب میباشد، ضریب همبستگی این عنصر با کبالت، کروم، مس، منگنز، نیکل، وانادیم، استرانسیوم منفی و با سایر

پی‌جویی به روش اکتشاف ژئوشیمیایی ۱:۲۵۰۰۰ در محدوده اکتشافی
جبشی - شریف آباد

عناصر این ضریب مثبت می‌باشد که بیشترین ضریب این عنصر با نقره، اورانیوم، تنگستن، سرب و

مولیبدن است (جدول ۱۶-۲).

جدول ۱۶-۲ - ضرایب همبستگی داده‌های خام عنصر آرسنیک در محدوده مطالعاتی جبشی

	Au	Co	Cr	CU	Mn	Ni	Zn	Ba	La	V	SR
S ₄	,181(**)	-,302(**)	-,207(**)	-,333(**)	-,139(**)	-,191(**)	,420(**)	,438(**)	,193(**)	-,362(**)	-,415(**)
HG	AG	BI	MO	PB	SB	SN	W	U	CD		
-0.021	,581(**)	,403(**)	,533(**)	,522(**)	,542(**)	,433(**)	,580(**)	,655(**)	,283(**)		

در جدول ۱۷-۲، نمونه‌های ناهنجار درجه یک ارائه شده است (نقشه ۲) لازم به ذکر است

رسوبات مربوطه عمدتاً از واحدهایی که شامل تناوبی از سنگهای آتشفسانی با ترکیب آندزیت،

تراکی آندزیت (Jk^{v2}) همراه با توفهای سنگی - بلورین، ریولیت، ریوداسیت‌های صورتی تا کرم

با بافت میکروکریستالین و آفانیتیک (JK^{rhy}) با زمینه‌ای شدیداً دگرسان شده به همراه مجموعه‌ای

که شامل (J^K) ترادف ضخیم سنگ‌های ولکانیکی - رسوبی با ترکیب آندزیت، داسیت، اسلیت،

افق‌های ماسه‌سنگی، ریوداسیت و ریولیت منشا می‌گیرد که با توجه به درجه ناهنجاری، همبود با

عناصر دیگر و تمرکز آنها تا حدودی دارای ارزش بوده و میتوان به آنها توجه نمود.

جدول ۱۷-۲ - توصیف ناهنجارهای عنصر آرسنیک در محدوده مورد مطالعه جبشی

عنصر	نمودار	مقدار	ایستگاه نمونه برداری		نام	ردیف
			Y	X		
Au,Cd,Pb,Zn	Jk^{v2}, Jk^{rhy}, Q_2	59.1	762815	3843224	HA.158	1
Cd	Jk^{v2}, Jk^{rhy}, Q_2	50.7	761270	3842064	HA.59	1
Zn,Mo	Jk^{v2}, Jk^{rhy}, Q_2	48.2	762201	3843214	HA.170	1
Zn,pb	Jk^{v2}, Jk^{rhy}, Q_2	46.1	762695	3842486	HA.163	1
Zn,Ag	Jk^{v2}, Jk^{rhy}, Q_2	46.1	761941	3843276	HA.171	1



پی جویی به روش اکتشاف ژئوشیمیایی ۱:۲۵۰۰۰ در محدوده اکتشافی
حبسی - شریف آباد

۱۴-۳-توصیف ناهنجارهای عنصر طلا

این عنصر دارای مقدار میانگین ۲/۷۲، بیشترین و کمترین مقدار آن به ترتیب ۱۹ و ۰/۰

ppb، چولگی و کشیدگی ۲/۹۶ و ۱۷/۵۸ و ۲/۰۱، انحراف استاندارد و واریانس آن به ترتیب ۲/۰۱ و ۴/۰۴

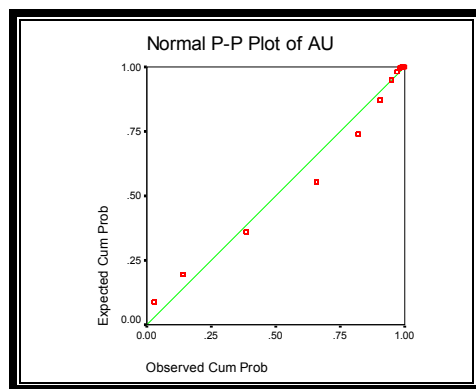
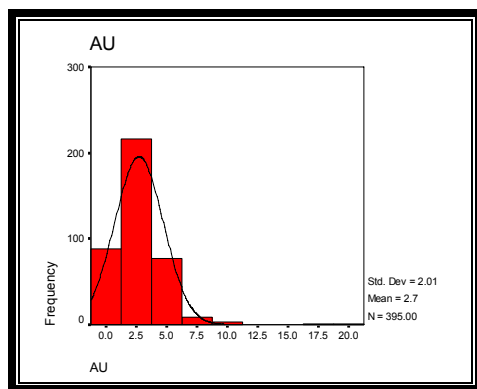
میباشد که موید غیرنرم مال بودن توزیع داده‌های این عنصر است (جدول ۱۸-۲) (نمودار ۹-۲)

خطای محاسبه شده برای این عنصر برابر با ۱۱۶/۰۱ میباشد که بسیار بالا است و نمیتوان به آن

اعتماد کرد.

جدول ۱۸-۲ - پارامترهای آماری داده‌های خام عنصر طلا در محدوده مطالعاتی حبشی

N	N		Mean	Median	Mode	Std. Deviation	Variance	Skewness	Kurtosis	Minimum	Maximum
	Valid	Missing									
395	0	2.72	2.00	2.00	2.01	2.01	4.04	2.96	17.58	0.00	19.00



نمودار ۹-۲- هیستوگرام و منحنی تابع توزیع احتمالی داده‌های خام عنصر طلا

طلا با اکثر عناصر و در سطح اعتماد قابل قبول ۹۹ درصد دارای همبستگی ضعیفی

میباشد که بیشترین ضریب این عنصر با اورانیوم دیده میشود که چندان با اهمیت تلقی

نمیشود (جدول ۱۹-۲).



پی جویی به روش اکتشاف ژئوشیمیایی ۱:۲۵۰۰۰ در محدوده اکتشافی
جبشی - شریف آباد

جدول ۲-۱۹- ضرایب همبستگی داده‌های خام عنصر طلا در محدوده مطالعاتی حبشی

	As	Co	Cr	CU	Mn	Ni	Zn	Ba	La	V	SR
	,181(**)	-0.04	-,168(**)	-0.003	-0.011	-0.081	0.005	0.072	0.033	-,118(*)	-,100(*)
	HG	AG	BI	MO	PB	SB	SN	W	U	CD	
	-,188(**)	0.037	,166(**)	-0.086	0.068	,162(**)	0.08	,215(**)	,264(**)	-0.082	

جدول ۲-۲۰- توصیف ناهنجارهای عنصر طلا در محدوده مورد مطالعه حبشی

ردیف	نام ناهنجار	جهت	دما	آستانه	ایستگاه نمونه برداری		جهت	نام ناهنجار
					Y	X		
	Cd,Pb,Zn,	Q ₂	19	3847547	763459	HA.185	1	
	-	Q ₂	17	3845438	760701	HA.18	1	
	Mo,W	Jk	11	3847912	757515	HA.90	2	
	-	Jk ^{v2} ,Jk ^{rhy}	10	3844282	760195	HA.297	2	
	-	Jk ^{v2} ,Jk ^{rhy}	10	3842612	765070	HA.376	2	
	Cu,Sb	Jk ^{v2} ,Jk ^{rhy}	8	3841666	765313	HA.295	2	
	-	Jk ^{v2} ,Jk ^{rhy}	8	3846972	757444	HA.329	2	
	-	Jk ^{v2} ,Jk ^{rhy}	8	3844510	766119	HA.84	2	

در جدول فوق دو نمونه ناهنجار با اهمیت درجه یک و ۶ نمونه ناهنجار با اهمیت

درجه دو برای عنصر طلا ارائه شده است که نمونه‌های HA.185 و HA.18 با عیارهای

۱۷ و ۱۹ ppb تقریباً جلب توجه می‌کند که رسوبات مربوطه از نهشته‌های آبرفتی جوان دشت‌ها

شامل پادگانهای و مخروطافکنهای رودخانهای مرکب از رس، سیلت، ماسه و کنگلومرا منشا

می‌گیرند اما باید توجه داشت چنین عیارهایی در اکتشافات ژئوشیمیایی با مقیاس‌های ۱:۲۵۰۰۰

فاقد ارزش می‌باشد (جدول ۲-۲۰) (نقشه ۳).



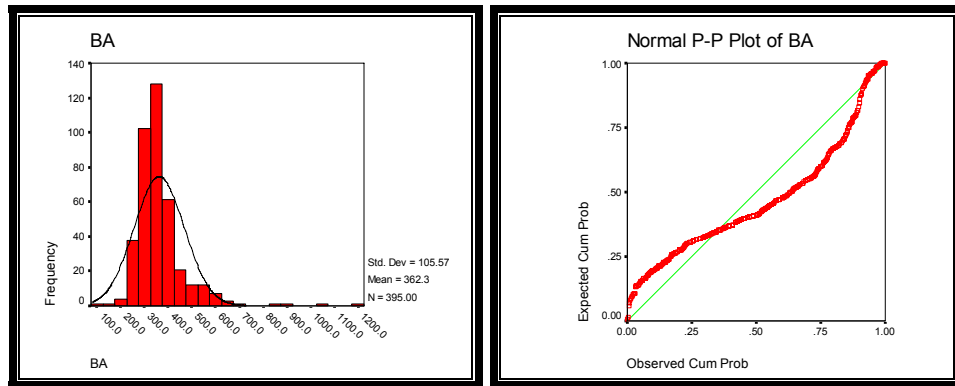
پی جویی به روش اکتشاف ژئوشیمیایی ۱:۲۵۰۰۰ در محدوده اکتشافی
حبسی - شریف آباد

۱۴-۴- توصیف ناهنجارهای عنصر باریم

این عنصر دارای مقدار میانگین ۲۶۲/۳۶، بیشترین و کمترین مقدار آن به ترتیب ۱۱۸۰ و ۱۰۶ پی‌پی‌ام، چولگی و کشیدگی ۲/۹۴ و ۱۵/۶۴، انحراف استاندارد و واریانس آن به ترتیب ۱۰۵/۰۶ و ۱۱۴۲/۱۷ میباشد که نشان دهنده غیرنرم‌مال بودن توزیع داده‌های این عنصر است (جدول ۲۱-۲) (نمودار ۱۰-۲)، خطای محاسبه شده برای این عنصر برابر با ۳/۶۲ میباشد که کاملاً قابل قبول میباشد.

جدول ۲۱-۲- پارامترهای آماری داده‌های خام عنصر باریم در محدوده مطالعاتی حبشی

BA	N		Mean	Median	Mode	Std. Deviation	Variance	Skewness	Kurtosis	Minimum	Maximum
	Valid	Missing									
395	0	362.36	339.00	327.00	105.56	11142.17	2.94	15.64	106.00	1180.00	



نمودار ۱۰-۲- هیستوگرام و منحنی تابع توزیع احتمالی داده‌های خام عنصر باریم

ضریب همبستگی باریم با عناصر مختلف به استثناء طلا، کروم، مس، منگنز، نیکل، جیوه و قلع و در سطح اعتماد قابل قبول ۹۹ درصد معنی‌دار است به طوری که این ضریب با عناصر آرسنیک، روی، لانتانیم، نقره، بیسموت، مولیبدن، سرب، آنتیموان، تنگستن، اورانیوم و کادمیم



پی جویی به روش اکتشاف ژئوشیمیایی ۱:۲۵۰۰۰ در محدوده اکتشافی
جبوشی - شریف آباد

مثبت و با بقیه عناصر منفی میباشد و بیشترین ضریب این عنصر با آنتیموان (۰/۵۶۰) و سرب

(۰/۵۷۴) میباشد (جدول ۲۲-۲).

جدول ۲۲-۲- ضرایب همبستگی داده‌های خام عنصر باریم در محدوده مطالعه جبوشی

	Au	As	Co	Cr	CU	Mn	Ni	Zn	La	V	SR
Ba	0.072	,438(**)	-,137(**)	-0.047	-0.017	-0.08	0.046	,252(**)	,225(**)	-,208(**)	-,273(**)
	HG	AG	BI	MO	PB	SB	SN	W	U	CD	
	-,101(*)	,369(**)	,476(**)	,231(**)	,574(**)	,560(**)	0.086	,195(**)	,261(**)	,298(**)	

جدول ۲۳-۲- توصیف ناهنجارهای عنصر باریم در محدوده مطالعه جبوشی

ردیف نمونه	نام نمونه	ردیف نمونه	ایستگاه نمونه برداری	ردیف نمونه		ردیف نمونه	ردیف نمونه	ردیف نمونه
				Y	X			
-	Jk,Jk ^{rhy}	1180	3841217	763075	HA.52	1		
-	Jk,Jk ^{rhy}	1030	3841454	764866	HA.366	1		
-	Jk,Jk ^{rhy}	918	3841441	761661	HA.50	1		
	Jk ^{v2}	868	3848779	762953	HA.252	1		
U	Jk ^{v2} ,Jk ^{rhy}	686	3844833	763746	HA.286	1		
-	Jk,Jk ^{rhy}	671	3841222	762165	HA.51	1		
-	Jk ^{rhy} ,J ^k ,Q2	662	3844091	763556	HA.354	1		

همانگونه که در جدول ۲۳-۲ ملاحظه میشود نمونه‌های ناهنجاری با اهمیت درجه یک

عنصر باریم ارائه شده است که تمرکز نمونه‌های HA.52 (1180 پی پی ام)، HA.366 (1030 پی پی ام)

و A.51 (918 پی پی ام) باعث افزایش اهمیت آنها شده

است (نقشه ۴).



پی جویی به روش اکتشاف ژئوشیمیایی ۱:۲۵۰۰۰ در محدوده اکتشافی
حبشی - شریف آباد

۱۴-۲- توصیف ناهنجارهای عنصر بیسموت

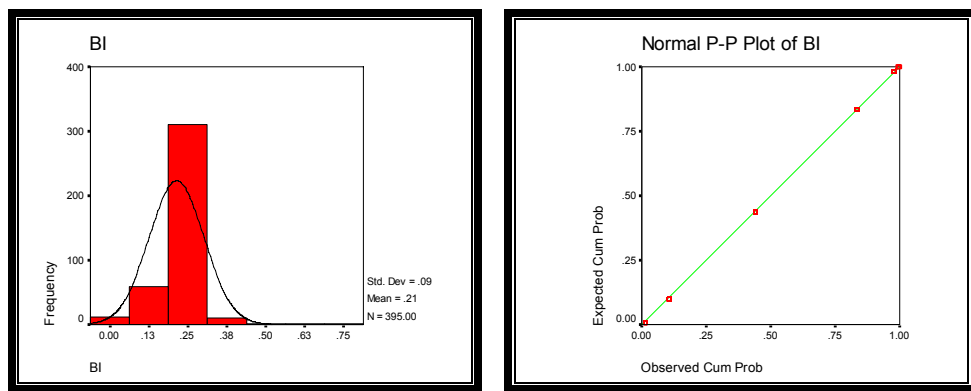
این عنصر دارای مقدار میانگین ۰/۲۱، بیشترین و کمترین مقدار آن به ترتیب ۰/۸ و ۰ پی‌پی‌ام، چولگی و کشیدگی ۰/۷۸ و ۰/۶۵، انحراف استاندارد و واریانس آن به ترتیب ۰/۰۹ و ۰/۰۱ میباشد که مoid

توزیع تقریباً نرمال برای داده‌های خام این عنصر است (جدول ۲۴-۲) (نمودار ۱۱-۲)، ضمناً خطای

محاسبه شده برای این عنصر برابر با ۲۳/۷۸ میباشد که تا حدودی قابل قبول میباشد.

جدول ۲۴-۲- پارامترهای آماری داده‌های خام عنصر بیسموت در محدوده مطالعاتی جبشی

B.	N		Mean	Median	Mode	Std. Deviation	Variance	Skewness	Kurtosis	Minimum	Maximum
	Valid	Missing									
	395	0.00	0.21	0.20	0.20	0.09	0.01	0.78	5.60	0.00	0.80



نمودار ۱۱-۲- هیستوگرام و منحنی تابع توزیع احتمالی داده‌های خام عنصر بیسموت

ضریب همبستگی بسیمومت با بیشتر عناصر به استثناء کبالت، کروم، مس و استرانسیوم و در سطح اعتماد قابل قبول ۹۹ درصد دارای همبستگی مناسب میباشد به طوری که این ضریب

همستگی این عنصر با منگنز، وانادیم و جیوه منفی و با بقیه عناصر مثبت می‌باشد و بیشترین

ضریب این عنصر با باریم (۰/۵۷۴) می‌باشد (جدول ۲۵-۲).

جدول ۲-۲۵- ضرایب همبستگی داده‌های خام عنصر بیسموت در محدوده مطالعاتی حبشی

	Au	As	Co	Cr	CU	Mn	Ni	Zn	Ba	La	V
Bi	,166(**)	,403(**)	-0.085	-0.081	-0.073	-260(**)	,208(**)	,163(**)	,476(**)	,363(**)	-,396(**)
SR	HG	AG	MO	PB	SB	SN	W	U	CD		
-,122(*)	-,348(**)	,403(**)	,185(**)	,443(**)	,451(**)	,228(**)	,226(**)	,409(**)	,266(**)		

جدول ۲-۲۶- توصیف ناهنجارهای عنصر بیسموت در محدوده مورد مطالعه حبشی

ردیف	نام	دسته	جایگزین	ایستگاه نمونه برداری		ردیف	نام	دسته
				Y	X			
-	Jk ^{v2} , J ^k	0.8	3848221	762221.2	HA.249	1		
Zn	Q1	0.6	3843157	762399.3	HA.169	2		
La	Jk ^{v2}	0.5	3848725	765282.8	HA.320	2		

همانگونه که در نقشه و جدول ناهنجاری با اهمیت برای عنصر بیسموت ملاحظه

می‌شود (جدول ۲۶-۲) تنها یک نمونه با اهمیت درجه یک و دو نمونه با اهمیت درجه دو وجود

داشته که با توجه به عیار و همبود ضعیف با دیگر عناصر، ارزش چندانی نمی‌توان برای آن در نظر

گرفت (نقشه ۵).



پی جویی به روش اکتشاف ژئوشیمیایی ۱:۲۵۰۰۰ در محدوده اکتشافی
حبسی - شریف آباد

۱۴-۶- توصیف ناهنجارهای عنصر کادمیم

این عنصر دارای مقدار میانگین ۰/۴۱، بیشترین و کمترین مقدار آن به ترتیب ۰/۱ و ۰

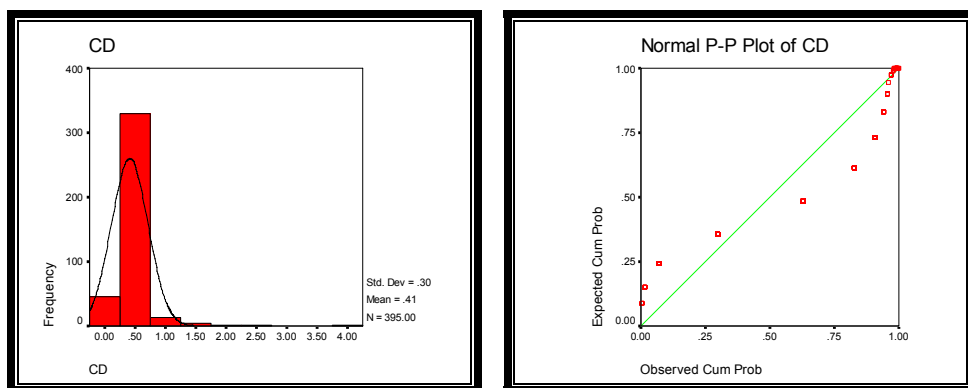
پی‌پی‌ام، چولگی و کشیدگی ۰/۵۷ و ۰/۲۶، انحراف استاندارد و واریانس آن به ترتیب ۰/۳ و ۰

۰/۰۹ میباشد که موید توزیع غیرنرمال برای داده‌های خام این عنصر است (جدول ۲-۲)

(نمودار ۱۲-۲)، در ضمن خطای محاسبه شده برای این عنصر برابر با ۰/۷۹ میباشد که تا حدودی قابل قبول میباشد.

جدول ۲-۲- پارامترهای آماری داده‌های خام عنصر کادمیم در محدوده مطالعاتی جبشی

PQ	N		Mean	Median	Mode	Std. Deviation	Variance	Skewness	Kurtosis	Minimum	Maximum
	Valid	Missing									
	395	0.00	0.41	0.40	0.30	0.30	0.09	6.57	64.26	0.00	4.10



نمودار ۱۲-۲- هیستوگرام و منحنی تابع توزیع احتمالی داده‌های خام عنصر کادمیم

ضریب همبستگی کادمیم با سایر عناصر نشان میدهد که کادمیم به استثناء کبات، منگنز،

قلع، تنگستن و اورانیوم با دیگر عناصر و در سطح اعتماد قابل قبول ۹۹ درصد دارای همبستگی

مناسب میباشد به طوری که ضریب همبستگی این عنصر با تمام عناصر مثبت بوده و بیشترین

ضریب این عنصر با روی (۰/۴۹۹) و سرب (۰/۴۶۳) دیده میشود (جدول ۲۸-۲).

پی‌جویی به روش اکتشاف ژئوشیمیایی ۱:۲۵۰۰۰ در محدوده اکتشافی

حبشی - شریف آباد

جدول ۲۸-۲ - ضرایب همبستگی داده‌های خام عنصر کادمیم در محدوده مطالعه حبشی

Cd	Au	As	Co	Cr	CU	Mn	Ni	Zn	Ba	La	V
0	,283(**)	,119(*)	,283(**)	,142(**)	-0.019	,327(**)	,499(**)	,298(**)	0.037	-0.052	
SR	HG	AG	BI	MO	PB	SB	SN	W	U		
-143(**)	,145(**)	,261(**)	,266(**)	,382(**)	,463(**)	,241(**)	-0.012	0.093	0.092		

جدول ۲۹-۲ - توصیف ناهنجارهای عنصر کادمیم در محدوده مورد مطالعه حبشی

نام نمونه	نام نمونه	نام نمونه	نام نمونه	ایستگاه نمونه برداری		نام نمونه	نام نمونه
				Y	X		
-	Jk ^{v2} , Jk ^{rhy} , J ^k	4.1	3848779	762953	HA.252	1	
As,Au ,Pb,Zn	Q2	2.4	3848853	758444	HA.185	1	
Zn	Jk ^{v2} , Q2,J ^k	2.2	3844282	760195	HA.79	1	
Zn	Jk ^{v2} , Jk ^{rhy} , J ^k	1.7	3847995	763290	HA.246	1	
Zn	Jk ^{v2} , Jk ^{rhy} , J ^k	1.6	3847604	762909	HA.374	1	
Zn	Jk ^{v2} , Jk ^{rhy} , J ^k	1.5	3847576	763094	HA.375	1	
-	Jk ^{v2} , Q2,J ^k	1.4	3848629	763123	HA.296	1	
Zn	Jk ^{v2} , Q2,J ^k	1.2	3843433	761115	HA.68	1	
W	Jk	1.1	3845745	762963	HA.134	1	
W	Jk	1	3845680	762525	HA.135	1	
-	Jk ^{v2} , Q2,J ^k	1	3843350	765003	HA.351	1	
-	Jk	1	3845639	764730	HA.380	1	
	Jk ^{v2} , Jk ^{rhy} , J ^k	1	3841550	761853	HA.55	1	
As	Jk ^{v2} , Q2,J ^k	1	3842065	761271	HA.59	1	
-	Jk ^{v2} , Q2,J ^k	1	3842918	760725	HA.64	1	

همانگونه که در جدول ۲۹-۲ و نقشه انتشار کادمیم ملاحظه می‌شود، نمونه با اهمیت

درجه ۱ در منطقه پراکنده می‌باشد اما نمونه‌های موجود در بخش شمال منطقه یعنی نمونه‌های

درجه ۱ در منطقه پراکنده می‌باشد اما نمونه‌های موجود در بخش شمال منطقه یعنی نمونه‌های

بوده که باعث افزایش ارزش آن شده و باید توجه بیشتری به آن نمود(نقشه ۶).



پی جویی به روش اکتشاف ژئو شیمیایی ۱:۲۵۰۰۰ در محدوده اکتشافی
حبسی - شریف آباد

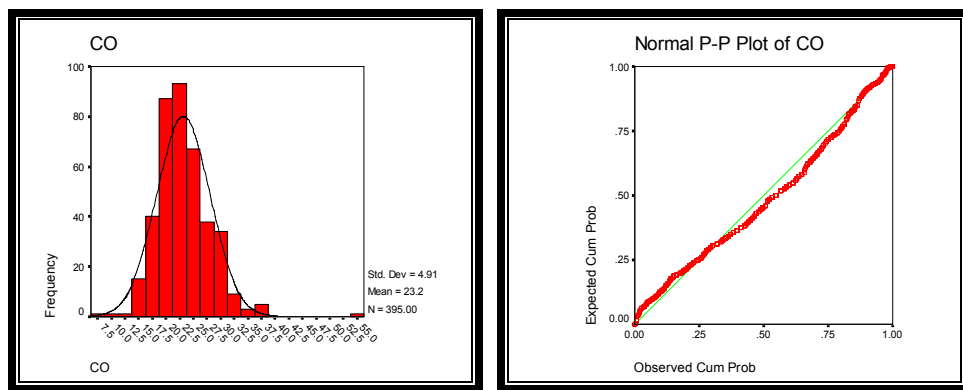
۱۴-۷-توصیف ناهنجارهای عنصر کالت

این عنصر دارای مقدار میانگین ۱۹/۲۳، بیشترین و کمترین مقدار آن به ترتیب ۸۰/۴ و ۴/۲۹ است.

۷/۳ پس از کشیدگی ۱۰۲ و ۴/۲۹، انحراف استاندارد و واریانس آن به ترتیب ۹۱/۴ و ۱۴/۲۴ میباشد که موید توزیع غیرنرمال داده‌های این عنصر با چولگی مثبت است (جدول ۲-۲۴) (نمودار ۱۳-۲)، خطای محاسبه شده برای این عنصر برابر با ۹۴/۱۶ میباشد که تا حدودی قابل قبول میباشد.

۳۰-۲-جدول پارامترهای آماری داده‌های خام عنصر کالت در محدوده مطالعاتی حبسی

O	N		Mean	Median	Mode	Std. Deviation	Variance	Skewness	Kurtosis	Minimum	Maximum
	Valid	Missing									
	395	0	23.19	22.60	20.80	4.91	24.14	1.02	4.29	7.30	54.80



نمودار ۱۳-۲- هیستوگرام و منحنی تابع توزیع احتمالی داده‌های خام عنصر کالت

ضریب همبستگی کالت با بیشتر عناصر و در سطح اعتماد قابل قبول ۹۹ درصد دارای همبستگی مناسب میباشد به طوری که ضریب همبستگی این عنصر با آرسنیک، باریم، نقره، مولیبدن، سرب، آنتیموان، تنگستن، اورانیوم و قلع منفی و با بقیه عناصر مثبت میباشد و بیشترین ضریب همبستگی این عنصر با مس (۰/۷۱۸)، نیکل (۰/۶۳۹) و منگنز (۰/۵۴۶) است (جدول ۲-۳۱).

پی‌جویی به روش اکتشاف ژئوشیمیایی ۱:۲۵۰۰۰ در محدوده اکتشافی

حبشی - شریف آباد

جدول ۳۱-۲- ضرایب همبستگی داده‌های خام عنصر کبالت در محدوده مطالعه حبشه

	Au	As	Cr	CU	Mn	Ni	Zn	Ba	La	V	SR
C	-0.04	-,302(**)	,642(**)	,718(**)	,546(**)	,639(**)	,191(**)	-,137(**)	-0.015	,678(**)	,298(**)
	HG	AG	BI	MO	PB	SB	SN	W	U	CD	
	0.049	-,365(**)	-0.085	,177(**)	,205(**)	,285(**)	,149(**)	-,362(**)	,374(**)	,119(*)	

جدول ۳۲-۲- توصیف ناهنجاری‌های عنصر کبالت در محدوده مورد مطالعه حبشه

نام ناهنجاری	ردیف	نام عنصر	ایستگاه نمونه برداری	موقعیت		ردیف نهاده	
				Y	X		
Cr,Cu,Ni		Jk ^{rhy} , Jk ^{V2} , Jk	54.8	3848345	764291	HA.386	1
Cr,Ni		Jk ^{rhy} , Jk ^{V2} , Jk	38.5	3847963	765319.2	HA.315	2
Cr		Jk ^{rhy} , Jk ^{V2} , Jk	37.9	3848548	764563.3	HA.318	2
Cr,Ni		Jk ^{rhy} , Jk ^{V2} , Jk	37.5	3848653	764884.1	HA.387	2
V		Q ₁	37.1	3843041	758630.7	HA.21	2
Cr		Jk ^{rhy} , Jk ^{V2} , Jk	36.6	3848652	763762.6	HA.259	2
Cr,Ni		Jk ^{rhy} , Jk ^{V2}	35.7	3847388	765280.5	HA.313	2
-		Q ₁	35	3842585	758666.4	HA.388	2
-		Jk ^{V2}	34.5	3846585	760016.6	HA.216	2

همانگونه که در جدول ناهنجاری‌های با اهمیت و همچنین نقشه پراکندگی عنصر کبالت

مشخص است (جدول ۳۲-۲) بیشتر ناهنجاری‌های معرفی شده به استثناء نمونه شماره HA.386

دارای شدت ناهنجاری درجه دو میباشد اما با توجه به همبود کبالت با عناصر مشابه و همزاد

همانند کروم، نیکل و وانادیم باعث میشود که ناهنجاری‌های فوق برای این عناصر مورد توجه

قرار گیرد (نقشه ۷).



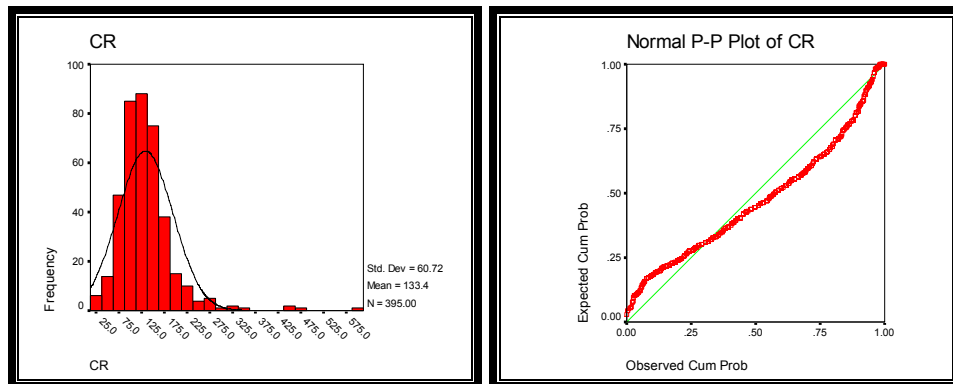
پی جویی به روش اکتشاف ژئو شیمیایی ۱:۲۵۰۰۰ در محدوده اکتشافی
حبسی - شریف آباد

۱۴-۲-توصیف ناهنجارهای عنصر کروم

این عنصر دارای مقدار میانگین ۱۳۳/۸۶، بیشترین و کمترین مقدار آن به ترتیب ۶۰۰ و ۲۰ پی‌پی‌ام، چولگی و کشیدگی ۲/۷۲ و ۱۳/۶۱، انحراف استاندارد و واریانس آن به ترتیب ۶۱/۹۵ و ۳۸۳۸ میباشد که نشاندهنده توزیع غیرنرمال داده‌های این عنصر با چولگی مثبت است (جدول ۳۳-۲) (نمودار ۱۴-۲)، خطای محاسبه شده برای این عنصر برابر با ۱۴/۳۷ میباشد که تا حدودی قابل قبول میباشد.

جدول ۳۳-۲- پارامترهای آماری داده‌های خام عنصر کروم در محدوده مطالعاتی حبشی

C	N		Mean	Median	Mode	Std. Deviation	Variance	Skewness	Kurtosis	Minimum	Maximum
	Valid	Missing									
	395	0	133.86	125.00	154.00	61.95	3838.00	2.72	13.61	20.00	600.00



نمودار ۱۴-۲- هیستوگرام و منحنی تابع توزیع احتمالی داده‌های خام عنصر کروم

ضریب همبستگی کروم با سایر عناصر نشان میدهد که نقره به استثناء باریم، استرانسیوم، بیسموت، مولیبدن و سرب با دیگر عناصر و در سطح اعتماد قابل قبول ۹۹ درصد دارای همبستگی مناسب میباشد به طوری که ضریب همبستگی این عنصر با طلا، آرسنیک، لانتانیم،

نقره، آنتیموان، اورانیوم و قلع منفی و با بقیه عناصر مثبت میباشد و بیشترین ضریب این عنصر با

کبالت(۰/۶۴۲)، مس (۰/۶۰۱)، نیکل (۰/۷۱۸) و وانادیم (۰/۵۹۵) است (جدول ۳۴-۲).

جدول ۳۴-۲- ضرایب همبستگی داده‌های خام عنصر کروم در محدوده مطالعاتی جبشی

	Au	As	Co	CU	Mn	Ni	Zn	Ba	La	V	SR
C	-,168(**)	-,207(**)	,642(**)	,601(**)	,148(**)	,718(**)	,291(**)	-0.047	-,170(**)	,595(**)	0.073
HG	AG	BI	MO	PB	SB	SN	W	U	CD		
	,252(**)	-,267(**)	-0	0.014	0.017	-,257(**)	-,387(**)	-,229(**)	-,463(**)	,283(**)	

جدول ۳۵-۲- توصیف ناهنجارهای عنصر کروم در محدوده مورد مطالعه جبشی

نام ناهنجار	نام معادل	ردیف	ایستگاه نمونه برداری	ردیف		ردیف	ردیف
				Y	X		
Co,Cu,Ni	Jk ^{rhy} , Jk ^{V2} , Jk	600	3848345	764291	HA.386	1	
Co,Ni	Jk ^{rhy} , Jk ^{V2} , Jk	477	3848653	764884.1	HA.387	1	
V	Q ₁	454	3841252	757591.3	HA.5	1	
Co,Ni	Jk ^{rhy} , Jk ^{V2} , Jk	443	3847963	765319.2	HA.315	1	
Co	Jk ^{rhy} , Jk ^{V2} , Jk	387	3848548	764563.3	HA.318	1	
Co,Ni	Jk ^{rhy} , Jk ^{V2} , Jk	341	3847388	765280.5	HA.313	1	
Co	Jk ^{rhy} , Jk ^{V2} , Jk	322	3848652	763762.6	HA.259	1	
Ni	Jk ^{rhy} , Jk ^{V2} , Jk	318	3847313	765365.4	HA.312	1	

ناهنجاری‌های با اهمیت (جدول ۳۵-۲) و نقشه پراکندگی عنصر کروم از بالا بودن اهمیت

نسبی سنگ‌های موجود در بخش شمال خاوری منطقه برای این عنصر و عناصر همزاد حکایت

میکند چرا که علاوه بر شدت ناهنجاری درجه یک این نمونه‌ها، همبود این عنصر با کبالت، نیکل

و وانادیم نیز دیده میشود (نقشه ۸).



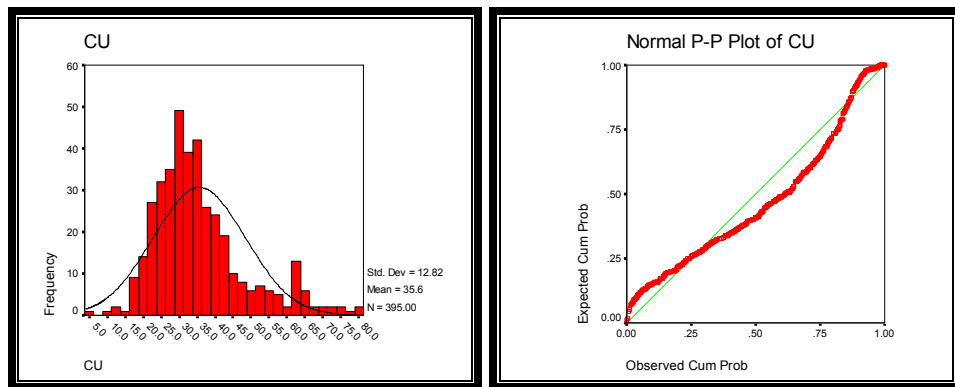
پی جویی به روش اکتشاف ژئوشیمیایی ۱:۲۵۰۰۰ در محدوده اکتشافی
حبشی - شریف آباد

۹-۱۴-۲- توصیف ناهنجارهای عنصر مس

این عنصر دارای مقدار میانگین ۳۵/۵۸، بیشترین و کمترین مقدار آن به ترتیب ۸۱ و ۶/۱ پی‌پی‌ام، چولگی و کشیدگی ۱/۱۱ و ۱/۱۹، انحراف استاندارد و واریانس آن به ترتیب ۱۲/۸۴ و ۱۶۴/۹۵ میباشد که غیرنرمال بودن توزیع داده‌های این عنصر با چولگی مثبت را نشان میدهد (جدول ۲-۳۶) (نمودار-۱۵)، خطای محاسبه شده برای این عنصر برابر با ۱۲/۰۶ میباشد که تقریباً قابل قبول میباشد.

جدول ۲-۳۶- پارامترهای آماری داده‌های خام عنصر مس در محدوده مطالعاتی حبشی

C	N		Mean	Median	Mode	Std. Deviation	Variance	Skewness	Kurtosis	Minimum	Maximum
	Valid	Missing									
	395	0	35.58	32.60	22,8(a)	12.84	164.95	1.11	1.19	6.10	81.00



نمودار-۱۵- هیستوگرام و منحنی تابع توزیع احتمالی داده‌های خام عنصر مس

ضریب همبستگی مس با سایر عناصر نشان می‌دهد که مس به استثناء طلا، باریم، جیوه، بیسموت و سرب با دیگر عناصر و در سطح اعتماد قابل قبول ۹۹ درصد دارای همبستگی و تا حدودی مناسب و معنی‌داری میباشد، به طوری که ضریب همبستگی این عنصر با آرسنیک، لاتانیم، نقره، مولیبدن، آنتیموان، اورانیوم، تنگستن و قلع منفی و با بقیه عناصر مثبت میباشد و



پی‌جویی به روش اکتشاف ژئوشیمیایی ۱:۲۵۰۰۰ در محدوده اکتشافی
جبشی - شریف آباد

بیشترین ضریب این عنصر با کجالت(۷۱۸/۰)، کروم(۶۰۱/۰) و نیکل(۵۳۸/۰) دیده می‌شود(جدول

(۳۷-۲).

جدول ۳۷-۲- ضرایب همبستگی داده‌های خام عنصر مس در محدوده مطالعاتی جبشی

	Au	As	Co	Cr	Mn	Ni	Zn	Ba	La	V	Sr
Cu	-0.003	-,333(**)	,718(**)	,601(**)	,280(**)	,538(**)	,157(**)	-0.017	-,172(**)	,579(**)	,152(**)
	Hg	Ag	Bi	Mo	Pb	Sb	Sn	W	U	Cd	
	,108(*)	-,318(**)	-0.073	-,201(**)	-0.03	-,140(**)	-	,421(**)	-,384(**)	-,473(**)	,142(**)

همانگونه که در جدول ناهنجاری‌ها و نقشه پراکندگی عنصر مس ملاحظه می‌شود

هیچگونه ناهنجاری با اهمیتی در منطقه مشاهده نمی‌شود(نقشه ۹). اگرچه در برخی نمونه‌ها

همبودهای خوبی از عناصر دیده می‌شود.

جدول ۳۸-۲- توصیف ناهنجارهای عنصر مس در محدوده مورد مطالعه جبشی

ردیف	نام نمونه	نام	Y	X	ایستگاه نمونه برداری		ردیف	نام نمونه
					Y	X		
-	Q ₁	81	3842347	759261.4	HA.24	2		
Mn	Q ₁	79.6	3841506	759955.6	HA.34	2		
-	Q ₁	76.9	3843746	758100.8	HA.19	2		
-	Q ₁	75.2	3843776	757549.9	HA.15	2		
Mn	Q ₁	74.5	3841732	760475.3	HA.30	2		
Au,Cu,Sb	Jk ^{rhy} , Jk ^{V2} , Jk	73.7	3846760	764402.2	HA.295	2		
-	Q ₁	73	3844248	757411	HA.16	2		
-	Q ₁	69.3	3842807	758118.9	HA.10	2		
-	Q ₁	68.8	3841391	758848.8	HA.42	2		
-	Q ₁	67.5	3841852	761468.4	HA.58	2		
Co,Cr,Ni	Jk ^{rhy} , Jk ^{V2} , Jk	67	3848345	764291	HA.386	2		



پی جویی به روش اکتشاف ژئو شیمیایی ۱:۲۵۰۰۰ در محدوده اکتشافی
حبسی - شریف آباد

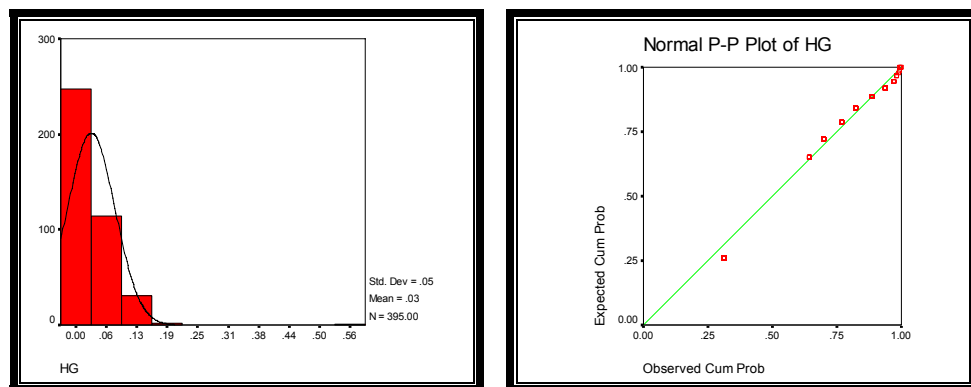
.....

۱۰-۱۴-۲- توصیف ناهنجارهای عنصر جیوه

این عنصر دارای مقدار میانگین $0/03$ ، بیشترین و کمترین مقدار آن به ترتیب $0/54$ و $0/0$ پی‌پی‌ام، چولگی و کشیدگی $3/46$ و $28/96$ ، انحراف استاندارد و واریانس آن به ترتیب $0/05$ و $0/00$ میباشد که موید غیرنرم مال بودن توزیع داده‌های این عنصر است (جدول ۲-۲) (نمودار ۱۶-۲)، خطای محاسبه شده برای این عنصر برابر با $147/59$ بوده و با غالب عناصر دارای ضریب همبستگی منفی میباشد (جدول ۴۰-۲) (نقشه ۱۰).

جدول ۲-۳۹-۲- پارامترهای آماری داده‌های خام عنصر جیوه در محدوده مطالعاتی جبوی

Hg	N		Mean	Median	Mode	Std. Deviation	Variance	Skewness	Kurtosis	Minimum	Maximum
	Valid	Missing									
	395	0.00	0.03	0.00	0.00	0.05	0.00	3.46	28.96	0.00	0.54



نمودار ۱۶-۲- هیستوگرام و منحنی تابع توزیع احتمالی داده‌های خام عنصر جیوه

جدول ۴۰-۲- ضرایب همبستگی داده‌های خام عنصر جیوه در محدوده مطالعاتی جبوی

Hg	Au	As	Co	Cr	CU	Mn	Ni	Zn	Ba	La	Sr
	-,188(**)	-0	0.049	,252(**)	,108(*)	0.066	-,111(*)	0.065	-,101(*)	-,171(**)	-,206(**)
	V	Ag	Bi	Mo	Pb	Sb	Sn	W	U	Cd	
	,267(**)	-,201(**)	-,348(**)	,147(**)	-0.09	-,233(**)	-,103(*)	0.064	-,235(**)	,145(**)	



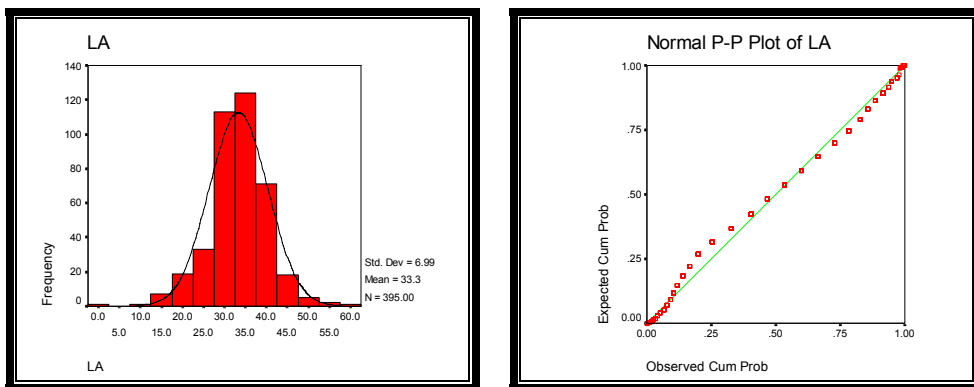
پی جویی به روش اکتشاف ژئوشیمیایی ۱:۲۵۰۰۰ در محدوده اکتشافی
حبسی - شریف آباد

۱۴-۱-توصیف ناهنجارهای عنصر لانتانیوم

این عنصر دارای مقدار میانگین 33.34 ± 6.99 ، بیشترین و کمترین مقدار آن به ترتیب 58 و صفر پسی‌ام، چولگی و کشیدگی -0.30 ، انحراف استاندارد و واریانس آن به ترتیب 6.99 و 48.89 میباشد که موید غیر نرمال بودن تقریبی توزیع داده‌های این عنصر است (جدول ۱۷-۲) (نمودار ۱۷-۲)، خطای محاسبه شده برای این عنصر برابر با 13.70 میباشد که غیرقابل قبول میباشد.

جدول ۱۷-۲- پارامترهای آماری داده‌های خام عنصر لانتانیوم در محدوده مطالعاتی حبشی

L	N	Mean	Median	Mode	Std. Deviation	Variance	Skewness	Kurtosis	Minimum	Maximum	
	Valid	Missing									
	395	0	33.34	34.00	31.00	6.99	48.89	-0.30	2.06	0.00	58.00



نمودار ۱۷-۲- هیستوگرام و منحنی تابع توزیع احتمالی داده‌های خام عنصر لانتانیوم

ضریب همبستگی لانتانیوم با حداقل نیمی از عناصر و در سطح اعتماد قابل قبول 99 درصد دارای همبستگی مناسب و معنی‌داری نمیباشد، ضمناً با بیشتر این عناصر دارای ضریب همبستگی مثبت است (جدول ۱۷-۲).

پی‌جویی به روش اکتشاف ژئوشیمیایی ۱:۲۵۰۰۰ در محدوده اکتشافی
جبشی - شریف آباد

جدول ۲-۴- ضرایب همبستگی داده‌های خام عنصر لاتانیوم در محدوده مطالعاتی جبشی

	Au	As	Co	Cr	CU	Mn	Ni	Zn	Ba	V	Sr
La	0.033	,193(**)	-0.015	-,170(**)	-,172(**)	,123(*)	0.056	0.024	,225(**)	-,187(**)	0.079
	Hg	Ag	Bi	Mo	Pb	Sb	Sn	W	U	Cd	
	-,171(**)	,239(**)	,363(**)	0.096	0.014	0.081	,541(**)	-0.033	,355(**)	0.037	

همانگونه که در جدول ناهنجاری (جدول ۲-۴) و همچنین نقشه پراکندگی ارائه شده

برای عنصر لاتانیوم ملاحظه می‌شود تنها نمونه HA.252 با ناهنجاری درجه ۲ اما همبود با عناصر

مختلف تا حدودی در منطقه مهم به نظر میرسد (نقشه ۱۱) که رسوبات مربوطه عمدتاً از

واحدهایی که شامل تنایوبی از سنگهای آتشفشاری با ترکیب آندزیت، تراکی آندزیت (Jk^{V2}) همراه

با توفهای سنگی - بلورین، ریولیت، ریوداسیت‌های صورتی تا کرم با بافت میکروکریستالین و

آفانیتیک با زمینه‌ای شدیداً دگرسان شده (JK^{rhy}) به همراه مجموعه‌ای که شامل ترادف ضخیم

سنگ‌های ولکانیکی - رسوبی با ترکیب آندزیت، داسیت، اسلیت، افق‌های ماسه‌سنگی، ریوداسیت

و ریولیت (JK) منشأ می‌گیرد.

جدول ۲-۴- توصیف ناهنجارهای عنصر لاتانیم در محدوده مورد مطالعه جبشی (نقشه ۱۰)

نام عنصر	نام محاذی	ردیف ردیف	ایستگاه نمونه برداری	بعضی از نمونه‌های	
				Y	X
Mn,Mo,Sb,U,Pb,Cd,W,Zn		Jk^{rhy}, Jk^{V2}, Jk	58	3848779	762952.7
-		Jk^{rhy}, Jk^{V2}, Jk	57	3848692	765435.7
-		Jk^{V2}, Jk	56	3845946	762492.1
-		Jk^{rhy}, Jk^{V2}, Jk	51	3846081	762589.6
La		Jk^{rhy}, Jk^{V2}, Jk	51	3848725	765282.8
-		Jk^{V2}, Jk	50	3846607	762074.9
-		Jk^{V2}, Jk	50	3846498	762492.1
Ag		Jk^{rhy}, Jk^{V2}, Jk	49	3849123	765777.4
				HA.323	2



پی جویی به روش اکتشاف ژئوشیمیایی ۱:۲۵۰۰۰ در محدوده اکتشافی
حبشی - شریف آباد

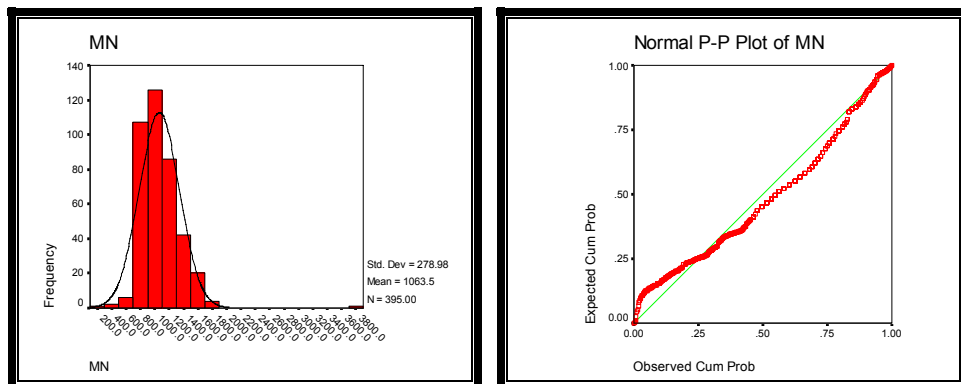
.....

۱۴-۱۲- توصیف ناهنجارهای عنصر منگنز

این عنصر دارای مقدار میانگین ۱۰۶۳، بیشترین و کمترین مقدار آن به ترتیب ۳۷۳۰ و ۲۷۹ پی‌ام، چولگی و کشیدگی ۲/۴۹ و ۲۰/۹۳، انحراف استاندارد و واریانس آن به ترتیب ۲۴۳ و ۷۷۹۹۲ میباشد که موید غیر نرمال بودن توزیع داده‌های این عنصر است (جدول ۲-۴۴) (نمودار ۲-۱۸)، خطای محاسبه شده برای این عنصر برابر با ۴/۵۲ میباشد که تا کاملاً قابل قبول می‌باشد.

جدول ۲-۴۴- پارامترهای آماری داده‌های خام عنصر منگنز در محدوده مطالعاتی حبشی

N	N		Mean	Median	Mode	Std. Deviation	Variance	Skewness	Kurtosis	Minimum	Maximum
	Valid	Missing									
395	0		1063.25	1030.00	1090(a)	279.27	77992.38	2.49	20.39	243.00	3730.00



نمودار ۲-۱۸- هیستوگرام و منحنی تابع توزیع احتمالی داده‌های خام عنصر منگنز

ضریب همبستگی منگنز با بیشتر عناصر و در سطح اعتماد قابل قبول ۹۹ درصد مناسب و معنی‌دار میباشد به طوری که ضریب همبستگی این عنصر با آرسنیک، بیسموت، نقره، سرب، آنتیموان، اورانیوم و تنگستن منفی و با بقیه عناصر مثبت میباشد و بیشترین ضریب این عنصر با کالت (۵۴۶) و وانادیم (۵۲۲) دیده میشود (جدول ۲-۴۵).

پی‌جویی به روش اکتشاف ژئوشیمیایی ۱:۲۵۰۰۰ در محدوده اکتشافی

جبشی - شریف آباد

جدول ۴۵-۲- ضرایب همبستگی داده‌های خام عنصر منگنز در محدوده مطالعه‌ی جبشه

	Au	As	Co	Cr	CU	Ni	Zn	Ba	La	V	Sr
M	-0.011	-,139(**)	,546(**)	,148(**)	,280(**)	,134(**)	0.087	-0.08	,123(*)	,522(**)	,176(**)
	Hg	Ag	Bi	Mo	Pb	Sb	Sn	W	U	Cd	
	0.066	-,274(**)	-,260(**)	-0.046	-,297(**)	-,275(**)	,140(**)	-,189(**)	-,159(**)	-0.019	

همانگونه که در جدول ناهنجاری و نقشه پراکندگی منگنز ملاحظه می‌شود تنها یک نمونه

با شماره HA.252 و با عیار غیرعادی ۳۷۳۰ پی‌ام دارای اهمیت زیادی می‌باشد که با

عنصر Mo,La,Sb,U,Pb,Cd,W,Zn همبود نشان می‌دهد (نقشه ۱۲) که رسوبات مربوطه عمدتاً از

واحدهایی که شامل تناوبی از سنگهای آتشفسانی با ترکیب آندزیت، تراکی آندزیت (Jk^{V^2}) همراه

با توفهای سنگی - بلورین، ریولیت، ریوداسیت‌های صورتی تا کرم با بافت میکروکریستالین و

آفانیتیک با زمینه‌ای شدیداً دگرسان شده (JK^{rhy}) به همراه مجموعه‌ای که شامل ترادف ضخیم

سنگ‌های ولکانیکی - رسوبی با ترکیب آندزیت، داسیت، اسلیت، افق‌های ماسه‌سنگی، ریوداسیت

و ریولیت (JK) منشا می‌گیرد.

جدول ۴۶-۲- توصیف ناهنجارهای عنصر منگنز در محدوده مورد مطالعه جبشه

ردیف	نام	جهت	جهت	جهت	ایستگاه نمونه برداری		ردیف	نام	جهت
					Y	X			
	Mo,La,Sb,U,Pb,Cd,W,Zn	Jk^{rhy} , Jk^{V^2} , Jk	3730	3848779	762952.7	HA.252	1		
-		Jk	1820	3845014	761934	HA.140	2		
Cu		Jk	1740	3841732	760475.3	HA.30	2		
-		Jk	1720	3841653	759856.4	HA.35	2		
-		Jk	1710	3841661	760185.7	HA.32	2		
Cu		Jk	1670	3841506	759955.6	HA.34	2		
-		Jk	1650	3842327	760308.7	HA.29	2		
-		Q ₁	1640	3848508	761029.2	HA.377	2		



پی جویی به روش اکتشاف ژئوشیمیایی ۱:۲۵۰۰۰ در محدوده اکتشافی
حبشی - شریف آباد

.....

۱۴-۲- توصیف ناهنجارهای عنصر مولیبدن

این عنصر دارای مقدار میانگین $1/35$ ، بیشترین و کمترین مقدار آن به ترتیب $3/8$ و $0/4$

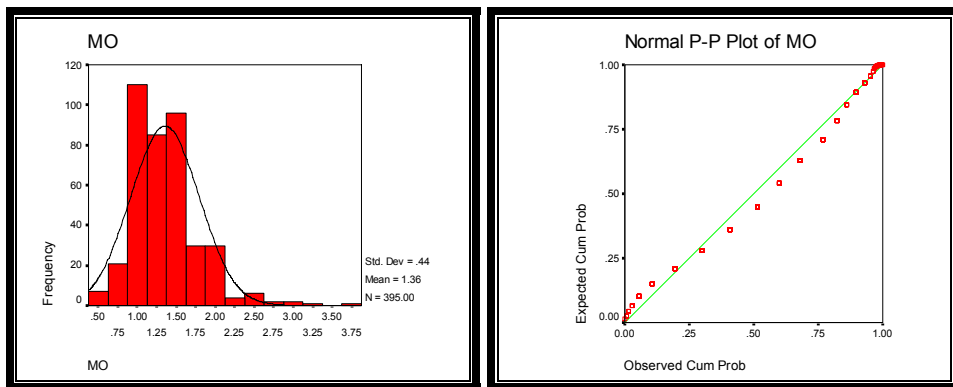
پی‌پی‌ام، چولگی و کشیدگی $1/27$ و $3/57$ ، انحراف استاندارد و واریانس آن به ترتیب $0/44$ و

$19/0$ میباشد که غیرنرمال بودن توزیع داده‌های آنرا نشان میدهد (جدول ۴۷-۲) (نمودار ۱۹-۲)،

خطای محاسبه شده برای این عنصر برابر با $68/73$ میباشد که غیرقابل قبول میباشد.

جدول ۴۷-۲- پارامترهای آماری داده‌های خام عنصر مولیبدن در محدوده مطالعاتی حبشی

N	N		Mean	Median	Mode	Std. Deviation	Variance	Skewness	Kurtosis	Minimum	Maximum
	Valid	Missing									
	395	0.00	1.35	1.30	1.20	0.44	0.19	1.27	3.57	0.40	3.80



نمودار ۱۹-۲- هیستوگرام و منحنی تابع توزیع احتمالی داده‌های خام عنصر مولیبدن

ضریب همبستگی مولیبدن با بیشتر عناصر و در سطح اعتماد قابل قبول ۹۹ درصد دارای

همبستگی مناسب، مثبت و معنی‌دار میباشد به طوری که ضریب همبستگی این عنصر با کمالت،

مس، وانادیم و استرانسیوم منفی و با بقیه عناصر مثبت میباشد و بیشترین ضریب همبستگی این

عنصر با آرسنیک(۰/۵۳۳)، نقره(۰/۵۰۵) و تنگستن(۰/۵۱۶) دیده میشود (جدول ۴۸-۲).

جدول ۴۸-۲- ضرایب همبستگی داده‌های خام عنصر مولیبدن در محدوده مطالعاتی جبشی

M	Au	As	Co	Cr	CU	Mn	Ni	Zn	Ba	La	V	
-0.086	,533(**)	-,177(**)	0.014	-	,201(**)	-0.046	-0.011	,294(**)	,231(**)	0.096	-	,167(**)
Sr	Hg	Ag	Bi	Pb	Sb	Sn	W	U	Cd			
-,316(**)	,147(**)	,505(**)	,185(**)	,226(**)	,322(**)	,249(**)	,516(**)	,371(**)	,382(**)			

همانگونه که در جدول ناهنجاری با اهمیت مولیبدن (جدول ۴۹-۲) و نقشه پراکندگی ارائه شده برای عنصر مولیبدن ملاحظه میشود نمونه HA.252 با توجه به عیار و همبود با عناصر عمدتاً از واحدهایی که شامل تنابوی از سنگهای آتشفشاری با ترکیب آندزیت، تراکی آندزیت(Jk^{v^2}) همراه با توفهای سنگی - بلورین، ریولیت، ریوداسیت‌های صورتی تا کرم با بافت میکروکریستالین و آفانیتیک با زمینه‌ای شدیداً دگرسان شده (JK^{rhy}) به همراه مجتمعهای شامل ترادف ضخیم سنگ‌های ولکانیکی - رسوبی با ترکیب آندزیت، داسیت، اسلیت، افق‌های ماسه‌سنگی، ریوداسیت و ریولیت(JK) منشا میگیرد.

جدول ۴۹-۲- توصیف ناهنجارهای عنصر مولیبدن در محدوده مورد مطالعه حبشی

ردیف ردیف ردیف	عنصر عنصر عنصر	جهت جهت جهت	(ج) (ج) (ج)	ایستگاه نمونه برداری		ردیف ردیف ردیف	ردیف ردیف ردیف
				Y	X		
Mn,La,Sb,U,Pb,Cd,W,Zn	Jk ^{rhy} , Jk ^{V2} , Jk	3.8	3848779	762953	HA.252	1	
W	Jk	3.2	3841756	757377	HA.1	2	
Au,W	Jk	3.1	3845977	757222	HA.90	2	
-	Jk ^{V2}	2.9	3846866	763784	HA.266	2	
Zn	Jk ^{V2}	2.8	3843214	762202	HA.170	2	
-	Jk	2.7	3843482	764432	HA.352	2	
-	Jk ^{V2}	2.6	3841410	760990	HA.46	2	
Zn	Jk ^{V2}	2.5	3845301	761517	HA.138	2	
-	Jk ^{V2}	2.5	3841503	761250	HA.49	2	



پی جویی به روش اکتشاف ژئوشیمیایی ۱:۲۵۰۰۰ در محدوده اکتشافی
حبشی - شریف آباد

.....

۱۴-۱۴-۲- توصیف ناهنجارهای عنصر نیکل

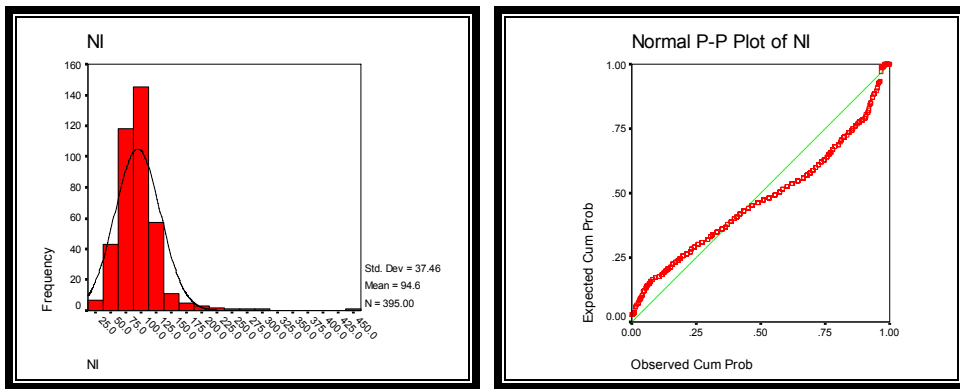
این عنصر دارای مقدار میانگین ۹۴/۷۰، بیشترین و کمترین مقدار آن به ترتیب ۴۵۴ و ۲۳

پی‌پی‌ام، چولگی و کشیدگی ۳۷/۵۱ و ۳/۳۹ و ۲۴/۷۲، انحراف استاندارد و واریانس آن به ترتیب ۵۰-۲ (نمودار ۲۰)

-۱۴۰۷ میباشد که توزیع غیر نرمال داده‌های این عنصر را نشان میدهد (جدول ۲۰-۲) (نمودار ۲۰)، خطای محاسبه شده برای این عنصر برابر با ۶/۶۹ میباشد که کاملاً قابل قبول میباشد.

جدول ۲۰-۲- پارامترهای آماری داده‌های خام عنصر نیکل در محدوده مطالعاتی حبشی

≥	N		Mean	Median	Mode	Std. Deviation	Variance	Skewness	Kurtosis	Minimum	Maximum
	Valid	Missing									
	395	0	94.70	92.00	99.00	37.51	1407.36	3.39	24.72	23.00	454.00



نمودار ۲۰-۲- هیستوگرام و منحنی تابع توزیع احتمالی داده‌های خام عنصر نیکل

ضریب همبستگی نیکل با سایر عناصر نشان میدهد که نقره به استثناء باریم، لانتانیم،

جیوه، نقره، مولیبدن، سرب و آنتیموان با سایر عناصر و در سطح اعتماد قابل قبول ۹۹ درصد

دارای همبستگی مناسب و معنی‌دار بوده به طوری که ضریب همبستگی این عنصر با آرسنیک،

قلع، تنگستان و اورانیوم منفی و با بقیه عناصر مثبت میباشد و بیشترین ضریب همبستگی این

عنصر با کروم(۰/۷۱۸) و کبات(۰/۶۳۹) دیده میشود (جدول ۲۰-۵).

پی‌جوبی به روش اکتشاف ژئوشیمیایی ۱:۲۵۰۰۰ در محدوده اکتشافی

حبشی - شریف‌آباد

جدول ۲-۵۱-۲- ضرایب همبستگی داده‌های خام عنصر نیکل در محدوده مطالعه‌ی حبشی

Z:	Au	As	Co	Cr	Cu	Mn	Zn	Ba	La	V	Sr
-0.081	-,191(**)	,639(**)	,718(**)	,538(**)	,134(**)	,200(**)	0.046	0.056	,382(**)	,245(**)	
Hg	Ag	Bi	Mo	Pb	Sb	Sn	W	U	Cd		
-,111(*)	-,116(*)	,208(**)	-0.011	0.054	-0.049	-,264(**)	-,233(**)	-,221(**)	,327(**)		

همانگونه که در جدول ۲-۵۲ و نقشه تک عنصر نیکل (نقشه ۱۴) ملاحظه می‌شود،

نمونه‌های ذکر شده تماماً ناهنجاری درجه ۱ از خود نشان میدهند و به علت همبود با عناصری

همچون کبالت، کروم و به مقدار ضعیفتر مس لازم است مورد بررسی بیشتر قرار گیرد که

رسوبات مربوطه عمدتاً از واحدهایی که شامل تنابوی از سنگهای آتشفشاری با ترکیب آندزیت،

تراکی آندزیت (Jk^{v^2}) همراه با توفهای سنگی - بلورین، ریولیت، ریوداسیت‌های صورتی تا

کرم با بافت میکروکریستالین و آفانیتیک با زمینه‌ای شدیداً دگرسان شده (JK^{rhy}) به همراه

مجموعه‌ای که شامل ترادف ضخیم سنگ‌های ولکانیکی - رسوبی با ترکیب آندزیت، داسیت،

اسلیت، افق‌های ماسه‌سنگی، ریوداسیت و ریولیت (JK) منشا می‌گیرد.

جدول ۲-۵۲-۲- توصیف ناهنجارهای عنصر نیکل در محدوده مورد مطالعه حبشی

ردیف	نام	نوع	دما	ایستگاه نمونه برداری		نام	ردیف
				Y	X		
1	Co,Cr,Cu	Jk^{rhy} , Jk^{V^2} , Jk	454	3848345	764291	HA.386	1
2	Co,Cr	Jk^{rhy} , Jk^{V^2} , Jk	298	3847963	765319	HA.315	1
3	Co,Cr	Jk^{rhy} , Jk^{V^2} , Jk	266	3847388	765281	HA.313	1
4	Co,Cr	Jk^{rhy} , Jk^{V^2} , Jk	248	3848653	764884	HA.387	1
5	Cr	Jk^{rhy} , Jk^{V^2} , Jk	221	3847313	765365	HA.312	1



پی جویی به روش اکتشاف ژئوشیمیایی ۱:۲۵۰۰۰ در محدوده اکتشافی
حبشی - شریف آباد

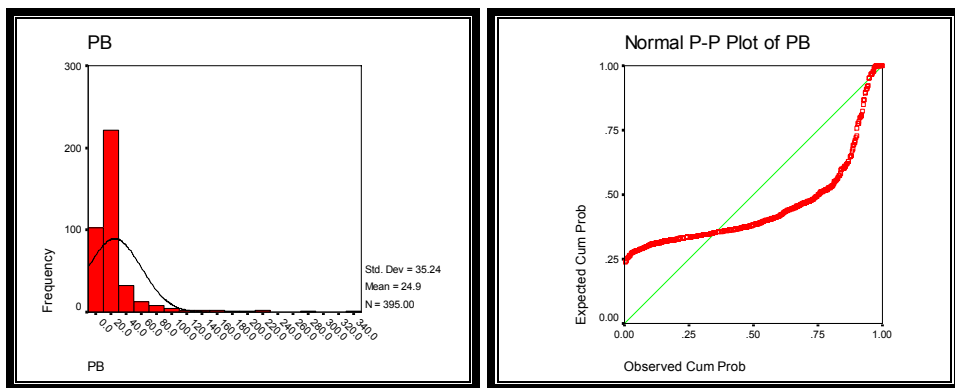


۱۴-۲- توصیف ناهنجارهای عنصر سرب

این عنصر دارای مقدار میانگین ۴۲/۸۹، بیشترین مقدار آن ۳۳۰ پی ام، چولگی و کشیدگی ۴/۷۲ و ۲۸/۲۹، انحراف استاندارد و واریانس آن به ترتیب ۳۵/۲۳ و ۱۲۴۱/۴۵ میباشد که موید غیرنرمال بودن توزیع داده‌های این عنصر است (دارای چولگی بالا) (جدول ۲-۵۳) (نمودار ۲۱-۲) و دارای خطای ۱۷/۱۹ میباشد که تا حدودی قابل قبول می‌باشد.

جدول ۲-۵۳-۲- پارامترهای آماری داده‌های خام عنصر سرب در محدوده مطالعاتی حبشی

PB	N		Mean	Median	Mode	Std. Deviation	Variance	Skewness	Kurtosis	Minimum	Maximum
	Valid	Missing									
395	0.00		24.89	14.40	9.70	35.23	1241.45	4.72	28.29	0.00	330.00



نمودار ۲۱-۲- هیستوگرام و منحنی تابع توزیع احتمالی داده‌های خام عنصر سرب

ضریب همبستگی سرب با سایر عناصر نشان میدهد که سرب به استثناء کروم، مس، نیکل و لانتانیوم با تمام عناصر و در سطح اعتماد قابل قبول ۹۹ درصد دارای همبستگی مناسب و معنی دار میباشد به طوری که ضریب همبستگی این عنصر با کبالت، منگنز، وانادیم، استرانسیوم منفی و با بقیه عناصر مثبت میباشد، بیشترین ضریب همبستگی این عنصر با آرسنیک (۰/۵۲۲)،

پیجویی به روش اکتشاف ژئوشیمیایی ۱:۲۵۰۰۰ در محدوده اکتشافی
جبشی - شریف آباد

روی(۰/۵۰۷)، باریم(۰/۵۷۴)، نقره(۰/۵۳۸)، بیسموت(۰/۴۴۳)، آنتیمون(۰/۵۷۳) و کادمیم

(۰/۴۶۳) دیده میشود(جدول ۲-۵۴).

جدول ۲-۵۴- ضرایب همبستگی داده‌های خام عنصر سرب در محدوده مطالعه حبسی

Pb	Au	As	Co	Cr	CU	Mn	Ni	Zn	Ba	La	V
	0.068	,522(**)	-,205(**)	0.017	-0.03	-,297(**)	0.054	,507(**)	,574(**)	0.014	-,299(**)
	Sr	Hg	Ag	Bi	Mo	Sb	Sn	W	U	Cd	
	-,273(**)	0	,538(**)	,443(**)	,226(**)	,573(**)	0.036	,243(**)	,284(**)	,463(**)	

۸ نمونه ناهنجار این عنصر باشد درجه یک در بخش‌های مختلف منطقه در میان تناب و سنگهای آتشفسانی و توفهای سنگی - بلورین، ریولیت، ریوداسیت شدیداً دگرسان پراکنده میباشد(جدول ۲-۵۵) (نقشه ۱۵) که با توجه به عیار و همبود عناصر میتواند بسیار با ارزش باشد.

جدول ۲-۵۵- توصیف ناهنجارهای عنصر سرب در محدوده مورد مطالعه حبسی

نام ناهنجار	نام	نام	نام	ایستگاه نمونه برداری		نام	نام ناهنجاری
				Y	X		
As,Zn	Jk ^{V2}	330	3842486	762696	HA.163	1	
Mn,Mo,La,Sb,U,Cd,W,Zn	Jk ^{rhy} , Jk ^{V2}	284	3848779	762953	HA.252	1	
-	Jk ^{V2}	220	3846900	764777	HA.305	1	
Ag,Sb	Jk ^{V2}	220	3844914	765731	HA.335	1	
Zn	Jk ^{V2}	191	3841593	759222	HA.40	1	
Zn	Jk ^{V2}	178	3845391	764726	HA.287	1	
-	JkV2	162	3845519	764922	HA.288	1	
As,Au,Cd,Zn	JkV2	157	3848853	758444	HA.185	1	
-	JkV2	139	3841450	759801	HA.36	2	
-	Q1	132	3847576	763094	HA.375	2	



پی جویی به روش اکتشاف ژئوشیمیایی ۱:۲۵۰۰۰ در محدوده اکتشافی
حبسی - شریف آباد

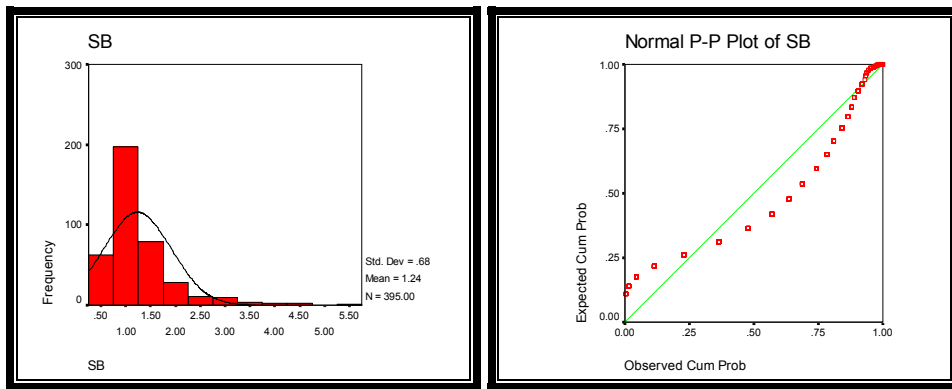
پی‌جویی به روش اکتشاف ژئوشیمیایی ۱:۲۵۰۰۰ در محدوده اکتشافی
جبشی - شریف آباد

١٤-٦-٢- توصیف ناهنجارهای عنصر آنتیموان

این عنصر دارای مقدار میانگین $1/23$ ، بیشترین و کمترین مقدار آن به ترتیب $5/5$ و $0/4$ پی‌ام، چولگی و کشیدگی $2/43$ و $15/8$ انحراف استاندارد و واریانس آن به ترتیب $68/0$ و $46/0$ میباشد که غیرزیمال بودن توزیع داده‌های این عنصر را نشان میدهد (جدول ۲-۵۶) (نمودار ۲-۱۹) است، خطای محاسبه شده برای این عنصر برابر با $21/17$ میباشد که تا حدودی قابل قبول میباشد.

جدول ۲-۵۶- پارامترهای آماری داده‌های خام عنصر آنتیموان در محدوده مطالعاتی جبشی

QS	N		Mean	Median	Mode	Std. Deviation	Variance	Skewness	Kurtosis	Minimum	Maximum
	Valid	Missing			,8(a)	0.68	0.46	2.43	8.15	0.40	5.50
	395	0.00	1.23	1.00	,8(a)	0.68	0.46	2.43	8.15	0.40	5.50



نمودار ۲-۲۲- هیستوگرام و منحنی تابع توزیع احتمالی داده‌های خام عنصر آنتیموان

ضریب همبستگی آنتیموان با سایر عناصر نشان میدهد که این عنصر به استثناء نیکل و لانتانیوم با سایر عناصر و در سطح اعتماد قابل قبول ۹۹ درصد دارای همبستگی مناسب میباشد به طوری که ضریب همبستگی این عنصر با کبالت، کروم، مس، منگنز، وانادیم، استرانسیوم و جیوه منفی و با بقیه عناصر مثبت میباشد، بیشترین ضریب همبستگی این عنصر با



پی‌جویی به روش اکتشاف ژئوشیمیایی ۱:۲۵۰۰۰ در محدوده اکتشافی
حبشی - شریف‌آباد

آرسنیک(۰/۵۴۲)، باریم(۰/۵۶۰)، نقیره(۰/۵۱۷)، سرب(۰/۵۷۳)، بیسموت(۰/۴۵۱)،

تنگستن(۰/۴۲۸) و اورانیوم(۰/۴۹۴) دیده می‌شود (جدول ۲-۵۷).

جدول ۲-۵۷- ضرایب همبستگی داده‌های خام عنصر آنتیموان در محدوده مطالعاتی حبشی

	Au	As	Co	Cr	CU	Mn	Ni	Zn	Ba	La	V
Sb	,162(**)	,542(**)	-,285(**)	-,257(**)	-,140(**)	-,275(**)	-0.049	,199(**)	,560(**)	0.081	-,439(**)
	Sr	Hg	Ag	Bi	Mo	Pb	Sn	W	U	Cd	
	-,283(**)	-,233(**)	,517(**)	,451(**)	,322(**)	,573(**)	,176(**)	,428(**)	,494(**)	,241(**)	

نمونه‌های HA.252، HA.295، HA.335 با توجه به همبود عناصر از اهمیت بالایی

برخوردار می‌باشند (جدول ۲-۵۸) (نقشه ۱۶) که رسوبات مربوطه عمدتاً از واحدهایی که شامل

تناوبی از سنگهای آتشفسانی با ترکیب آندزیت، تراکی آندزیت (Jk^{v^2}) همراه با توفهای سنگی -

بلورین، ریولیت، ریوداسیت‌های صورتی تا کرم با بافت میکروکریستالین و آفانیتیک (JK^{rhy}) با

زمینه‌ای شدیداً دگرسان شده به همراه مجموعه‌ای که شامل (J^K) ترادف ضخیم سنگ‌های

ولکانیکی - رسوبی با ترکیب آندزیت، داسیت، اسلیت، افق‌های ماسه‌سنگی، ریوداسیت و ریولیت

منشا می‌گیرد که با توجه به درجه ناهنجاریها و تمرکز آنها دارای ارزش بوده و میتوان به آنها توجه

نمود.

جدول ۲-۵۸- توصیف ناهنجارهای عنصر آنتیموان در محدوده مورد مطالعه حبشی

ردیف	نام سنگ	Jk^{rhy} Jk^{v^2}	مقدار	ایستگاه نمونه برداری		نام سنگ	ردیف
				Y	X		
	Mn,Mo,La,U,Pb,Cd,W,Zn	Jk^{rhy} Jk^{v^2}	5.5	3848779	762953	HA.252	1
	Au,Cu	Jk	4.6	3846760	764402	HA.295	1
	Ag,Pb	Q_1 , Jk^{v^2}	4.4	3844914	765731	HA.335	1



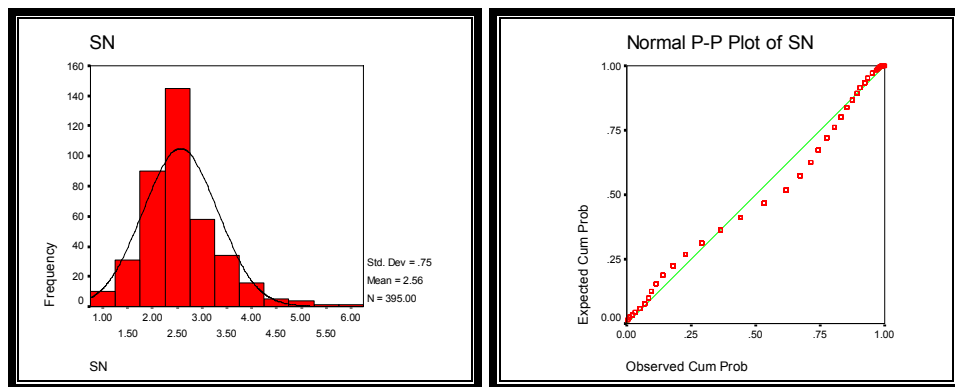
پی جویی به روش اکتشاف ژئو شیمیایی ۱:۲۵۰۰۰ در محدوده اکتشافی
حبسی - شریف آباد

۱۴-۲- توصیف ناهنجارهای عنصر قلع

این عنصر دارای مقدار میانگین ۲/۵۶، بیشترین و کمترین مقدار آن به ترتیب ۶ و ۰/۹ پی‌پی‌ام، چولگی و کشیدگی ۰/۹۱ و ۰/۰۱، انحراف استاندارد و واریانس آن به ترتیب ۰/۷۵ و ۰/۵۶ میباشد که موید غیر نرمال بودن توزیع داده‌های عنصر قلع است (جدول ۲-۵۹) (نمودار ۲-۲۳)، خطای محاسبه شده برای این عنصر برابر با ۷۵/۶۵ میباشد که غیر قابل قبول میباشد.

جدول ۲-۵۹- پارامترهای آماری داده‌های خام عنصر قلع در محدوده مطالعه‌ی حبشه

S	N		Mean	Median	Mode	Std. Deviation	Variance	Skewness	Kurtosis	Minimum	Maximum
	Valid	Missing									
	395	0.00	2.56	2.50	2.50	0.75	0.56	0.91	2.01	0.90	6.00



نمودار ۲-۲۳- هیستوگرام و منحنی تابع توزیع احتمالی داده‌های خام عنصر قلع

ضریب همبستگی قلع با سایر عناصر نشان میدهد که قلع به استثناء طلا، باریوم، استرانسیوم و کادمیم با بقیه عناصر و در سطح اعتماد ۹۹ درصد دارای همبستگی مناسب و معنی دار میباشد به طوری که ضریب همبستگی این عنصر با کبالت، کروم، مس، نیکل و وانادیم

پی‌جویی به روش اکتشاف ژئوشیمیایی ۱:۲۵۰۰۰ در محدوده اکتشافی
حبشی - شریف آباد

منفی و با بقیه عناصر مثبت می‌باشد در ضمن بیشترین ضریب همبستگی این عنصر با آرسنیک

(۴۳۳)، اورانیوم (۰/۶۰۲) و لانتانیوم (۰/۵۴۱) دیده می‌شود (جدول ۲).

جدول ۲- ضرایب همبستگی داده‌های خام عنصر قلع در محدوده مطالعاتی حبشی

	Au	As	Co	Cr	CU	Mn	Ni	Zn	Ba	La	V
S	0.08	,433(**)	-,149(**)	-,387(**)	-,421(**)	,140(**)	-,264(**)	,174(**)	0.086	,541(**)	-,248(**)
	Sr	Hg	Ag	Bi	Mo	Pb	Sb	W	U	Cd	
	0.028	-,103(*)	,359(**)	,228(**)	,249(**)	0.036	,176(**)	,362(**)	,602(**)	-0.012	

در جدول ناهنجاری‌های با اهمیت عنصر قلع ارائه می‌کند، با توجه به شدت ناهنجاری نمونه ۲۴۵ HA (۶ پی‌پی‌ام)، ۵.۷ HA (۰.۶۱) (نقشه ۱۷). مورد توجه بیشتری قرار گیرد (جدول ۲-۶۱) (نقشه ۱۷).

جدول ۲-۶۱- توصیف ناهنجارهای عنصر قلع در محدوده مورد مطالعه حبشی

نام ناهنجار	جهت نهاده	جهت نهاده	جهت نهاده	جهت نهاده	ایستگاه نمونه برداری		جهت نهاده	جهت نهاده
					Y	X		
-	Jk ^{V2}	6	3847988	762980	HA.245	1		
-	Jk ^{V2}	5.7	3847620	762281	HA.243	1		



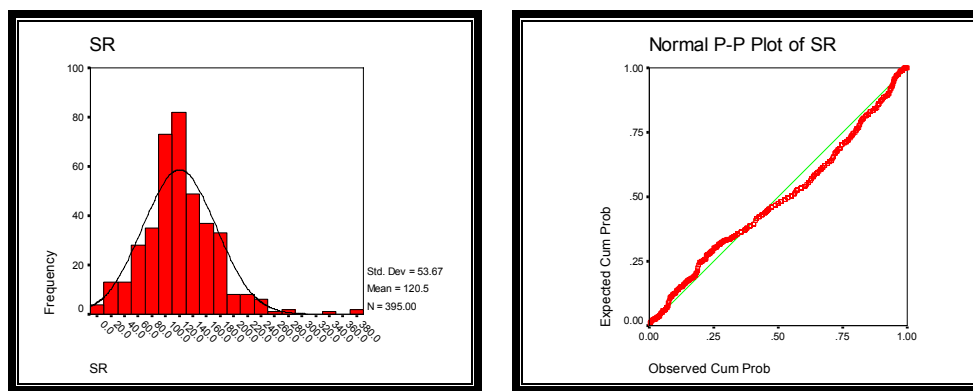
پی جویی به روش اکتشاف ژئو شیمیایی ۱:۲۵۰۰۰ در محدوده اکتشافی
حبسی - شریف آباد

۱۴-۱۸- توصیف ناهنجارهای عنصر استرانسیوم

این عنصر دارای مقدار میانگین $120/62$ ، بیشترین و کمترین مقدار آن به ترتیب 388 و $0/0$ ، پی‌پی‌ام، چولگی و کشیدگی $0/9$ و $3/13$ ، انحراف استاندارد و واریانس آن به ترتیب $53/76$ و $2889/90$ میباشد که موید غیرنرم‌مال بودن توزیع داده‌های عنصر استرانسیوم است (جدول ۲-۲) (نمودار ۲-۲)، خطای محاسبه شده برای این عنصر برابر با $18/39$ میباشد که غیرقابل قبول میباشد.

جدول ۲-۲- پارامترهای آماری داده‌های خام عنصر استرانسیوم در محدوده مطالعاتی حبشی

S.	N		Mean	Median	Mode	Std. Deviation	Variance	Skewness	Kurtosis	Minimum	Maximum
	Valid	Missing									
	395	0.00	120.62	117.00	125.00	53.76	2889.90	0.90	3.23	0.00	388.00



نمودار ۲-۲- هیستوگرام و منحنی تابع توزیع احتمالی داده‌های خام عنصر استرانسیوم



پی‌جویی به روش اکتشاف ژئوشیمیایی ۱:۲۵۰۰۰ در محدوده اکتشافی
حبشی - شریف‌آباد

ضریب همبستگی استرانسیوم با سایر عناصر نشان میدهد که استرانسیوم به استثناء کروم، لantanیوم، بیسموت و قلع با بقیه عناصر و در سطح اعتماد ۹۹ درصد دارای همبستگی مناسب، معنی‌دار و عموماً منفی میباشد، در ضمن بیشترین ضریب همبستگی این عنصر با وانادیوم (۰/۲۶۸) دیده میشود (جدول ۶۳-۲).

جدول ۶۳-۲- ضرایب همبستگی داده‌های خام عنصر استرانسیوم در محدوده مطالعاتی حبشی

Sr	Au	As	Co	Cr	Cu	Mn	Ni	Zn	Ba	La	V
	-.100(*)	-.415(**)	.298(**)	0.073	,152(**)	,176(**)	,245(**)	-,209(**)	-,273(**)	0.079	,268(**)
	Hg	Ag	Bi	Mo	Pb	Sb	Sn	W	U	Cd	
	-,206(**)	-,225(**)	-,122(*)	-,316(**)	-,273(**)	-,283(**)	0.028	-,349(**)	-,181(**)	-,143(**)	

نقشه ناهنجاری‌های عنصر استرانسیم نشان میدهد که تقریباً هیچگونه محدوده ناهنجار با اهمیتی به جزء دو تک نمونه در منطقه وجود ندارد (نقشه ۱۸).



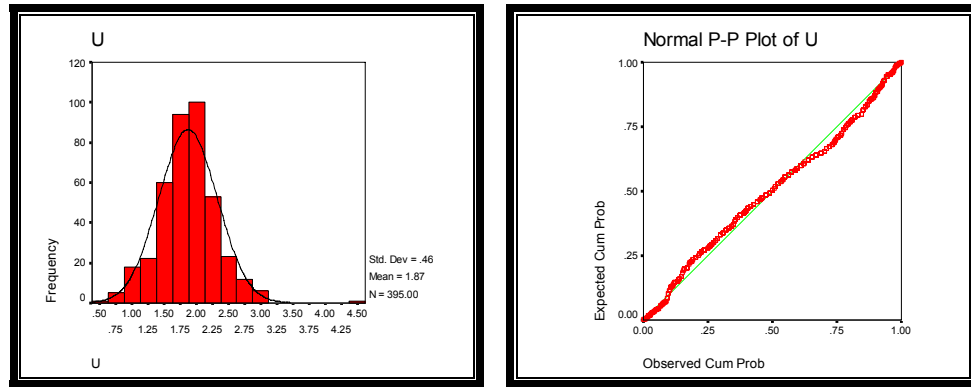
پی جویی به روش اکتشاف ژئو شیمیایی ۱:۲۵۰۰۰ در محدوده اکتشافی
حبسی - شریف آباد

۱۴-۱۹-۲- توصیف ناهنجارهای عنصر اورانیوم

این عنصر دارای مقدار میانگین ۱/۸۷، بیشترین و کمترین مقدار آن به ترتیب ۴/۵۹ و ۰/۵۹ پسی ام، چولگی و کشیدگی ۰/۴۳ و ۰/۱۱، انحراف استاندارد و واریانس آن به ترتیب ۰/۴۶ و ۰/۲۱ میباشد که موید غیرنرم مال بودن توزیع داده‌های عنصر اورانیوم است (جدول ۲-۶۴) (نمودار ۲-۲۵)، خطای محاسبه شده برای این عنصر برابر با ۱۴/۸۵ میباشد که غیرقابل قبول میباشد.

جدول ۲-۶۴- پارامترهای آماری داده‌های خام عنصر اورانیوم در محدوده مطالعاتی حبشه

C	N		Mean	Median	Mode	Std. Deviation	Variance	Skewness	Kurtosis	Minimum	Maximum
	Valid	Missing									
	395	0.00	1.87	1.87	2.01(a)	0.46	0.21	0.43	3.11	0.59	4.59



نمودار ۲-۲۵- هیستوگرام و منحنی تابع توزیع احتمالی داده‌های خام عنصر اورانیوم

ضریب همبستگی اورانیوم با سایر عناصر نشان میدهد که اورانیوم به استثناء کادمیم با بقیه عناصر و در سطح اعتماد ۹۹ درصد مناسب و معنی‌دار میباشد که بیشترین ضریب این عنصر با آرسنیک(۰/۶۵۵)، تنگستن(۰/۶۲۷) دیده میشود (جدول ۲-۶۵).

پی‌جویی به روش اکتشاف ژئوشیمیایی ۱:۲۵۰۰۰ در محدوده اکتشافی

حبشی - شریف آباد

جدول ۶۵-۲- ضرایب همیستگی داده‌های خام عنصر اورانیوم در محدوده مطالعاتی حبشی

	Au	As	Co	Cr	CU	Mn	Ni	Zn	Ba	La	V
,264(**)	,655(**)	-	,374(**)	,463(**)	,473(**)	,159(**)	,221(**)	,131(**)	,261(**)	,355(**)	,481(**)
Sr	Hg	Ag	Bi	Mo	Pb	Sb	Sn	W	Cd		
-	,181(**)	,235(**)	,585(**)	,409(**)	,371(**)	,284(**)	,494(**)	,602(**)	,627(**)	0.092	

در جدول فوق که ناهنجاری‌های با اهمیت درجه یک و دو برای عنصر اورانیوم را ارائه

کرده است به استثناء نمونه HA.252 و آن هم با توجه به همبود عناصر، تقریباً ارزشی را نمیتوان

برای این نمونه‌ها قائل شد (جدول ۶۶-۲) (نقشه ۱۹).

جدول ۶۶-۲- توصیف ناهنجاری‌های عنصر اورانیوم در محدوده مورد مطالعه حبشی

عنصر	نام	مقدار	ایستگاه نمونه برداری		نامه نیمه	نامه نیمه
			Y	X		
Mn,Mo,La,Sb,Pb,Cd,W,Zn	Jk ^{V2}	4.59	3848779	762953	HA.252	1
Ba	Jk ^{V2} , Jk ¹ , Jk ^{rhy}	3.09	3844833	763746	HA.286	2
-	Jk ^{V2}	3.07	3849039	762254	HA.253	2
-	Jk ^{V2}	3.04	3845276	764381	HA.279	2
-	Jk ^{V2}	3	3845004	764099	HA.281	2



پی جویی به روش اکتشاف ژئوشیمیایی ۱:۲۵۰۰۰ در محدوده اکتشافی
حبسی - شریف آباد

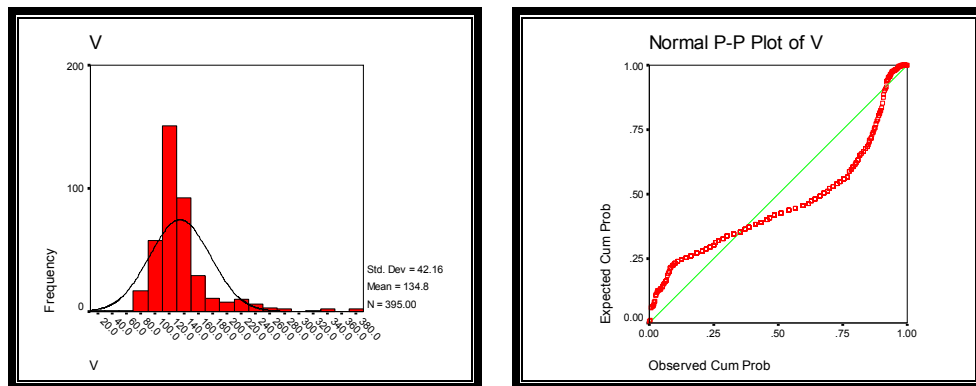
۲۰-۱۴-۲- توصیف ناهنجارهای عنصر وانادیوم

این عنصر دارای مقدار میانگین ۱۳۴/۷۷، بیشترین و کمترین مقدار آن به ترتیب ۳۸۹ و ۲۸ پی پی ام، چولگی و کشیدگی ۲/۵ و ۹/۵۸، انحراف استاندارد و واریانس آن به ترتیب ۴۲/۱۶ و ۱۷۷۷/۷۱ میباشد که موید غیرنرمال بودن توزیع داده های عنصر وانادیوم است (جدول ۲-۶۷) (نمودار ۲-۶۶)، خطای محاسبه شده برای این عنصر برابر با ۱۰/۱۱ میباشد که کاملاً قابل قبول

میباشد.

جدول ۲-۶۷- پارامترهای آماری داده های خام عنصر وانادیوم در محدوده مطالعاتی جبوی

<	N		Mean	Median	Mode	Std. Deviation	Variance	Skewness	Kurtosis	Minimum	Maximum
	Valid	Missing									
	395	0	134.77	127.00	128(a)	42.16	1777.71	2.50	9.58	28.00	389.00



نمودار ۲-۶۶- هیستوگرام و منحنی تابع توزیع احتمالی داده های خام عنصر وانادیم

ضریب همبستگی وانادیوم با سایر عناصر نشان میدهد که وانادیوم به استثناء روی و

کادمیم با بقیه عناصر و در سطح اعتماد ۹۹ درصد دارای همبستگی مناسب و معنی دار میباشد به

طوري که ضریب همبستگی این عنصر با طلا، آرسنک، باریم، لانتانیوم، نقره، بیسموت، مولیبدن، سرب، آنتیموان، قلع، تنگستن و اورانیوم منفی و با بقیه عناصر مثبت میباشد و بیشترین ضریب همبستگی این عنصر با کبالت(۰/۶۷۸)، کروم(۰/۵۹۵۴) و مس(۰/۵۷۹) دیده میشود(جدول-۲).

(۶۸)

جدول-۲- ضرایب همبستگی داده‌های خام عنصر واندیوم در محدوده مطالعاتی حبشی

	Au	As	Co	Cr	CU	Mn	Ni	Zn	Ba	La	Sr
Hg	-.118(*)	-,362(**)	,678(**)	,595(**)	,579(**)	,522(**)	,382(**)	,108(*)	-,208(**)	-,187(**)	,268(**)
Ag											
,267(**)	-,441(**)	-,396(**)	-,167(**)	-,299(**)	-,439(**)	-,248(**)	-,321(**)	-,481(**)	-0.052		

با توجه به جدول ناهنجاری‌های با اهمیت درجه یک برای عنصر واندیوم و همچنین مراجعه به نقشه پراکندگی این عنصر و با توجه به شدت ناهنجار، نمونه‌های موجود در گوشه جنوب باختり منطقه باید مورد توجه بیشتری قرار گیرد(جدول-۲) (نقشه ۶۹-۲).

جدول-۲- توصیف ناهنجاری‌های عنصر واندیوم در محدوده مورد مطالعه حبشی

نام ناهنجاری	ردیف ناهنجاری	ردیف ناهنجاری	ردیف ناهنجاری	ایستگاه نمونه برداری		ردیف ناهنجاری	ردیف ناهنجاری
				Y	X		
Co	Jk ^{V2}	389	3843041	758630	HA.21	1	
-	Jk ^{V2} , Jk ¹ , Jk ^{rhy}	373	3841732	757980	HA.7	1	
Cr	Jk ^{V2}	345	3841252	757591	HA.5	1	
-	Jk ^{V2}	330	3841490	757476	HA.2	1	
-	Jk ^{V2}	324	3843370	759201	HA.22	1	



پی جویی به روش اکتشاف ژئو شیمیایی ۱:۲۵۰۰۰ در محدوده اکتشافی
حبسی - شریف آباد

۲۱-۱۴-۲- توصیف ناهنجارهای عنصر تنگستن

این عنصر دارای مقدار میانگین ۱/۴۴، بیشترین و کمترین مقدار آن به ترتیب ۵/۹ و ۰/۲

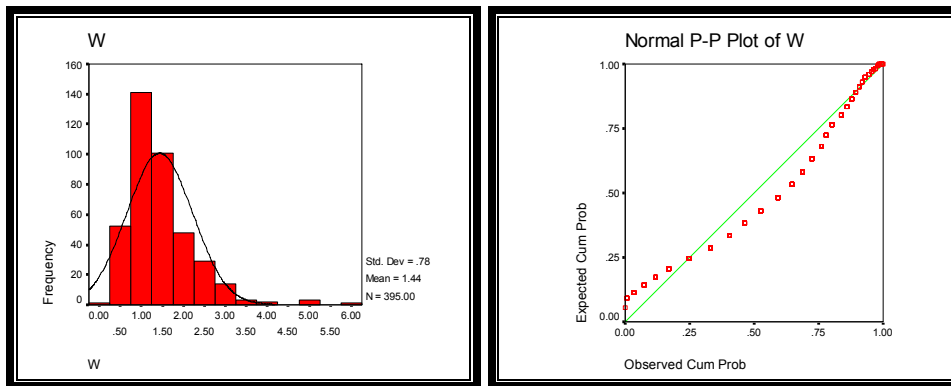
پی پی ام، چولگی و کشیدگی ۱/۷۹ و ۵/۲۸، انحراف استاندارد و واریانس آن به ترتیب ۰/۷۸ و

۰/۶۱ میباشد که موید غیرنرمال بودن توزیع داده‌های این عنصر است (جدول ۲-۷۰) (نمودار ۲-۷۰)

خطای محاسبه شده برای این عنصر برابر با ۴۰/۸۶ میباشد که غیرقابل قبول میباشد.

جدول ۲-۷۰-۲- پارامترهای آماری داده‌های خام عنصر تنگستن در محدوده مطالعاتی حبشه

N	N		Mean	Median	Mode	Std. Deviation	Variance	Skewness	Kurtosis	Minimum	Maximum
	Valid	Missing									
	395	0.00	1.44	1.30	0.90	0.78	0.61	1.79	5.28	0.20	5.90



نمودار ۲-۷۰-۲- هیستوگرام و منحنی تابع توزیع احتمالی داده‌های خام عنصر تنگستن

ضریب همبستگی تنگستن با سایر عناصر نشان میدهد که تنگستن به استثناء لانتانیوم،

جیوه و کادمیم با مابقی عناصر و در سطح اعتماد قابل قبول ۹۹ درصد دارای همبستگی مناسب و

معنی داری میباشد به طوری که ضریب همبستگی این عنصر با کبات، مس، منگنز، نیکل، وانادیم، و

پی‌جویی به روش اکتشاف ژئوشیمیایی ۱:۲۵۰۰۰ در محدوده اکتشافی
جبشی - شریف آباد

استرانسیوم منفی و باقیه عناصر مثبت میباشد و بیشترین ضربی همبستگی این عنصر با

آنیمیون(۴۲۸/۰)، اورانیوم(۶۲۷/۰) و مولیبدن(۵۱۶/۰) دارد(جدول ۷۱-۲).

جدول ۷۱-۲- ضرایب همبستگی داده‌های خام عنصر تنگستن در محدوده مطالعاتی جبشی

	Au	As	Co	Cr	CU	Mn	Ni	Zn	Ba	La	V
W	,215(**)	,580(**)	-,362(**)	-,229(**)	-,384(**)	-,189(**)	-,233(**)	,195(**)	,195(**)	-0.033	-,321(**)
	Sr	Hg	Ag	Bi	Mo	Pb	Sb	Sn	U	Cd	
	-,349(**)	0.064	,382(**)	,226(**)	,516(**)	,243(**)	,428(**)	,362(**)	,627(**)	0.093	

در جدول زیر که ناهنجاری‌های با اهمیت برای عنصر تنگستن ارائه شده است، ملاحظه میشود که تنها یک نمونه ناهنجار دارای شدت درجه ۱ موجود بوده و با توجه به نداشتن ارتباطی با دیگر عناصر نمیتوان ارزش زیادی برای آنها قائل شد با این حال نمونه شماره HA.252 با عناصر مختلفی همبود نشان میدهد(جدول ۷۲-۲)(نقشه ۲۱) و باید با احتیاط بیشتری برای این عنصر با آن برخورد نمود.

جدول ۷۲-۲- توصیف ناهنجاری‌های عنصر تنگستن در محدوده مورد مطالعه جبشی

نام عنصر	نام معادل	نام معادل	ایستگاه نمونه برداری	نام معادل		نام معادل
				Y	X	
-	Jk ^{V2} , Jk ^{rhy}	5.9	3847707	759977	HA.222	1
Mn,Mo,La,Sb,U,Pb,Cd,Zn	Jk ^{V2}	5.2	3848779	762953	HA.252	2
Cd	Jk ^{V2}	4.8	3845745	762963	HA.134	2
-	Jk ^{V2}	4.8	3845301	761517	HA.138	2
Mo	Jk ^{V2}	4.2	3841756	757377	HA.1	2
Cd	Jk ^{V2}	4.2	3845680	762525	HA.135	2
Au,Mo	Jk ^{V2}	3.7	3845977	757222	HA.90	2
-	Jk ^{V2}	3.6	3843608	765033	HA.350	2



پی جویی به روش اکتشاف ژئو شیمیایی ۱:۲۵۰۰۰ در محدوده اکتشافی
حبسی - شریف آباد

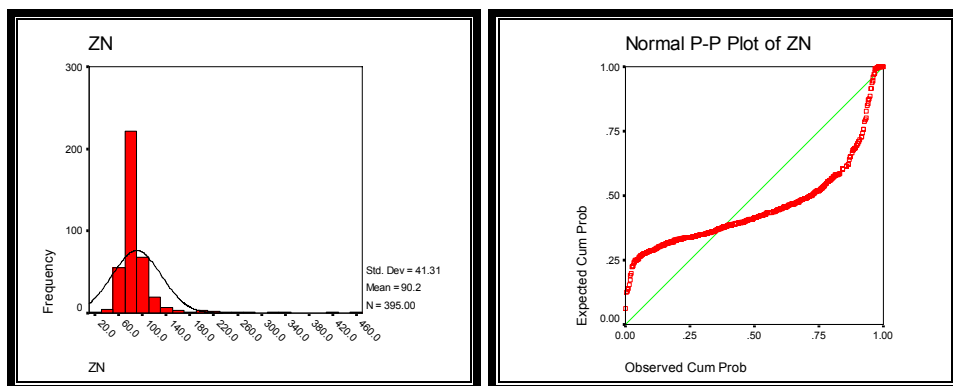


۲۲-۱۴-۲- توصیف ناهنجارهای عنصر روی

این عنصر دارای مقدار میانگین ۹۰/۰۳، بیشترین و کمترین مقدار آن به ترتیب ۴۵۱ و ۲۶/۹۰ پی‌پی‌ام، چولگی و کشیدگی ۵/۰۱ و ۳۲/۶۵، انحراف استاندارد و واریانس آن به ترتیب ۴۱/۳۶ و ۱۷۱۰/۴۶ میباشد که موید غیر نرمال بودن توزیع داده‌های این عنصر است (جدول ۲-۲) (نمودار ۲۸-۲)، خطای محاسبه شده برای این عنصر برابر با ۱۹/۳۹ میباشد که تا حدودی قابل قبول میباشد.

جدول ۲-۲- پارامترهای آماری داده‌های خام عنصر روی در محدوده مطالعاتی جبشی

Zn	N		Mean	Median	Mode	Std. Deviation	Variance	Skewness	Kurtosis	Minimum	Maximum
	Valid	Missing									
395	0	90.03	81.10	101.00	41.36	1710.46	5.01	32.65	26.90	451.00	



نمودار ۲-۸- هیستوگرام و منحنی تابع توزیع احتمالی داده‌های خام عنصر روی

عنصر روی به استثناء طلا، منگنز، لانتانیوم، وانادیم و جیوه با بقیه عناصر و در سطح اعتماد قابل قبول ۹۹ درصد دارای همبستگی مناسب و معنی‌داری میباشد به طوری که ضریب همبستگی این عنصر با استرانسیوم منفی و با بقیه عناصر مثبت میباشد و بیشترین ضریب

همبستگی را با آرسنیک(۰/۴۲۰) و سرب (۰/۵۰۷) دارد(جدول-۲) و همانند سرب، آنتیموان

و کادمیم یکی از با ارزش‌ترین عناصر منطقه محسوب می‌شود (جدول-۲) (نقشه ۲۲).

جدول-۲- ضرایب همبستگی داده‌های خام عنصر روی در محدوده مطالعه‌ی جبشی

Z	Au	As	Co	Cr	CU	Mn	Ni	Ba	La	V	Sr
0.005	,420(**)	,191(**)	,291(**)	,157(**)	0.087	,200(**)	,252(**)	0.024	,108(*)	-,209(**)	
Hg	Ag	Bi	Mo	Pb	Sb	Sn	W	U	Cd		
0.065	,328(**)	,163(**)	,294(**)	,507(**)	,199(**)	,174(**)	,195(**)	,131(**)	,499(**)		

جدول-۳- توصیف ناهنجارهای عنصر روی در محدوده مورد مطالعه جبشی

نام ناهنجار	نام معادل	نام معادل	ایستگاه نمونه برداری	جهت		نام معادل	نام معادل
				Y	X		
-	Jk, Jk ^{V2}	451	3843225	762815	HA.158	1	
Mn,Mo,La,Sb,U,Pb,Cd,W	Jk, Jk ^{V2}	425	3848779	762953	HA.252	1	
As,Zn,Ag	Jk, Jk ^{V2}	334	3843277	761942	HA.171	1	
As,Zn,Mo	Jk ^{rhy} , Jk ^{V2}	327	3843214	762202	HA.170	1	
As,Zn,Mo,Pb	Jk ^{rhy} , Jk ^{V2}	283	3842486	762696	HA.163	1	
-	Jk ^{rhy} , Jk ^{V2}	267	3842736	763039	HA.162	1	
Bi	Q ₁	243	3843157	762399	HA.169	1	
As,Au,Cd,Pb,Zn	Jk ^{rhy} , Jk ^{V2}	226	3848853	758444	HA.185	1	
-	Jk ^{rhy} , Jk ^{V2}	210	3846972	757445	HA.173	1	
-	Jk ^{rhy} , Jk ^{V2}	205	3843162	761879	HA.172	1	
Cd	Jk, Jk ^{V2}	195	3843433	761115	HA.68	1	
Cd	Jk, Jk ^{V2}	192	3844282	760195	HA.79	1	
-	Jk ^{rhy} , Jk ^{V2}	190	3843767	762102	HA.146	1	
Cd	Q ₁	170	3847576	763094	HA.375	1	
Pb	Jk, Jk ^{V2}	169	3841593	759222	HA.40	1	
-	Jk ^{rhy} , Jk ^{V2}	163	3847123	757294	HA.175	1	
Pb	Jk, Jk ^{V2}	156	3845391	764726	HA.287	1	
Cd	Q ₁	153	3847604	762909	HA.374	1	
-	Jk ^{rhy} , Jk ^{V2}	147	3847036	757480	HA.174	1	
Cd	Q ₁	147	3847995	763290	HA.246	1	



پی جویی به روش اکتشاف ژئو شیمیایی ۱:۲۵۰۰۰ در محدوده اکتشافی

حبشی - شریف آباد



وزارت
صنایع و معدن

سازمان زمین‌شناسی و

اکتشافات معدنی کشور

پی‌جویی به روش اکتشاف ژئوشیمیایی ۱:۲۵۰۰۰ در محدوده اکتشافی
حبشی - شریف آباد

۱۴-۲- توصیف ناهنجارهای عامل شماره یک

این عامل شامل متغیرهایی La,Ce,Zr,Ag,Mo,Sn,U میباشد که شامل ناهنجاری‌های

درجه دو بوده که در خاور روستای زیوه گسترش دارد(نقشه ۲۳).

۱۴-۲- توصیف ناهنجارهای عامل شماره دو

این عامل شامل روابط مثبت بین عناصر As,Zn,Ba,Cs,Pb,Sb,Cd و روابط منفی

با عنصر Sr میباشد که ناهنجاری‌های درجه یک آن در دو محدوده واقع در شمال روستای حبشی و خاور روستای زیوه گسترش دارد(نقشه ۲۴).

۱۴-۲- توصیف ناهنجارهای عامل شماره سه

این عامل شامل روابطی مثبت از عناصر Co,Cr,Cu,Ni,V میباشد که ناهنجاری‌های

درجه یک همراه با ناهنجاری‌های درجه دو آن در خاور روستای حبشی و ناهنجاری‌های ضعیف درجه دو در خاور و جنوب روستای کهتر گسترش دارند(نقشه ۲۵).

پی‌جویی به روش اکتشاف ژئوشیمیایی ۱:۲۵۰۰۰ در محدوده اکتشافی
حبشی- شریف‌آباد

۲۶-۱۴-۲- توصیف ناهنجارهای عامل شماره چهار

این عامل شامل روابطی مثبت از عناصر Cs , Li , Au می‌باشد که ناهنجاری‌های درجه دو آن به طور گستردگی از حوالی روستای حبشی تا خاور روستای زیوه و خاور و جنوب روستای عظیم‌آباد گسترش دارند (نقشه ۲۶).

۲۷-۱۴-۲- توصیف ناهنجارهای عامل شماره پنج

این عامل شامل عنصر Sr , Hg , Bi و روابط منفی با Mo است که ناهنجاری‌های درجه دو آن به طور گستردگی در خاور روستای حبشی و خاور روستای زیوه گسترش دارند (نقشه ۲۷).

۲۸-۱۴-۲- توصیف ناهنجارهای عامل شماره شش

این عامل شامل عنصر Mn است که ناهنجاری‌های درجه یک آن به همراه ناهنجاری‌های درجه دو به طور گستردگی در باخته و جنوب روستای حبشی و همچنین جنوب روستای عظیم‌آباد گسترش دارند (نقشه ۲۸).



پی جویی به روش اکتشاف ژئو شیمیایی ۱:۲۵۰۰۰ در محدوده اکتشافی
حبسی - شریف آباد





پی جویی به روش اکتشاف ژئو شیمیایی ۱:۲۵۰۰۰ در محدوده اکتشافی
حبسی - شریف آباد



پی جویی به روش اکتشاف ژئو شیمیایی ۱:۲۵۰۰۰ در محدوده اکتشافی
حبسی - شریف آباد



پی جویی به روش اکتشاف ژئو شیمیایی ۱:۲۵۰۰۰ در محدوده اکتشافی

حبشی - شریف آباد



وزارت
صنایع و معدن

سازمان زمین‌شناسی و
اکتشافات معدنی کشور



پی جویی به روش اکتشاف ژئو شیمیایی ۱:۲۵۰۰۰ در محدوده اکتشافی
حبسی - شریف آباد



وزارت
صنایع و معدن

سازمان زمین‌شناسی و

اکتشافات معدنی کشور



پی جویی به روش اکتشاف ژئو شیمیایی ۱:۲۵۰۰۰ در محدوده اکتشافی
حبسی - شریف آباد

۱۵-۲- مناطق امیدبخش

مطالعات ژئوشیمیایی انجام شده منجر به شناسایی مناطقی امیدبخش برای تعدادی از

عناصر به شرح ذیل شده است:

۱۵-۱-۱- منطقه امیدبخش شماره ۱ (target 1)

این منطقه ناهنجار که بزرگترین محدوده محسوب می‌شود در شمال روستای سیردره و خاور روستای زیوه واقع شده است. با توجه به نقشه زمین‌شناسی ۱:۱۰۰,۰۰۰ سنتقر، سنگهای این محدوده شامل آندزیت، تراکی آندزیت همراه با توفهای سنگی- بلورین، داسیت، اسلیت و افق‌های ماسه‌سنگی، ریوداسیت، ریولیت صورتی تا کرم با بافت میکروکریستالین و آفانیتیک است. نمونه‌های موجود در این محدوده برای عناصر Pb, Zn, Mo, As, Cd, Ba ناهنجاری‌های نسبتاً با اهمیتی نشان میدهد (نقشه ۲۹) (جدول ۷۶-۲). علاوه بر این نمونه‌های شماره HA-136 برای کانی سینابر و HA-153 برای کانی طلا در حد بسیار کمی ناهنجاری از خود نشان میدهد (در جدول ذیل عموماً ناهنجاری‌های با اهمیت درجه یک ارائه شده است).

جدول ۲-۷۶- لیست نمونه‌های ژئوشیمیایی موجود در محدوده شماره ۱

ردیف	نام نمونه	ردیف نمونه	نام ایستگاه	ایستگاه نمونه برداری		ردیف نمونه	نام ایستگاه	ایستگاه نمونه برداری			
				X	Y			X	Y		
As	1	HA.158	3843224	762815	59.1	Zn	1	HA.158	762815	3843225	451
	1	HA.59	3842064	761270	50.7		1	HA.171	761942	3843277	334
	1	HA.170	3843214	762201	48.2		1	HA.170	762202	3843214	327
	1	HA.163	3842486	762695	46.1		1	HA.163	762696	3842486	283
	1	HA.171	3843276	761941	46.1		1	HA.162	763039	3842736	267
Bi	1	HA.286	763746	3844833	686		1	HA.169	762399	3843157	243
	1	HA.354	763556	3844091	662		1	HA.185	758444	3848853	226
cd	1	HA.185	758444	3848853	2.4		1	HA.173	757445	3846972	210
	1	HA.79	760195	3844282	2.2		1	HA.172	761879	3843162	205
	1	HA.68	761115	3843433	1.2		1	HA.68	761115	3843433	195
	1	HA.134	762963	3845745	1.1		1	HA.79	760195	3844282	192
	1	HA.135	762525	3845680	1		1	HA.40	759222	3841593	169
	1	HA.55	761853	3841550	1		1	HA.175	757294	3847123	163
	1	HA.59	761271	3842065	1		1	HA.174	757480	3847036	147
	1	HA.64	760725	3842918	1		1	HA.246	763290	3847995	147
Mo	2	HA.170	762202	3843214	2.8	pb	1	HA.163	762696	3842486	330
	2	HA.138	761517	3845301	2.5						



شکل ۱-۲ : نمایی کلی از منطقه امیدبخش شماره ۱ در شمال روستای سیردره



پی جویی به روش اکتشاف ژئوشیمیایی ۱:۲۵۰۰۰ در محدوده اکتشافی
جبشی - شریف آباد

(target2) ۲- منطقه امیدبخش شماره ۲

این منطقه در گوشه شمال خاوری منطقه مورد مطالعه و در حوالی روستای جبشی قرار گرفته است و سنگهای این محدوده عمدهاً شامل آندزیت، تراکی آندزیت همراه با توفهای سنگی - بلورین، داسیت، اسلیت و افقهای ماسه‌سنگی، ریوداسیت، ریولیت صورتی تاکرم با بافت میکروکریستالین و آفانیتیک است و برای عناصر (نقطه ۲۹) Pb, Zn, Sb, Ni, Cr, Co, Cd, Bi, Mn, Mo, Sn, U, La (جدول ۲-۷۷)، علاوه بر این نمونه‌های شماره HA-248, HA-246 برای کانی خانواده مس و نمونه‌های HA-296, HA-246 برای کانیهای خانواده سرب و روی در حد کمی ناهنجاری از خود نشان میدهد. لازم به ذکر است مهمترین دگرسانی منطقه بر این محدوده منطبق بوده که در بخش دگرسانی به طور کامل تشریح شده است.

پی‌جویی به روش اکتشاف ژئوشیمیایی ۱:۲۵۰۰۰ در محدوده اکتشافی
حبشی - شریف‌آباد

جدول ۲-۷۷- لیست نمونه‌های ژئوشیمیایی موجود در محدوده شماره ۲

نمایه	ردیف نمونه	نام نمونه	ایستگاه نمونه برداری		(متر مربع)
			X	Y	
Au	2	HA.297	760195	3844282	10
Ba	1	HA.252	762953	3848779	868
Bi	1	HA.249	762221.2	3848221	0.8
Cd	1	HA.252	762953	3848779	4.1
	1	HA.246	763290	3847995	1.7
	1	HA.374	762909	3847604	1.6
	1	HA.375	763094	3847576	1.5
Co	1	HA.386	764291	3848345	54.8
Cr	1	HA.386	764291	3848345	600
	1	HA.387	764884.1	3848653	477
	1	HA.315	765319.2	3847963	443
	1	HA.318	764563.3	3848548	387
	1	HA.313	765280.5	3847388	341
	1	HA.259	763762.6	3848652	322
	1	HA.312	765365.4	3847313	318
Cu	2	HA.386	764291	3848345	67
Mn	1	HA.252	762952.7	3848779	3730
Mo	1	HA.252	762953	3848779	3.8
Ni	1	HA.386	764291	3848345	454
	1	HA.315	765319	3847963	298
	1	HA.313	765281	3847388	266
	1	HA.387	764884	3848653	248
	1	HA.312	765365	3847313	221
Pb	1	HA.252	762953	3848779	284
	1	HA.305	764777	3846900	220
Sb	1	HA.252	762953	3848779	5.5
	1	HA.295	764402	3846760	4.6
Sn	1	HA.245	762980	3847988	6
	1	HA.243	762281	3847620	5.7
U	1	HA.252	762953	3848779	4.59
Zn	1	HA.252	762953	3848779	425
	1	HA.375	763094	3847576	170



شکل ۲-۲ : نمایی کلی از منطقه امیدبخش شماره ۲ در محدوده روستای حبشی

۲-۱۵-۳- منطقه امیدبخش شماره ۳ (target3)

این محدوده در گوشه جنوب باختری منطقه مورد مطالعه واقع شده است و سنگهای

این منطقه شامل تنابی از سنگهای آتشفسانی با ترکیب آندزیت، تراکی آندزیت همراه با

توفهای سنگی - بلورین و همچنین واحدهای آبرفتی جوان می‌باشد که برای

عناصر V, Cr, Co, Pb, Cu, Au, Zn ناهنجاری نشان میدهد (نقشه ۲۹) (جدول ۲-۷۸)، علاوه بر

این نمونه‌های شماره HA-2, HA-22, HA-21 برای کانی سینابر و نمونه HA-21 برای کانی

طلا و خانواده روی و نمونه‌های HA-35, HA-8, HA-85, HA-87 برای کانی زیرکن

ناهنجاری از خود نشان میدهد.

جدول ۲-۷۸- لیست نمونه‌های ژئوشیمیایی موجود در محدوده شماره ۳

ردیف	ردیف نمودن	نمودن	ایستگاه نمونه برداری	ایستگاه نمونه برداری		ردیف نمودن
				X	Y	
Au	1	HA.18	760701	3845438	17	
Cr	1	HA.5	757591.3	3841252	454	
Cu	2	HA.24	759261.4	3842347	81	
	2	HA.34	759955.6	3841506	79.6	
	2	HA.19	758100.8	3843746	76.9	
	2	HA.15	757549.9	3843776	75.2	
	2	HA.30	760475.3	3841732	74.5	
	2	HA.295	764402.2	3846760	73.7	
	2	HA.16	757411	3844248	73	
	2	HA.10	758118.9	3842807	69.3	
	2	HA.42	758848.8	3841391	68.8	
	2	HA.58	761468.4	3841852	67.5	
Zn	1	HA.40	759222	3841593	169	
Mn	2	HA.30	760475.3	3841732	1740	
	2	HA.35	759856.4	3841653	1720	
	2	HA.32	760185.7	3841661	1710	
	2	HA.34	759955.6	3841506	1670	
	2	HA.29	760308.7	3842327	1650	
	2	HA.1	757377	3841756	3.2	
	1	HA.40	759222	3841593	191	
	1	HA.21	758630	3843041	389	
	1	HA.7	757980	3841732	373	
V	1	HA.5	757591	3841252	345	
	1	HA.2	757476	3841490	330	
	1	HA.22	759201	3843370	324	



پی جویی به روش اکتشاف ژئو شیمیایی ۱:۲۵۰۰۰ در محدوده اکتشافی
حبسی - شریف آباد



پی جویی به روش اکتشاف ژئوشیمیایی ۱:۲۵۰۰۰ در محدوده اکتشافی
حبشی - شریف آباد



فصل سوم

اکتشاف کانی های سنگین

۱-۳ - مقدمه

نمونه برداری از رسوبات و نهشته‌های آبرفتی به روش مطالعاتی کانی سنگین یکی از روش‌های تعیین کننده و شاخص در معرفی نواحی کانسارساز و مناطق امیدبخش معدنی بشمار می‌رود. تجربیات چندساله اخیر نشان داده است که روش‌های آنالیز دستگاهی بر روی نمونه‌های ژئوشیمیایی به تنها یابی نمی‌تواند راهنمای مناسبی در جهت دستیابی به مناطق امیدبخش معدنی گردد. مزایای زیادی در روش مطالعاتی کانی سنگین موجود بوده که بصورت چکیده به برخی از

آنها اشاره می‌نماییم:

- ۱- بررسی مستقیم کانی و مشاهده گروه عمده کانی‌های اقتصادی.
- ۲- قرارگرفتن قریب به اتفاق کانی‌های ارزشمند اقتصادی در گروه کانی‌های سنگین
- ۳- شناخت فاز شکل‌گیری کانی‌ها و بکارگیری این اطلاعات از زمینه مطالعات فنی و اقتصادی و برآورد چگونگی بازیابی مواد معدنی، بطور مثال می‌توان با مطالعه کانی‌های سنگین به شناخت فازهای سولفیدی کانی‌ها (گالن، پیریت، اسفالریت) فازهای اکسیدی (هماتیت، منیتیت، کرومیت و ...) و فازهای عنصری (طلاء، نقره، مس طبیعی، سرب طبیعی، پلاتین و ...) دست یافت، در صورتیکه در آنالیز عنصری بسته به نوع حلال بکار برده شده در بسیاری از فازهای سیلیکاته که در صنعت و فلزیابی قابل بازیابی نباشند نیز محاسبه می‌شوند، که این امر در بسیاری موارد تفسیر داده‌های ژئوشیمیایی را مورد تردید قرار می‌دهد.
- ۴- شناخت انحصاری برخی از کانی‌ها که تنها به روش مطالعاتی کانی سنگین قابل شناسایی و شناخت بوده است. بطور مثال در پروژه اکتشافات ژئوشیمیایی در محور یزد- سبزواران نوعی از

مونازیت به نام رابدوفان مورد شناسایی و مطالعه قرار گرفته که تنها به وسیله این روش مطالعاتی

قابل شناسایی بوده است. برخی از کانی‌های جواهری که آنالیز شیمیایی قادر به اندازه‌گیری آنها

نمی‌باشد؛ همانند آمیتیست، سافیر، کرندوم، روی و ... تنها به این روش مطالعاتی قابل شناخت و

اندازه‌گیری می‌باشند. تجمعی از کانی‌های صنعتی همانند گارنت‌ها و زیرکن که در صنایع ساینده

و الکتریکی و زیستی مصارف عمده‌ای دارند، می‌توانند در ذخایر پلاسربی انشتگی‌های قابل

توجهی را تشکیل دهند.

۵- کسب اطلاعات ارزشمند از شکل و اندازه دانه و نحوه فرم هر کانی که معرف دوری و

نzdیکی از منشأ کانی سازی و میزان فرسایش می‌باشد.

۶- پاراژنرهای ساخته شده کانی‌های سنگین حتی در صورت فقدان کانی‌های ارزشمند تا حدود

زیادی معرف پتانسیل حوضه‌های آبریز می‌باشند، بطور مثال در پاره‌ای از نمونه‌ها شناسایی و

مطالعه کانی‌های باریت، پیریت، پیریت اکسیدی، گارنت و ... منجر به دستیابی نواحی ارزشمندی

از کانسارهای سرب، روی و طلا شده است.

۷- کوتاه کردن زمان یک پروژه اکتشافی و در پی آن صرفه‌جویی در هزینه و وقت.

۸- بافت‌الگوی پراکندگی رسوبات و تعیین وضعیت رخساره‌های سنگی گسترش یافته در ناحیه

و خاستگاه بالقوه کانی‌های ارزشمند اقتصادی.

در ناحیه مورد مطالعه و در وسعتی به تقریب ۴۰ کیلومترمربع، ۹۲ نمونه کانی سنگین از رسوبات

آبرفتی گسترش یافته برداشت شده که تراکم نمونه‌برداری به ازای هر کیلومترمربع برابر با $\frac{2}{3}$

نمونه است. نمونه‌های برداشت شده به حجم ۱۰ لیتر و بدون دانه‌بندی و از رسوبات غیرهمگن

پی‌جوبی به روش اکتشاف ژئوپیمیایی ۱:۲۵۰۰۰ در محدوده اکتشافی
جبشی- شریف‌آباد

برداشت شده است. در محدوده اکتشافی جبشی- شریف‌آباد کانی‌های کانسارساز معرف نواحی کانساری و کانی‌های سنگ‌ساز به شرح زیر درجه‌بندی و توصیف شده‌اند.

۲-۳- پردازش داده‌های کانی‌سنگین

۲-۳-۱- فایل‌بندی داده‌ها

اطلاعات دریافتی به صورت فایل محاسبات گرم بر تن گزارش می‌شود، این فایل برای محاسبات آماری آماده و مورد استفاده قرار می‌گیرد.

۲-۳-۲- مطالعات آماری

در محدوده جبشی به تعداد ۱۳۹ موقعیت برای نمونه‌برداری کانی‌سنگین انتخاب و مورد برداشت قرار گرفت، نمونه‌های کانی‌سنگین بعد از آماده‌سازی مورد مطالعه میکروسکوپی قرار گرفت (نتایج خام و محاسبات گرم بر تن مطالعات به طور کامل در پیوست ۵ ارائه شده است) و نتایج حاصله مورد پردازش واقع و با استفاده از برنامه‌های آماری Spss، مورد تحلیل قرار گرفت، در جدول ۱-۳ پارامترهای آماری مربوط به کانی‌های سنگین منطقه جبشی ارائه شده است. لازم به ذکر است که معمولاً اعتبار آنها مشکوک تلقی می‌شود، مگر اینکه داده‌های با تعداد کافی و توزیع مناسب بکار گرفته می‌شود.

جدول ۱-۳: پارامترهای آماری نمونه‌های کانی سنگین در محدوده جبشی

	N	Valid	Missing	Mean	Median	Mode	Std. Dev.	Variance	Skewness	Kurtosis
Magnetite	139	0	277.90	27.75	0.00	875.88	767169.07	7.13	61.73	
APATITE	139	0	0.04	0.00	0.00	0.09	0.01	4.34	26.07	
ZIRCON	139	0	0.18	0.13	0.00	0.21	0.05	3.00	10.85	
RUTILE	139	0	0.14	0.07	0.00	0.26	0.07	3.89	19.34	
ANATASE	139	0	0.05	0.00	0.00	0.09	0.01	2.28	4.70	
SPHENE	139	0	0.00	0.00	0.00	0.00	0.00	6.79	48.18	
Leucoxene	139	0	0.09	0.00	0.00	0.15	0.02	2.53	7.15	
BARITE	139	0	1.37	0.13	0.00	3.63	13.15	4.37	21.64	
PYRITE	139	0	0.20	0.00	0.00	1.28	1.63	11.30	130.95	
Carbonates	139	0	0.47	0.06	0.00	1.15	1.33	4.06	19.62	
FQ	139	0	4.19	0.31	0.23	12.54	157.36	4.62	24.17	
NIGRINE	139	0	0.16	0.00	0.00	0.54	0.29	8.15	76.10	
Celestite	139	0	0.00	0.00	0.00	0.01	0.00	11.79	139.00	
GALENA	139	0	0.04	0.00	0.00	0.15	0.02	3.91	15.50	
Cerussite	139	0	0.06	0.00	0.00	0.16	0.03	2.77	7.12	
Malachite	139	0	0.01	0.00	0.00	0.08	0.01	9.23	92.03	
GOLD	139	0	0.00	0.00	0.00	0.00	0.00	11.79	139.00	
SAPPHIR	139	0	0.00	0.00	0.00	0.01	0.00	11.79	139.00	
CINNABAR	139	0	0.04	0.00	0.00	0.17	0.03	5.49	34.11	
Scheelite	139	0	0.06	0.00	0.00	0.38	0.14	6.77	48.47	
FLUORITE	139	0	0.01	0.00	0.00	0.03	0.00	4.89	25.05	
SILVER	139	0	0.00	0.00	0.00	0.00	0.00			
Nativelead	139	0	0.04	0.00	0.00	0.21	0.04	8.33	77.04	
Andalusite	139	0	0.73	0.16	0.00	2.82	7.95	9.60	102.60	
DISTHENE	139	0	0.15	0.02	0.00	0.57	0.33	7.39	57.87	
Sphalerite	139	0	0.00	0.00	0.00	0.02	0.00	11.79	139.00	
Smithsonite	139	0	0.02	0.00	0.00	0.07	0.01	3.49	11.63	
Nativecopper	139	0	0.00	0.00	0.00	0.01	0.00	10.65	117.91	
Brochantite	139	0	0.02	0.00	0.00	0.12	0.02	10.31	112.35	
CUPRITE	139	0	0.00	0.00	0.00	0.05	0.00	11.79	139.00	
HEMATITE	139	0	238.90	148.19	25.24	279.27	77989.08	1.93	4.26	
GOETHITE	139	0	59.46	34.85	0.00	83.12	6908.38	2.85	10.76	
LIMONITE	139	0	40.55	21.28	0.00	56.61	3204.38	2.39	6.59	
Pyriteoxide	139	0	111.69	26.36	21.60	188.69	35602.71	2.63	7.96	
Pyritelimonite	139	0	32.38	11.21	0.00	48.28	2330.85	2.08	4.29	
OLIGISTE	139	0	4.22	0.00	0.00	23.84	568.20	8.16	74.01	
PYROXENS	139	0	9.12	0.03	0.00	54.13	2929.56	10.68	119.71	
Amphibols	139	0	8.64	4.61	2.56	13.83	191.22	5.09	38.52	
EPIDOTS	139	0	21.85	7.97	0.00	30.73	944.33	1.89	3.76	
GARNETS	139	0	0.52	0.00	0.00	3.01	9.08	8.88	88.59	
CHLORITE	139	0	1.92	0.16	0.00	3.03	9.17	1.80	2.70	
BIOTITE	139	0	0.00	0.00	0.00	0.01	0.00	11.79	139.00	
ILMENITE	139	0	0.08	0.00	0.00	0.91	0.83	11.76	138.50	
MARTITE	139	0	1.38	0.00	0.00	8.32	69.18	7.71	64.87	
SERICITE	139	0	10.84	6.60	0.00	13.40	179.45	2.57	9.61	
Blackspinel	139	0	0.01	0.00	0.00	0.08	0.01	11.79	139.00	
SCHIST	139	0	359.22	300.90	336.30	251.44	63223.28	1.14	1.33	
Altreadisilicate	139	0	75.28	16.20	1.08	149.91	22472.34	3.62	15.33	

۳-۲-۳- نمودارهای هیستوگرام

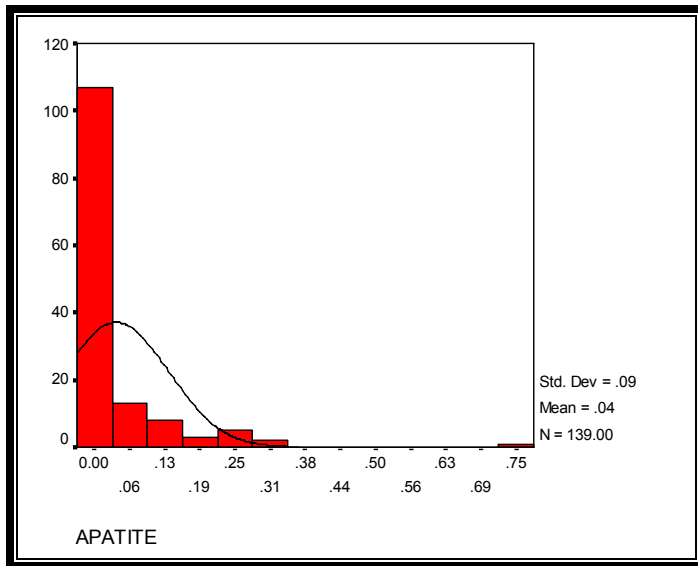
نمودارهای هیستوگرام بسادگی وضعیت توزیع عیاری مربوط به کانی‌های سنگین در

منطقه جبشی را نمایش می‌دهند (نمودار ۳-۱) (پیوست ۶) اما ظاهر آن شکل نیست، در واقع چنین

نموداری گویای خوبی برای پراکندگی کانی‌های سنگین نیست چرا که نمونه‌های کانی سنگین

میتواند نوعی نمونه انتخابی مدنظر قرار گیرد، زیرا یک نمونه توسط افراد مختلف میتواند منجر

به نتایج کاملاً متفاوت شود.



نمودار ۳-۱- هیستوگرام کانی آپاتیت در منطقه حبشی

۲-۴- ضرایب همبستگی ژاکارد

از آنجائیکه داده‌های کانی‌سنگین بر حسب ذرات کاملاً گسیخته گزارش می‌شوند، عملاً

نمیتوان تحلیل‌های آماری شناخته شده از جمله، نمودارهای هیستوگرام، ضرایب همبستگی و ..

در مورد آنها کاملاً بی معنی خواهد بود، راه حل مناسب در این مورد استفاده از کد صفر و یک

برای حالاتی است که در نمونه‌ها، کانی‌سنگین حضور نداشته باشد و یا موجود باشد. بنابراین

می‌توان ضرایب همبستگی را با استفاده از این روش که روش ژاکارد نامیده می‌شود، محاسبه کرد.

جدول ۲-۳ نتایج حاصل از محاسبه ضرایب همبستگی بین تمامی کانی‌های سنگین مورد مطالعه

واقع شده را به روش ژاکارد نمایش می‌دهد.



پی جویی به روش اکتشاف ژئو شیمیایی ۱:۲۵۰۰۰ در محدوده اکتشافی
حبسی - شریف آباد

۲-۳-۵- پردازش چند متغیره

در تحلیل‌های مختلف به منظور تفسیر نهایی رفتار و رخدادهای متعدد زمین‌شناختی و ژئوشیمیایی موجود در پهنه مورد بررسی، همواره تشخیص ارتباط بین متغیرها مورد توجه بوده و با ارزش تلقی می‌شود.

۲-۳-۱- آنالیز کلاستر

آنالیز کلاستر روشی بسیار قدرتمندی برای تحلیل چند متغیره شناخته شده است. در تحلیل خوشبندی (آنالیز کلاستر) داده‌های کانی سنگین از دو سری داده میتوان استفاده نمود :

الف- داده‌های خام اصلی متنج از مطالعات کانی سنگین

ب- داده‌های پردازش شده به صورت کد شده صفر و یک

در حالت (ب) به واقع داده‌ها به صورت کیفی خوشبندی می‌شوند زیرا که تغییرات عیار در مورد آنها بی‌معنی است . نمودارهای دندروگرام بیشتر به منظور استخراج همودهای کانی‌های سنگین و تحلیل و تفسیر آنها استفاده می‌شود.

۶-۲-۳- شرح نمودار دندروگرام

با دقت در روابط بdst آمده برای کانی‌های سنگین و توجه به نمودار درختی

(دندروگرام)، میتوان به این نتیجه رسید که در مطالعات کانی سنگین همواره روش‌های کیفی یا

نیمه کیفی بر روش‌های کمی ارجحیت دارند. براساس نمودار درختی (نمودار ۲-۳) کانی‌های

سنگین مطالعه شده در محدوده حبشی گروه‌های زیر تفکیک شده‌اند:

۱- سروزیت، اسمیتزوئیت، گالن و فلوریت با ارتباط بسیار قوی و سینابر با ارتباط

ضعیفتر نسبت به آنها در گروهی قرار دارند که میتواند معرف کانی‌های کانسارساز سرب و

روی باشند و بنابراین می‌تواند نشانه خوبی بر وجود استعداد برای این عناصر در منطقه باشد.

۲- مالاکیت و اسفالریت با ارتباط بسیار قوی و بروشانتیت با ارتباط ضعیفتر نسبت به

آنها در گروهی قرار دارند که میتواند معرف کانی‌های کانسارساز مس و روی باشند و بنابراین

می‌تواند نشانه خوبی بر وجود استعداد برای این عناصر در منطقه باشد.

۳- کوپریت و ایلمینیت با ارتباط بسیار قوی و مگنتیت و اسفن با ارتباط ضعیفتر نسبت به

به آنها در گروهی قرار دارند که میتواند معرف محیط سنگی اشباع از سیلیس باشد.

۴- زیرکن، اپیلوت، پیروکسن و آمفیبول در گروهی قرار دارند که میتواند معرف محیط

سنگی بازیک و همچنین اثر آلودگی سنگ‌شناسی (اثر سنگ‌های بالادست) حاصل شده باشد.

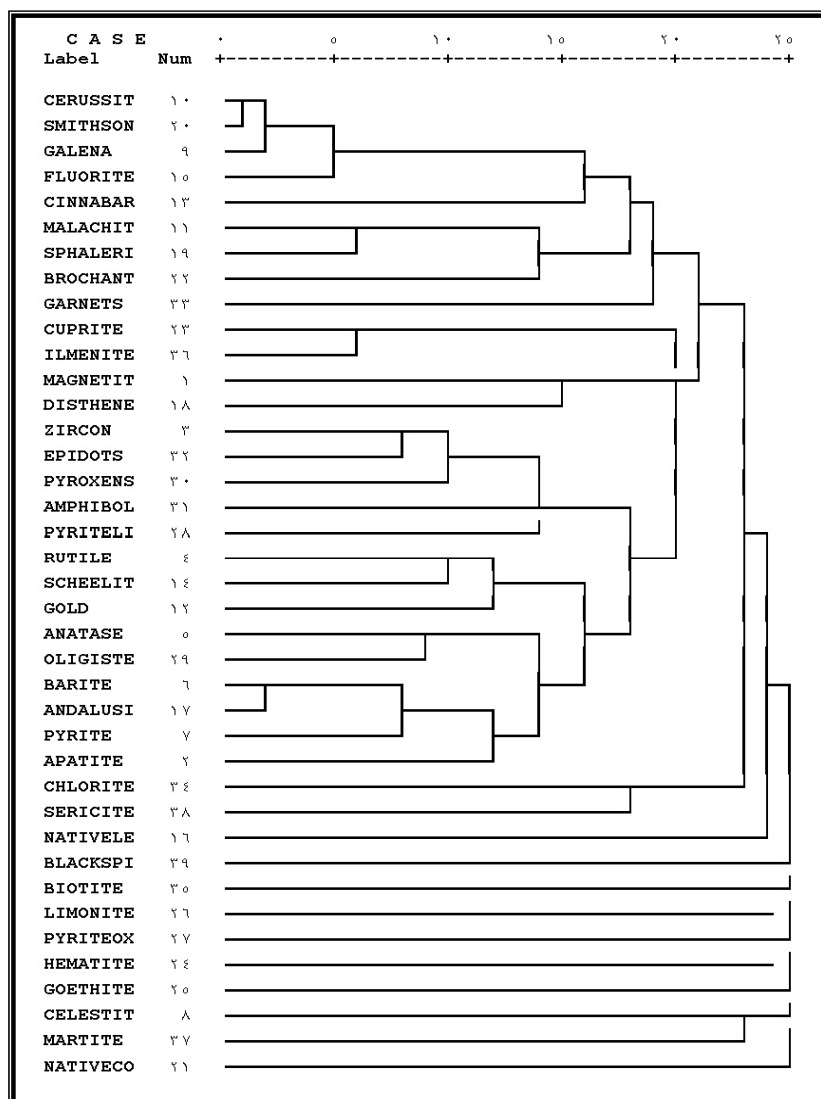
۵- روتیل، شٹلیت و طلا در یک گروه و آناتاز، الیثیست، باریت، آندالوزیت، پیریت و

آپاتیت در گروهی دیگر میتواند معرف محیطی نسبتاً خشی از جهت اکسیداسیون- احیا در سیستم

هیدرоторمال باشد. این حالت در مراحل بلوغ یک مجموعه هیدرоторمال ایجاد می‌گردد. حضور

پی‌جویی به روش اکتشاف ژئوشیمیایی ۱:۲۵۰۰۰ در محدوده اکتشافی حبشی-شیرف آباد

آنالوگیت که یک کانی دگرگونی می‌باشد میتواند ناشی از آلودگی نمونه‌ها به این کانی حاصل شده باشد. براساس پردازش‌های انجام شده بر روی داده‌های حاصل از مطالعات کانی‌سنگین نقشه‌های متنوعی می‌توان ترسیم نمود، از آنجائیکه معمولاً توزیع کانی‌های سنگین در تکنیک برداشت آبراهه‌ای بسیار پراکنده و گستره است، لذا معمولاً از ترسیم نمادین برای نمایش توزیع داده‌های کانی‌سنگین بهره برده می‌شود که در این پروژه از نمایش تک کانی استفاده شده است.



نمودار ۳-۲- نمودار درختی کانی‌های سنگین در محدوده حبشی

۳-۳-۳ نتایج حاصل از مطالعه کانی سنگین

۳-۳-۱-۱ طلا

از ۱۲۸ نمونه برداشت شده از حوضه‌های آبریز محدوده اکتشافی جبشی، ۲ نمونه با شماره‌های HA-155 ، HA-21 دارای اثراتی جزئی در حد یک ذره از طلا میباشد. سنگ‌های بالادرست نمونه شماره HA-21 شامل تنابی از سنگ‌های آتشفسانی با ترکیب آندزیت ، تراکی آندزیت همراه با توف‌های سنگی - بلورین و نهشته‌های آبرفتی جوان داشت شامل پادگانه‌ها و مخروط‌افکنه رودخانه‌ای مرکب از رس، سیلت، ماسه و کنگلومرا می‌باشد و سنگ‌های بالادرست نمونه شماره HA-155 شامل تنابی از سنگ‌های آتشفسانی با ترکیب آندزیت، تراکی آندزیت همراه با توف‌های سنگی - بلورین و ترادف سنگ‌های ولکانیکی - رسوبی شامل آندزیت، داسیت، اسلیت، افق‌های ماسه‌سنگی ، ریوداسیت، ریولیت میباشد . رگه‌های سیلیسی تزریق شده در این گدازه‌های آندزیتی منشاء زایش طلا در این محدوده اکتشافی هستند .

محدوده‌های ناهنجار بدست آمده به روش کانی سنگین طلا، هیچگونه همپوشانی با نتایج بدست آمده از ناهنجاری ژئوشیمی طلا را نشان نمی‌دهد در ضمن ناهنجاری HA-21 با پوششی بسیار ضعیف با ناهنجاری‌های سرب و روی همراهی می‌شود (نقشه ۳۰).



پی جویی به روش اکتشاف ژئو شیمیایی ۱:۲۵۰۰۰ در محدوده اکتشافی
حبشی - شریف آباد



۲-۳-۳- کانی‌های خانواده مس

بارزترین کانی عنصر مس در محدوده اکتشافی جبشی کانی مالاکیت میباشد، از ۱۲۸

نمونه کانی سنگین برداشت شده از محدوده اکتشافی ۵ نمونه حاوی اثراتی جزیی و پراکنده (pts) از کانی‌های خانواده این عنصر بوده است.

ناهنجری‌های بدست آمده از مطالعات کانی سنگین، پوشش کانی‌های خانواده مس را بطور نسبی با ناهنجاری‌های بدست آمده از کانی‌سازی سرب، روی و با پوششی کمتر با سینابر نشان میدهد . در نقشه شماره ۳۱ انتشار کانی‌های این عنصر به صورت منفرد ثبت شده است.

۳-۳-۳- کانی‌های خانواده سرب

شاخص‌ترین کانی‌های خانواده این عنصر در محدوده اکتشافی به ترتیب کانی‌های گالن، سروزیت، سرب طبیعی و میمتیت، ماسیکوت، ولغنت می‌باشند، ۳۸ نمونه حاوی اثراتی پراکنده و جزیی تا مقادیر گرم در تن از کانی‌های این عنصر می‌باشد (جدول گرم در تن کانیها؛ پیوست شماره ۵) . با توجه به نتایج بدست آمده حدود ۲۸٪ از نمونه‌ها حاوی آثاری از زایش سرب در

محدوده اکتشافی جبشی میباشند . بیشترین انباشتگی کانی‌های این عنصر در نمونه‌های مطالعه شده از حوضه آبریز روستای جبشی دیده میشود. مطالعات کانی‌های سنگین در چند سال گذشته به اهمیت زایش سرب بیش از پیش پی برده است. کانی‌های این عنصر افزون بر معرفی کانسارهای تیپ پلی‌متال، ردیاب‌های بسیار شاخصی در جهت دستیابی به کانسارهای با ارزش طلا نیز میباشد. اثرات بر جای کانی‌سازی سرب در منطقه مشاهده نشده است ، اما دگرسانی گسترده‌ای در واحدهای ریولیتی مشاهده شده است.

ناهنگاری‌های بدست آمده از مطالعات کانی سنگین، پوشش کانی‌های خانواده سرب را بطور نسبی با ناهنگاری‌های بدست آمده از کانی‌سازی روی و با پوششی کمتر با سینابر و فلوریت و مس نشان میدهد. در نقشه شماره ۳۲ انتشار کانی‌های این عنصر به صورت منفرد ثبت شده است.

۳-۴- کانی‌های خانواده روی

شاخص‌ترین کانی‌های خانواده این عنصر در محدوده اکتشافی به ترتیب کانی‌های اسمیت‌زونیت و اسفالریت میباشند که ۳۲ نمونه حاوی اثراتی پراکنده و جزیی تا مقادیر گرم در تن از کانی‌های این عنصر می‌باشد (جدول گرم در تن کانیها؛ پیوست شماره ۵). با توجه به نتایج بدست آمده حدود ۲۳٪ از نمونه‌ها حاوی آثاری از زایش روی در محدوده اکتشافی میباشند.

بیشترین انباشتگی کانی‌های این عنصر در نمونه‌های مطالعه شده از حوضه آبریز روستای حبشه و همچنین حوضه آبریز شمال روستای سیردره دیده میشود (نقشه ۳۳).

۳-۵- سینابر

سینابر یکی از با ارزش‌ترین کانی‌های جیوه میباشد که در محدوده مورد مطالعه این کانی دارای گسترش عیاری بالا و با اهمیتی نیست به طوری که عیار این کانی بین ۱/۱۷ تا صفر ppm تغییر میکند. ناهنگاری‌های این کانی بیشتر در بخش‌های جنوب و جنوب باختیری گسترش نشان می‌دهد (نقشه ۳۴).



پی جویی به روش اکتشاف ژئوشیمیایی ۱:۲۵۰۰۰ در محدوده اکتشافی
حبسی - شریف آباد



پی جویی به روش اکتشاف ژئو شیمیایی ۱:۲۵۰۰۰ در محدوده اکتشافی
حبسی - شریف آباد



پی جویی به روش اکتشاف ژئوشیمیایی ۱:۲۵۰۰۰ در محدوده اکتشافی

حبشی - شریف آباد



وزارت
صنایع و معدن

سازمان زمین‌شناسی و
اکتشافات معدنی کشور



پی جویی به روش اکتشاف ژئو شیمیایی ۱:۲۵۰۰۰ در محدوده اکتشافی
حبسی - شریف آباد

٦-٣-٣- زیرکن

در مطالعات کانی سنگین در یک محدوده اکتشافی، زیرکن پارامتری تعیین کننده در معرفی توده‌های نفوذی اسید تا متوسط، توده‌های نیمه عمیق، ماسه‌سنگ‌ها و رسوبات پلاسربی به شمار می‌رود. انتشار زیرکن در رسوبات آبرفتی افزون بر معرفی برونزدهای نفوذی، ردیاب بسیار مناسبی در راستای دستیابی به نواحی کانساری و بویژه کانسارهای عناصر نادر خاکی می‌باشد. در محدوده اکتشافی حبشی حضور و انتشار زیرکونیم می‌تواند معرف رخنمون‌های دایک‌های نیمه عمیق می‌باشد.

در محدوده مورد مطالعه این کانی دارای گسترش عیاری بالا و با اهمیتی نیست به طوری که عیار این کانی بین $6/25$ ppm تا صفر ppm تغییر می‌کند. ناهنجاری‌های بدست آمده کانی زیرکن بیشتر در بخش‌های جنوب و جنوب باختری گسترش نشان می‌دهد (نقشه ۳۵).



پی جویی به روش اکتشاف ژئو شیمیایی ۱:۲۵۰۰۰ در محدوده اکتشافی
حبسی - شریف آباد



پی جویی به روش اکتشاف ژئو شیمیایی ۱:۲۵۰۰۰ در محدوده اکتشافی
حبسی - شریف آباد



پی جویی به روش اکتشاف ژئوشیمیایی ۱:۲۵۰۰۰ در محدوده اکتشافی
حبشی - شریف آباد



فصل چهارم

کنترل نا亨جاري

۴- کنترل ناهنجاری

به منظور حصول اطمینان از وجود ناهنجاری‌های به دست آمده در مطالعات ژئوشیمیایی و کانی سنگین، لازم است این ناهنجاری‌ها و حوضه‌های آبریز آنها مجدداً بررسی و کلیه رخنمون‌های سنگی دارای پتانسیل احتمالی کانی‌سازی در مناطق اطراف ناهنجاری‌ها نمونه‌گیری شده و از حوضه آبریز آن نمونه‌های ژئوشیمیایی و کانی سنگین بیشتری برداشت شود، در این مرحله که به مرحله کنترل ناهنجاری معروف است تعداد ۵۲ نمونه سنگی و ۴۱ نمونه کانی سنگین برداشت شد.

تمامی نمونه‌های مینرالیزه (۵۲ نمونه) به روش ICP و برای ۵۳ عنصر آنالیز گردید. نتایج حاصل از آنالیزهای یاد شده به طور کامل در پیوست ۷ آمده است.

در این مرحله از کار اکتشافی (کنترل ناهنجاری) می‌توان تطبیق ناهنجاری‌های اولیه استخراج شده از مراحل مطالعات ژئوشیمیایی و کانی سنگین را با نتایج مزبور بررسی نمود، اگرچه باید در نتیجه گیری نهایی تمامی اطلاعات بصورت موازی بررسی شده و بر مبنای آن تصمیم‌گیری صورت گیرد. براساس مطالعات نمونه‌های سنگی فوق الذکر به تفکیک مناطق امیدبخش معرفی شده در بخش ۲، نتایج حاصله برای عناصر مختلف از هر محدوده در ادامه آمده است.

۴-۲- منطقه امیدبخش شماره ۱ (target 1)

این منطقه ناهنجار که بزرگترین محدوده محسوب می‌شود در شمال روستای سیردره و خاور روستای زیوه واقع شده است. با توجه به نقشه زمین شناسی ۱:۱۰۰,۰۰۰، سنگهای این محدوده شامل آندزیت، تراکی آندزیت همراه با توفهای سنگی-بلورین



پی جویی به روش اکتشاف ژئوشیمیایی ۱:۲۵۰۰۰ در محدوده اکتشافی جبشی - شریف آباد

داسیت، اسلیت و افق‌های ماسه‌سنگی، ریوداسیت، ریولیت صورتی تا کرم با بافت

میکروکریستالین و آفانیتیک است. نمونه‌های موجود در این محدوده برای عناصر

Pb,Zn,Mo,As,Cd,Bi ناهنجاری‌های نسبتاً قابل توجهی نشان میدهد(نقشه ۲۹)، علاوه بر این

نمونه‌های شماره HA-136 برای کانی سینابر و HA-153 برای کانی طلا در حد بسیار کمی

ناهنجاری از خود نشان میدهد. به منظور بررسی بیشتر مناطق ناهنجار تعدادی نمونه سنگ و

کانی سنگین برداشت شد که نتایج مربوطه به تفکیک مهمترین عناصر و در هر منطقه ناهنجار

ارائه شده است.

۴-۱-۲- روی

مقدار روی در نمونه‌های سنگی برداشت شده از در منطقه امیدبخش ۱، از ۱۰۵ تا ۶۸۷

گرم در تن متغیر است. نمونه‌های شماره R-HA-AN-30، R-HA-AN-29 از ترادف ضخیم

ولکانیکی- رسوبی شامل آندزیت، داسیت، اسلیت، افق‌های ماسه سنگی، ریوداسیت، ریولیت و

نمونه‌های شماره R-HA-AN-12 و R-HA-AN-8 از سنگهای آتش‌شانی با ترکیب آندزیت،

تراکی آندزیت همراه با توف‌های سنگی - بلورین برداشت شده‌اند(جدول ۱-۴).

جدول ۱-۴- نتایج آنالیز شیمیایی نمونه‌های سنگی برداشت شده از منطقه امیدبخش شماره ۱

Field No	X	Y	As	Cd	Co	Cr	Cu	Mn	Mo	Ni	Pb	Sr	V	Zn	Zr
R-HA-AN-30	760999	3841337	6	0	44	96	16	958	1	92	20	161	240	603	687
R-HA-AN-12	762086	3843102	35	1	4	10	18	36	6	18	96	42	20	403	600
R-HA-AN-29	760879	3841439	11	1	4	17	6	280	1	15	82	101	16	356	105
R-HA-AN-8	761265	3844319	<1	0	8	92	16	413	3	14	302	27	29	210	408

۴-۲-کبالت

عنصر کبالت در یک نمونه سنگی به شماره R-HA-AN-17 برداشت شده از منطقه امیدبخش ۱ به میزان ۱۰۱ گرم در تن گزارش شده است. این نمونه از ترانشه راه خاکی سیردره - زیوه و از تراودهای ولکانیکی - رسوبی که شامل آندزیت، داسیت، اسلیت همراه با افق‌های ماسه‌سنگ، ریوداسیت، ریولیت که دگرگونی در حد اسلیتی و فیلیتی شدن را تحمل نموده، برداشت شده است (شکل ۴-۱). همانگونه که ملاحظه می‌شود نمونه فوق تا حدودی برای عنصر زیرکونیم نیز از خود ناهنجاری نشان میدهد (جدول ۴-۲).

جدول ۴-۲-نتایج آنالیز شیمیایی نمونه سنگی برداشت شده از منطقه امیدبخش شماره ۱

Field No	X	Y	As	Cd	Co	Cr	Cu	Mn	Mo	Ni	Pb	Sr	V	Zn	Zr
R-HA-AN-17	761698	3841843	21	0	101	8	182	129	<0.5	71	72	21	3	10	571



شکل ۴-۱-نمایی از نمونه شماره R-HA-AN-17 از منطقه امیدبخش شماره ۱

۴-۳-۲- منگنز

مقدار این عنصر در نمونه سنگی برداشت شده از محدوده شماره ۱، ۲۴۱۱ گرم در تن است که در

جدول شماره ۴-۳ نتایج حاصل از آنالیز نمونه مذکور آمده است. نمونه فوق از مجموعه سنگهای آتشفسانی با ترکیب آندزیت، تراکی آندزیت همراه با توفهای سنگی متبلور برداشت شده است. همانگونه که ملاحظه می‌شود، علاوه بر منگنز، میزان اترانسیم و زیرکن نمونه نیز قابل توجه است.

جدول ۴-۳- نتایج آنالیز شیمیایی نمونه سنگی برداشت شده از منطقه امیدبخش شماره ۱

Field No	X	Y	As	Cd	Co	Cr	Cu	Mn	Mo	Ni	Pb	Sr	V	Zn	Zr
R-HA-AN-7	761207	3844363	2	0	3	11	34	2411	<0.5	5	42	224	26	21	156

۴-۴- کروم

میزان اندازه‌گیری شده برای عنصر کروم در نمونه شماره R-HA-AN-2 ppm برابر با ۵۲۴ است. نمونه شماره R-HA-AN-2 از مجموعه‌ای شامل تناوب سنگهای آتشفسانی با ترکیب آندزیت، تراکی آندزیت همراه با توفهای سنگی متبلور برداشت شده است (جدول ۴-۴). در شکل ۴-۲ رخنمون سنگهای ولکانیکی نشان داده شده است.

جدول ۴-۴- نتایج آنالیز شیمیایی نمونه سنگی برداشت شده از منطقه امیدبخش شماره ۱

Field No	X	Y	As	Cd	Co	Cr	Cu	Mn	Mo	Ni	Pb	Sr	V	Zn	Zr
R-HA-AN-2	761759	3844890	3	0	3	524	462	1041	1	9	365	122	16	171	739



شکل ۴-۲- نمایی از نمونه شماره R-HA-AN-2 از منطقه امیدبخش شماره ۱

۴-۲-۵- مس

مقدار این عنصر در نمونه سنگی برداشت شده به شماره ۲ R-HA-AN-2 برابر ۴۶۲ گرم در تن میباشد . نمونه فوق از مجموعه‌ای شامل تناوبی از سنگ‌های آتشفسانی با ترکیب آندزیت، تراکی آندزیت همراه با توف‌های سنگی متبلور برداشت شده است، همانگونه که ملاحظه میشود عیار عناصری نظیر مس، زیرکونیم، سرب، منگنز و کروم و به مقدار ضعیفی عنصر روی نیز در این نمونه بالا بوده و از خود ناهنجاری نشان میدهدن (جدول ۴-۵).

جدول ۴-۵- نتایج آنالیز شیمیایی نمونه سنگی برداشت شده از منطقه امیدبخش شماره ۱

Field No	X	Y	As	Cd	Co	Cr	Cu	Mn	Mo	Ni	Pb	Sr	V	Zn	Zr
R-HA-AN-2	761759	3844890	3	0	3	524	462	1041	1	9	365	122	16	171	739

**پی‌جویی به روش اکتشاف ژئوشیمیایی ۱:۲۵۰۰۰ در محدوده اکتشافی
حبشی - شریف آباد**

٤-٢-٦- زیرکونیوم

مقدار این عنصر در نمونه‌های سنگی برداشت شده از محدوده امیدبخش یک، ۸۶۲ تا ۱۶۰۸ ppm متغیر است. نمونه‌ها از سنگ‌های آتش‌فشاری با ترکیب آندزیت، تراکی آندزیت همراه با توف‌های سنگی - بلورین برداشت شده‌اند (شکل ٤-٣)، همانگونه که ملاحظه می‌شود، نمونه‌های مذکور برای منگنز، سرب، روی، مولیبدن و کروم نیز از خود ناهنجاری نشان میدهند (جدول ٤-٦):

جدول ٤-٦- میزان عیار عنصر زیرکونیوم در نمونه‌های سنگی برداشت شده از منطقه امیدبخش شماره ۱

شماره نمونه	عيار(بي بي ام)	شماره نمونه	عيار(بي بي ام)
R-HA-AN-31	1608	R-HA-AN-5	977
R-HA-AN-13	1185	R-HA-AN-19	951
R-HA-AN-11	862	R-HA-AN-14	947

با بررسی نمونه‌های برداشت شده ملاحظه می‌شود که مقدار زیرکونیوم در سه گروه

سنگی دیده می‌شود (جدول ٤-٧):

۱: زون کائولینیتی - سیلیسی همراه با اکسید آهن و قرمز رنگ در اطراف روستای حبشی

۲: آهک سیلیسی شده درون واحدهای دگرگونی

۳: نمونه‌های برداشت شده از مرز دایک‌های بازالتی و سنگ همبر

جدول ٤-٧- ویژگی سنگ‌شناسی نمونه‌های سنگی برداشت شده حاوی زیرکونیوم در منطقه امیدبخش شماره ۱

Field No	X	Y	lithology
R-HA-AN-11	762086	3843102	زون سیلیسی، اکسید آهن، قرمز رنگ
R-HA-AN-13	762086	3843102	زون کائولینیتی، اکسید آهن، قرمز رنگ، سیلیسی شده
R-HA-AN-14	762086	3843102	زون کائولینیتی، اکسید آهن، قرمز رنگ، سیلیسی شده
R-HA-AN-19	761476	3841954	زون کائولینیتی، اکسید آهن، قرمز رنگ، سیلیسی شده
R-HA-AN-31	761283	3841453	مرز دایک‌های بازالتی و سنگ همبر
R-HA-AN-5	761161	3844548	آهک سیلیسی شده



شکل ۳-۴ - نمایی از نمونه شماره 5-HA-AN-R از منطقه امیدبخش شماره ۱

۴-۷-۲- نتایج مطالعات کانی سنگین در منطقه امیدبخش شماره ۱

بعد از مشخص شدن مناطق ناهنجار، تعدادی نمونه کانی سنگین نیز برداشت و پس از آماده سازی مورد مطالعه قرار گرفت. نتایج مطالعات بر روی نمونه‌های کانی سنگین برداشت شده از کل مناطق ناهنجار (تعداد ۴۱ نمونه با مختصات ارائه شده در ذیل) تقریباً عقیم بودن منطقه را از نظر نمونه‌های با ارزش کانی سنگین نشان میدهد (پیوست ۸)، بر پایه این مطالعات کانی‌های خانواده سرب و روی شامل گالن در نمونه شماره 12 (HA-AN-12) ۱۵ گرم در تن) و سروزیت در نمونه شماره 12 (HA-AN-12) ۶۲/۶۲ گرم در تن)، سرب طبیعی در نمونه شماره 12 (HA-AN-12) ۰/۱۲ گرم در تن) و اسفالریت در نمونه به شماره 12 (HA-AN-12) ۰/۲۲ گرم در تن) است که دارای گرم در تن) و اینحال نمونه شماره ۱۲ دارای اهمیت می‌باشد از طرف مقدار قابل توجهی نیست با اینحال نمونه شماره ۱۲ دارای اهمیت می‌باشد از طرف

دیگر کانی‌های خانواده مس در منطقه شامل مالاکیت به مقدار بسیار ناچیز در نمونه شماره

۱۲/AN-HA (۰/۰۷ گرم در تن) و کالکوپیریت در نمونه شماره ۱۲/AN-HA (۰/۰۶ گرم در تن)

میباشد که مقدار قابل توجهی نیست که با کانی خانواده سرب و روی، باریت همراهی میشود،

لازم به ذکر است کانی باریت در این منطقه در نمونه شماره ۱۲/AN-HA (۷/۲ گرم در تن) دیده

میشود.

با توجه به اینکه عنصر زیرکن به مقدار بالا در نمونه‌های سنگی مشاهده شده است و

انتظار بر این خواهد بود که حداقل در نمونه‌های کانی سنگین پائین دست نمونه‌های فوق

الذکر تا حدودی بتوان کانی زیرکن را مشاهده نمود اما در این منطقه زیرکن قابل ملاحظه‌ای دیده

نشد.

جدول شماره ۴-۸- نتایج مطالعات کانی سنگین منطقه امیدبخش ۱ در مرحله کنترل ناهنجاری

Sample	HA-AN-12
Magnetite	18.65
Apatite	0.03
Zircon	0.04
Rutile	0.03
Leucoxene	0.03
Barite	7.20
Pyrite	2.01
Carbonates	0.02
FQ	0.34
Galena	15.00
Cerussite	2.62
Malachite	0.06
Fluorite	0.13
Nativelead	0.12
Sphalerite	0.22

Sample	HA-AN-12
Smithsonite	0.70
Chalcopyrite	0.07
Hematite	189.36
Goethite	52.80
Limonite	30.40
Pyriteoxide	36.00
Pyritelimonite	17.80
Oligiste	0.04
Pyroxens	12.80
Amphibols	5.12
Epidots	0.03
Chlorite	0.02
Ilmenite	0.04
Martite	0.04
Altreadssilicate	11.88

پی‌جویی به روش اکتشاف ژئوشیمیایی ۱:۲۵۰۰۰ در محدوده اکتشافی
جبشی - شریف‌آباد

جدول شماره ۴-۹- میزان عناصر ناهنجار در نمونه‌های مینرالیزه منطقه امیدبخش شماره ۱

شماره نمونه	Zn	Co	Mn	Cr	Cu	Zr
R-HA-AN-30	603	44	958	96	16	687
R-HA-AN-12	600	4	36	10	18	600
R-HA-AN-29	105	4	280	17	6	105
R-HA-AN-8	408	8	413	92	16	408
R-HA-AN-17	10	101	129	8	182	571
R-HA-AN-7	21	3	2411	11	34	156
R-HA-AN-2	171	3	1041	524	462	739
R-HA-AN-31	44	4	361	15	8	1608
R-HA-AN-13	69	4	34	21	7	1185
R-HA-AN-11	40	4	95	30	6	862
R-HA-AN-5	17	4	892	60	18	977
R-HA-AN-19	12	30	1232	6	33	951
R-HA-AN-14	63	4	129	48	3	947

۴-۸- دگرسانی در منطقه امیدبخش شماره ۱

از جمله دگرسانی‌های قابل ذکر در منطقه امیدبخش شماره یک، دگرسانی کائولینیتی در

شمال روستای سیردره با وسعتی در حدود ۲۰۰ متر مربع (شکل ۴-۷) و دگرسانی سیلیسی در

مسیر راه خاکی سیردره- عظیم‌آباد با وسعتی در حدود ۵۰۰ متر مربع نیز می‌باشد که ارتباط بسیار

نزدیکی با شکستگی‌های موجود در منطقه نشان میدهد(شکل ۴-۸).

پی‌جویی به روش اکتشاف ژئوشیمیایی ۱:۲۵۰۰۰ در محدوده اکتشافی
حبشی - شریف آباد



شکل ۴-۴- نمایی کلی از دگرسانی ضعیف کائولینیتی موجود در شمال روستای سیردره



شکل ۴-۵- نمایی کلی از دگرسانی ضعیف سیلیسی موجود در مسیر سیردره- عظیم آباد

٤-٩- نتایج حاصل از مطالعات میکروسکوپی در منطقه امیدبخش شماره ١

شماره نمونه : R/H.A.AN.2

بافت : رگه - رگچه‌ای

در رگه - رگچه ماغنتیت و هماتیت جانشین شده که در یک فرآیند بعدی اکسید آهن و مالاکیت پرکردگی دارد.

به همراه مالاکیت در زمینه آن یک دانه طلا در اندازه ۱۰ میکرون به شکل برگ مانند دیده میشود و حکایت از وجود طلا به همراه سیستم هیدروترمالی کانی سازی مس در محدوده است. دانه‌های ماغنتیت در اشکال نیمه شکل دار و در اندازه‌های تا ۲۰ میکرون دیده میشود. گاه جانشینی هماتیت در حواشی ماغنتیت مشهود است کانی سازی اصلی مس در این مقطع بیشتر مربوط به آلودگی مالاکیت است.

٤-٣- منطقه امیدبخش شماره ٢ (target2)

همانگونه که قبلاً اشاره شد این منطقه در گوشه شمال خاوری منطقه مورد مطالعه و در حوالی روستای حبشه قرار گرفته است و سنگهای این محدوده عمدتاً شامل آندزیت، تراکی آندزیت همراه با توف‌های سنگی - بلورین، داسیت، اسلیت و افق‌های ماسه سنگی، ریوداسیت، ریولیت صورتی تا کرم با بافت میکروکریستالین و آفانیتیک است و برای عناصر Pb,Zn,Sb,Ni,Cr,Co,Cd,Bi,Mn,Mo,Sn,U,Au می‌باشد (نقشه ۲۹)، علاوه بر این نمونه‌های شماره HA-248، HA-246 برای کانی خانواده

مس و نمونه‌های HA-296، HA-246 برای کانی‌های خانواده سرب و روی در حد کمی

ناهنجری از خود نشان میدهد. لازم به ذکر است مهمترین دگرسانی منطقه بر این محدوده منطبق بوده که در بخش دگرسانی به طور کامل تشریح شده است.

۴-۳-۱- آرسنیک

مقدار این عنصر در نمونه‌های سنگی برداشت شده از ۲۶۹ تا ۱۰۵۶ گرم در تن با میانگین عیار ۶۹۴ گرم در تن گزارش شده است. نمونه‌ها از ریولیت، ریوداسیت‌های صورتی تا کرم با بافت میکروکریستالین و آفانیتیک که زمینه سنگ شدیداً به کانی‌های رسی تبدیل شده‌اند و اطراف روستای جبوشی دیده می‌شود، برداشت شده‌اند. همانگونه که ملاحظه می‌شود نمونه‌های فوق برای عناصر آرسنیک، سرب و زیرکونیوم نیز از خود ناهنجاری نشان میدهند (جدول ۱۰-۴).

جدول ۱۰-۴- نتایج آنالیز شیمیایی نمونه‌های سنگی برداشت شده از منطقه امیدبخش شماره ۲

Field No	X	Y	As	Cd	Co	Cr	Cu	Mn	Mo	Ni	Pb	Sr	V	Zn	Zr
R-HA-AN-42	763137	3848701	269	3	<1	52	21	59	7	4	4193	37	6	129	698
R-HA-AN-43	763092	3848597	1056	12	<1	24	43	39	7	3	6371	49	3	189	675
R-HA-AN-44	763085	3848538	758	9	<1	31	22	25	4	3	6207	46	3	161	793

۴-۳-۲- منگنز

میانگین عیار منگنز در نمونه‌های برداشت شده از منطقه امیدبخش شماره ۲، ۲۵۳۹ گرم در تن است. نمونه‌های مذکور از مجموعه سنگهای آتشفشانی با ترکیب آندزیت، تراکی آندزیت همراه با توف‌های سنگی- بلورین برداشت شده‌اند (جدول ۱۱-۴).

پی‌جویی به روش اکتشاف ژئوشیمیایی ۱:۲۵۰۰۰ در محدوده اکتشافی حبشی - شریف‌آباد

جدول ۱۱-۴- نتایج آنالیز شیمیایی نمونه‌های سنگی برداشت شده از منطقه امیدبخش شماره ۲

Field No	X	Y	As	Cd	Co	Cr	Cu	Mn	Mo	Ni	Pb	Sr	V	Zn	Zr
R-HA-AN-38	761809	3847526	5	0	21	17	8	2724	5	60	44	52	92	245	175
R-HA-AN-37	760944	3848000	10	0	22	9	4	2594	<0.5	40	31	153	45	202	160
R-HA-AN-39	761787	3847488	8	0	20	95	36	2298	2	38	43	383	194	86	569

۴-۳- کادمیم

در منطقه امیدبخش ۲، دو نمونه به شماره‌های R-HA-AN-44، R-HA-AN-43 به ترتیب دارای

میزان کادمیم ۱۲ و ۹ گرم در تن می‌باشند. این نمونه‌ها از ریولیت، ریوداسیت‌های صورتی تا کرم با بافت

میکروکریستالین و آفانیتیک که زمینه سنگ شدیداً به کانی‌های رسی تبدیل شده‌اند و اطراف روستای حبشی

دیده می‌شود برداشت شده است. همانگونه که ملاحظه می‌شود نمونه‌های فوق برای عناصر سرب و آرسنیک

نیز از خود ناهنجاری نشان میدهند(جدول ۱۲-۴).

جدول ۱۲-۴- نتایج آنالیز شیمیایی نمونه‌های سنگی برداشت شده از منطقه امیدبخش شماره ۲

Field No	X	Y	As	Cd	Co	Cr	Cu	Mn	Mo	Ni	Pb	Sr	V	Zn	Zr
R-HA-AN-43	763092	3848597	1056	12	<1	24	43	39	7	3	6371	49	3	189	675
R-HA-AN-44	763085	3848538	758	9	<1	31	22	25	4	3	6207	46	3	161	793

۴-۴- مولیبدن

مقدار این عنصر در نمونه‌های سنگی برداشت شده از منطقه امیدبخش شماره ۲، از ۲۱ تا ۲۹ گرم

در تن متغیر است. این نمونه‌ها از ریولیت، ریوداسیت‌های صورتی تا کرم با بافت میکروکریستالین و

آفانیتیک که زمینه سنگ شدیداً به کانی‌های رسی تبدیل شده‌اند و اطراف روستای حبشی دیده می‌شود

برداشت شده است، همانگونه که ملاحظه می‌شود نمونه‌های ناهنجار مولیبدن برای عناصر روی، زیرکن و

سرب از خود ناهنجاری نشان میدهند(جدول ۱۳-۴).

پی‌جویی به روش اکتشاف ژئوشیمیایی ۱:۲۵۰۰۰ در محدوده اکتشافی حبشی- شریف‌آباد

جدول ۱۳-۴- نتایج آنالیز شیمیایی نمونه‌های سنگی برداشت شده از منطقه امیدبخش شماره ۲

Field No	X	Y	As	Cd	Co	Cr	Cu	Mn	Mo	Ni	Pb	Sr	V	Zn	Zr
R-HA-AN-40	763206	3848805	29	0	<1	5	9	48	29	4	148	23	4	61	727
R-HA-AN-49	763096	3848503	20	2	<1	35	30	47	23	3	1215	29	6	727	881
R-HA-AN-50	763267	3848424	23	1	<1	20	17	106	21	2	91	29	3	302	625

۴-۳-۵- کروم

مقدار این عنصر در یک نمونه سنگی برداشت شده به شماره R-HA-AN-41 ، برابر ۵۵۰ گرم در تن

گزارش شده است . این نمونه از ریولیت، ریوداسیت‌های صورتی تا کرم با بافت

میکروکریستالین و آفانیتیک که زمینه سنگ شدیداً به کانی‌های رسی تبدیل شده‌اند و اطراف روستای حبشی

دیده می‌شود برداشت شده است، همانگونه که ملاحظه می‌شود ، این نمونه تا حدودی برای عنصر زیرکونیوم

و به مقدار ضعیفی برای عنصر سرب و روی نیز از خود ناهنجاری نشان میدهد (جدول ۱۴-۴).

جدول ۱۴-۴- نتایج آنالیز شیمیایی نمونه‌های سنگی برداشت شده از منطقه امیدبخش شماره ۲

Field No	X	Y	As	Cd	Co	Cr	Cu	Mn	Mo	Ni	Pb	Sr	V	Zn	Zr
R-HA-AN-41	763172	3848749	5	<0.1	<1	550	3	48	6	8	317	21	4	35	861

۴-۶-۳- نیکل

نمونه شماره R-HA-AN-26 عیار غیرعادی از نیکل به میزان ۱۶۱ گرم در تن نشان می‌دهد . این نمونه از

ریولیت، ریوداسیت‌های صورتی تا کرم با بافت میکروکریستالین و آفانیتیک که زمینه سنگ شدیداً به

کانی‌های رسی تبدیل شده‌اند و اطراف روستای حبشی دیده می‌شود برداشت شده است، همانگونه که

ملاحظه می‌شود نمونه‌های ناهنجار فوق برای عناصر سرب و تا حدودی روی از خود ناهنجاری نشان

میدهد(جدول ۱۵-۴).

جدول ۴-۱۵- نتایج آنالیز شیمیایی نمونه سنگی برداشت شده از منطقه امیدبخش شماره ۲

Field No	X	Y	As	Cd	Co	Cr	Cu	Mn	Mo	Ni	Pb	Sr	V	Zn	Zr
R-HA-AN-26	763576	3848383	24	1	46	159	14	1609	2	161	102	49	161	158	92

۴-۳-۷- سرب

مقدار این عنصر در نمونه‌های سنگی برداشت شده از ۱۱۳۵ ppm تا ۶۳۷۱ ppm متغیر است. نمونه‌ها از ریولیت، ریوداسیت‌های صورتی تا کرم با بافت میکروکریستالین و آفانیتیک که زمینه سنگ شدیداً به کانی‌های رسی تبدیل شده‌اند و اطراف روستای حبشی دیده می‌شود برداشت شده است، همانگونه که ملاحظه می‌شود نمونه‌های ناهنجار فوق برای آرسنیک و تا حدودی برای مس، روی، زیرکن، مولیبدن و نیکل از خود ناهنجاری نشان میدهند(جدول ۴-۱۶).

۴-۳-۸- روی

مقدار این عنصر در نمونه‌های سنگی از ۱۰۳ ppm تا ۸۸۱ ppm متغیر است. نمونه‌ها از ریولیت، ریوداسیت‌های صورتی تا کرم با بافت میکروکریستالین و آفانیتیک که زمینه سنگ شدیداً به کانی‌های رسی تبدیل شده‌اند و اطراف روستای حبشی دیده می‌شود برداشت شده است. همانگونه که ملاحظه می‌شود نمونه‌های ناهنجار فوق برای منگنز، سرب و زیرکن نیز از خود ناهنجاری نشان میدهند(جدول ۴-۱۶).

۴-۳-۹- زیرکونیوم

نمونه‌هایی به شماره R-HA-AN-41, R-HA-AN-46, R-HA-AN-49, R-HA-AN-23, HA-AN-27 از ریولیت، ریوداسیت‌های صورتی تا کرم با بافت میکروکریستالین و آفانیتیک



پی جویی به روش اکتشاف ژئوشیمیایی ۱:۲۵۰۰۰ در محدوده اکتشافی

حبشی - شریف آباد

وزارت
صنایع و معادن
سازمان زمین‌شناسی و
اکتشافات معدنی کشور

موجود در اطراف روستای حبشی برداشت شده‌اند که عیار غیرعادی از زیرکونیم از ۸۱۴ تا ۱۰۰۸

گرم در تن در آنها مشاهده می‌شود.

جدول ۱۶-۴- نتایج آنالیز شیمیایی نمونه‌های سنگی برداشت شده از منطقه امیدبخش شماره ۲

Field No	X	Y	As	Cd	Co	Cr	Cu	Mn	Mo	Ni	Pb	Sr	V	Zn	Zr
R-HA-AN-43	763092	3848597	1056	12	<1	24	43	39	7	3	6371	49	3	189	675
R-HA-AN-44	763085	3848538	758	9	<1	31	22	25	4	3	6207	46	3	161	793
R-HA-AN-46	763075	3848469	22	1	1	2	98	46	7	3	5620	27	5	388	814
R-HA-AN-42	763137	3848701	269	3	<1	52	21	59	7	4	4193	37	6	129	698
R-HA-AN-28	763243	3848649	10	0	<1	7	173	19	14	<2	2274	38	<1	156	638
R-HA-AN-47	763109	3848382	27	1	1	28	27	43	12	3	2109	25	3	192	722
R-HA-AN-49	763096	3848503	20	2	<1	35	30	47	23	3	1215	29	6	727	881
R-HA-AN-48	763154	3848323	16	1	<1	26	42	22	14	4	1135	28	4	429	704
R-HA-AN-50	763267	3848424	23	1	<1	20	17	106	21	2	91	29	3	302	625
R-HA-AN-38	761809	3847526	5	0	21	17	8	2724	5	60	44	52	92	245	175
R-HA-AN-24	763538	3848262	3	<0.1	21	53	120	1597	<0.5	38	31	287	110	223	103
R-HA-AN-37	760944	3848000	10	0	22	9	4	2594	<0.5	40	31	153	45	202	160
R-HA-AN-41	763172	3848749	5	<0.1	<1	550	3	48	6	8	317	21	4	35	861
R-HA-AN-23	763545	3848262	8.5	0.1	<1	26.7	5.3	71	21	3	353	6.1	1.1	92	1008
R-HA-AN-27	763326	3848552	30	0.6	2.4	30.5	9.8	209	6	5	141	22.7	1.2	182	821

۴-۳-۱۰- نتایج مطالعات کانی سنگین در منطقه امیدبخش شماره ۲

مطالعات کانی سنگین نشان میدهد که تنها در نمونه شماره HA-AN-39 (۱۵/۰ گرم در

تن) کانی‌های خانواده سرب به صورت گالن دیده می‌شود و کانی خاص دیگری ملاحظه نشده

است.

پی‌جویی به روش اکتشاف ژئوشیمیایی ۱:۲۵۰۰۰ در محدوده اکتشافی

جبشی - شریف‌آباد

جدول شماره ۱۷-۴ - نتایج آنالیز شیمیایی نمونه‌های مینرالیزه در منطقه امیدبخش شماره ۲

شماره نمونه	As	Mn	Cd	Mo	Cr	Ni	Pb	Zn	Zr
R-HA-AN-42	269	59	3	7	52	4	4193	129	698
R-HA-AN-43	1056	39	12	7	24	3	6371	189	675
R-HA-AN-44	758	25	9	4	31	3	6207	161	793
R-HA-AN-38	5	2724	0	5	17	60	44	245	175
R-HA-AN-37	10	2594	0	<0.5	9	40	31	202	160
R-HA-AN-39	8	2298	0	2	95	38	43	86	569
R-HA-AN-40	29	48	0	29	5	4	148	61	727
R-HA-AN-49	20	47	2	23	35	3	1215	727	881
R-HA-AN-50	23	106	1	21	20	2	91	302	625
R-HA-AN-41	5	48	<0.1	6	550	8	317	35	861
R-HA-AN-26	24	1609	1	2	159	161	102	158	92
R-HA-AN-28	10	19	0	14	7	<2	2274	156	638
R-HA-AN-48	16	22	1	14	26	4	1135	429	704
R-HA-AN-47	27	43	1	12	28	3	2109	192	722
R-HA-AN-46	22	46	1	7	2	3	5620	388	814
R-HA-AN-24	3	1597	<0.1	<0.5	53	38	31	223	103
R-HA-AN-23	8.5	71	0.1	21	26.7	3	353	92	1008
R-HA-AN-27	30	209	0.6	6	30.5	5	141	182	821

۴-۱۱-۳- دگرسانی در منطقه امیدبخش شماره ۲

با توجه به آزمایش XRD انجام شده بر روی تعداد ۶ نمونه برداشت شده از مهمترین

دگرسانی‌های موجود در منطقه جبشی، نتایج نشان میدهد که مهمترین کانی‌های موجود در این

دگرسانی به ترتیب مونتموریلوبنیت، کوارتز، فلدسپار، ژاروسیت، کائولینیت، ژیپس و ندرتاً پیریت

میباشد. کانی‌شناسی فوق به دگرسانی آرژیلی حدواسط مربوط میشود که از تبدیل پلاژیوکلاز به

کانی‌های رسی در سنگهای آذرین اسیدی حاصل شده است و در طی انجام واکنش‌های شیمیایی

مختلف مقدار سدیم، کلسیم و منیزیم کاهش و سیلیکا و آب به آن اضافه میشود.



وسعت این دگرسانی در حدود ۲ کیلومترمربع میباشد که روستای جبشی نیز بر روی آن

قرار رفته است و آثاری از حفاری‌های قدیمی نیز در آن دیده میشود و نمونه‌های سنگی برداشت

پی‌جویی به روش اکتشاف ژئوشیمیایی ۱:۲۵۰۰۰ در محدوده اکتشافی حبشی- شریف‌آباد

شده از آن برای بیشتر عناصر از خود ناهنجاری نشان داده است که قبل تشریح شده است

(اشکال ۴-۶ الی ۴-۷).



شکل ۴-۶- نمایی کلی از دگرسانی حدواسط موجود در اطراف روستای حبشی



شکل ۴-۷- نمایی کلی از دگرسانی آرژیلی حدواسط موجود در اطراف روستای حبشی



شکل ۴-۸- نمایی کلی از دگرسانی آرژیلی حد بواسطه موجود در اطراف روستای حبشی و تونل حفر شده در آن

جدول ۴-۱۸- نتایج XRD نمونه‌های برداشت شده از دگرسانی‌های موجود در منطقه حبشی

Sample	X	Y	Result
H.51. X-86	763576	3848383	Quartz+Feldspar+Clay Mineral
H.57. X-86	763154	3848323	Montmorillonite+ Quartz+Feldspar+Jarosite+Gypsum
H.81. X-86	763206	3848805	Quartz+Montmorillonite+Feldspar+Jarosite+Gypsum+Pyrite
H.82. X-86	763326	3848552	Quartz+Feldspar+Clay Mineral
H.T1. X-86	763267	3848424	Quartz+ Feldspar+Montmorillonite+Jarosite+Gypsum+Kaolinite
H.T2. X-86	762086	3843102	Quartz+ Feldspar+Montmorillonite+ Kaolinite+ Jarosite

۴- منطقه امیدبخش شماره ۳(target3)

این محدوده در گوشه جنوب باختری منطقه مورد مطالعه واقع شده است و سنگهای

این منطقه شامل تنابی از سنگهای آتشفسانی با ترکیب آندزیت ، تراکی آندزیت همراه با

توفهای سنگی - بلورین و همچنین واحدهای آبرفتی جوان می‌باشد که برای

عناصر V,Cr,Co,Pb,Cu,Au,Zn ناهنجاری عموماً درجه دو نشان میدهد(نقشه ۲۹) (جدول ۲-)

۷۸)، علاوه بر این نمونه‌های شماره HA-2, HA-22, HA-21 برای کانی سینابر و نمونه

برای کانی طلا و خانواده روی و نمونه‌های HA-35, HA-8, HA-85, HA-87 برای HA-21

کانی زیرکن ناهنجاری از خود نشان میدهد. شرح خلاصه عناصر ناهنجار در این منطقه

تصویرت زیر است :

۴-۱-۴- سرب

دو نمونه به شماره‌های R-HA-AN-21، R-HA-AN-22 برداشت شده از سنگ‌های

آتشفسانی با ترکیب آندزیت، تراکی آندزیت همراه با توف‌های سنگی - بلورین در بخش جنوب

باختری منطقه به ترتیب دارای ۱۷۸۰ و ۷۳۲ گرم در تن سرب می‌باشند. همانگونه که ملاحظه

می‌شود نمونه‌های ناهنجار فوق برای آرسنیک و تا حدودی برای مس، روی، زیرکن، مولیبدن و

نیکل از خود ناهنجاری نشان میدهند(جدول ۱۹-۴).

۴-۲-۴- مس

میزان مس در نمونه‌های سنگی به شماره‌های R-HA-AN-21, R-HA-AN-20 از مجموعه

سنگ‌های آتشفسانی با ترکیب آندزیت، تراکی آندزیت همراه با توف‌های سنگی - بلورین برداشت شده‌اند،

همانگونه که ملاحظه می‌شود نمونه‌های ذکر شده تا حدودی برای عناصر زیرکونیم، سرب، نیکل و کروم و به

مقدار ضعیفی برای عنصر روی از خود ناهنجاری نشان میدهند(جدول ۱۹-۴).

پی‌جویی به روش اکتشاف ژئوشیمیایی ۱:۲۵۰۰۰ در محدوده اکتشافی
حبشی - شریف‌آباد

۴-۳-۴- نیکل

مقدار این عنصر در یک نمونه سنگی به شماره R-HA-AN-21 برابر ۱۳۶ گرم در تن است. این نمونه از سنگهای آتشفشاری با ترکیب آندزیت، تراکی آندزیت همراه با توف‌های سنگی- بلورین در بخش جنوب باختری منطقه برداشت شده است (جدول ۴-۱۹).

۴-۴- استرانسیوم

نمونه شماره R-HA-AN-20 (ppm944) در منطقه امیدبخش ۳ از سنگهای آتشفشاری با ترکیب آندزیت، تراکی آندزیت همراه با توف‌های سنگی- بلورین برداشت شده است، که دارای استرانسیم به میزان ۹۴۴ گرم در تن است. همانگونه که ملاحظه می‌شود نمونه فوق تنها برای مس از خود ناهنجاری نشان میدهدن (جدول ۴-۱۹).

جدول ۴-۱۹- نتایج آنالیز شیمیایی نمونه‌های سنگی برداشت شده از منطقه امیدبخش شماره ۳

Field No	X	Y	As	Cd	Co	Cr	Cu	Mn	Mo	Ni	Pb	Sr	V	Zn	Zr
R-HA-AN-21	758459	3841527	13	0	56	34	202	166	11	132	1780	20	32	185	32
R-HA-AN-22	758623	3841545	6	0	16	32	65	1103	2	25	732	32	117	18	268
R-HA-AN-20	758356	3841537	2	<0.1	2	<0.8	205	267	<0.5	3	7	944	3	18	16

۴-۴-۵- نتایج مطالعات کانی سنگین در منطقه امیدبخش شماره ۳

۴-۴-۵-۱- کانی‌های سرب و روی

کانی‌های این خانواده شامل گالن در نمونه شماره HA-AN-28 (۱/۳۸ گرم در تن) است

که دارای مقدار قابل توجهی نیست و کانی باریت در این منطقه در نمونه HA-AN-28 (۲/۰۷ گرم

در تن) و HA-AN-29 (۱/۳۵ گرم در تن) دیده می‌شود در ضمن کانی زیرکن نیز در دو نمونه با

شماره HA-AN-23 (۱/۶ گرم در تن)، HA-AN-29 (۱/۴ گرم در تن) نیز مشاهده شده است که

قابل ملاحظه نیست.

جدول شماره ۴-۲۰- میزان عناصر ناهنجار در نمونه‌های مینرالیزه منطقه امیدبخش شماره ۳

شماره نمونه	Pb	Cu	Ni	Sr
R-HA-AN-21	1780	202	132	20
R-HA-AN-22	732	65	25	32
R-HA-AN-20	7	205	3	944

۴-۴-۶- دگرسانی در منطقه امیدبخش شماره ۳

با توجه به بررسی‌های انجام شده هیچگونه دگرسانی در منطقه مشاهده نشده است.

۴-۴-۷- نتایج حاصل از مطالعات میکروسکوپی در منطقه امیدبخش شماره ۳

شماره نمونه : R.HA.AN.20

- بافت: رگه - رگچه‌ای و کمتر دانه پراکنده

معمولترین کانی‌سازی در این مقطع بیشتر در رگه - رگچه‌ها اتفاق افتاده است و بصورت قبلی

کمتر در اشکال دانه پراکنده یا اشکال کانه‌ای ریز دانه دیده می‌شود. بیشترین کانی در مقطع مربوط

است.

پی‌جوبی به روش اکتشاف ژئوشیمیایی ۱:۲۵۰۰۰ در محدوده اکتشافی
جبشی - شریف‌آباد

۱- کالکوپیریت که در اشکال نیمه خود شکل در اندازه‌های تا ۴۰ میکرون دیده می‌شود. دگرسانی

سبب شده است تا در زمینه کانه بصورت نامنظم و انتخابی بورنیت جانشین شود. این جانشینی

در بعضی کانه‌ها بسیار زیاد و در بعضی کانه‌ها فقط در حواشی کالکوپیریت اتفاق افتاده

است. معمولاً این جانشینی در حاشیه به داخل بلور اتفاق افتاده است. گاه در حاشیه بعضی از

بلورهای بورنیت، کالکوسیت بصورت نامنظم جانشین شده است و در یک مورد حتی بورنیت

تماماً توسط کالکوسیت جانشین شده و فقط بقایایی از بورنیت دیده می‌شود. مقدار کالکوسیت

در مقطع حدوداً ۰/۱ درصد بر آورد می‌گردد.

۲- پیریت در اشکال خودشکل به صورت کانه همراه با کالکوپیریت است. اندازه بلورها تا ۶۰

میکرون می‌رسد و بطور ثانوی در حواشی اکسید آهن جانشین شده است.

۳- آلدگی‌های مالاکیت و اکسید آهن بصورت واضح در رگه - رگچه‌ها دیده می‌شود.

۴- طلا

مقدار طلا در نمونه‌های سنگی عمدتاً بین ۱ تا ۵ میلی‌گرم در تن اندازه‌گیری شده که نشانده‌ند

عدم تمرکز این عنصر در سنگ‌های دگرسان شده و سیلیسی موجود در منطقه است. در مرحله کترول

ناهنجاری از میان ۵۲ نمونه برداشت شده از رخنمونه‌های سنگی سه منطقه امیدبخش، تعداد ۱۰ نمونه از

مناطق دگرسانی و زون‌های سیلیسی برای تعیین میزان طلا آنالیز گردید که حاصل نتایج در پیوست شماره ۹

آمده است.



پی جویی به روش اکتشاف ژئوشیمیایی ۱:۲۵۰۰۰ در محدوده اکتشافی
حبشی - شریف آباد



پی جویی به روش اکتشاف ژئو شیمیایی ۱:۲۵۰۰۰ در محدوده اکتشافی
حبسی - شریف آباد





پی جویی به روش اکتشاف ژئو شیمیایی ۱:۲۵۰۰۰ در محدوده اکتشافی
حبسی - شریف آباد





پی‌جویی به روش اکتشاف ژئوشیمیایی ۱:۲۵۰۰۰ در محدوده اکتشافی
حبشی - شریف آباد



پی جویی به روش اکتشاف ژئو شیمیایی ۱:۲۵۰۰۰ در محدوده اکتشافی
حبسی - شریف آباد



پی جویی به روش اکتشاف ژئو شیمیایی ۱:۲۵۰۰۰ در محدوده اکتشافی
حبسی - شریف آباد



پی جویی به روش اکتشاف ژئوشیمیایی ۱:۲۵۰۰۰ در محدوده اکتشافی
حبشی - شریف آباد



فصل پنجم

نتیجه‌گیری و پیشنهادات

۱-۵- نتیجه‌گیری و پیشنهادات

مطالعات ژئوشیمیایی در محدوده اکتشافی جبشی در دو مرحله به شرح زیر انجام

شده است :

الف- در مرحله اول در محدوده جبشی تعداد ۳۹۵ نمونه ژئوشیمیایی و ۱۴۰ نمونه

کانی سنگین برداشت شد که بر پایه نتایج بدست آمده از نمونه‌های ژئوشیمی، تعداد ۲۶ عنصر مورد داده پردازی قرار گرفته و نقشه‌های ناهنجاری برای ۱۹ عنصر با اهمیت آن بطور جداگانه ترسیم شده است. همچنین تعداد ۶ نقشه تحت عنوان نقشه‌های عاملی در این گزارش ارائه شده است.

*- نتایج بدست آمده از مطالعات ژئوشیمیایی، ناهنجاری‌هایی از سرب، روی، آرسنیک، مولیبدن و زیرکن قابل معرفی است.

*- نتایج بدست آمده از روش مطالعاتی کانی سنگین همپوشانی قابل قبولی را با نتایج بدست آمده از آنالیزهای دستگاهی نمونه‌های ژئوشیمی نشان نمی‌دهد.

*- نتایج بدست آمده از مطالعات کانی سنگین، کانیهای کانسارسازی همچون کانیهای خانواده مس، فلوریت، سینابر، طلا، سرب و روی را به مقدار ناچیز شناسایی و بر روی نقشه انتشار کانیهای سنگین معرفی نموده است.

*- بر پایه ناهنجاریهای بدست آمده از نمونه‌های ژئوشیمی و کانی سنگین ۳ محدوده تحت عنوان مناطق امیدبخش معدنی شناسایی و معرفی شده است. لازم به ذکر است این

پی‌جویی به روش اکتشاف ژئوشیمیایی ۱:۲۵۰۰۰ در محدوده اکتشافی جبشی-شیرآباد

محدوده‌ها دارای اهمیت نسبی هستند و معرفی آنها با توجه به مرحله اکتشافات مقدماتی و

مشاهدات صحرایی صورت پذیرفته است.

ب- در مرحله کنترل ناهنجاری تعداد ۵۲ نمونه لیتوژئوشیمیایی و ۴۱ نمونه کانی

سنگین از رخنمون‌های سنگی و حوضه آبریز ناهنجاری‌ها برداشت شد.

*- با توجه به نتایج حاصل از آزمایش XRD انجام شده بر روی تعداد ۶ نمونه

برداشت شده از مهمترین پهنه دگرسانی موجود در منطقه که در اطراف روستای جبشی است ،

می‌توان نتیجه گرفت که دگرسانی از نوع آرژیلی حد بواسطه است.

*- با توجه به مجموعه نتایج بدست آمده بنظر می‌رسد محدوده جبشی

ناهنجاری‌هایی از عناصر آرسنیک، مس، منگنز، مولیبدن، سرب، روی و زیرکونیوم را نشان

می‌دهد .

*- احتمالاً کانی‌زایی سرب، روی و مس موجود در منطقه را میتوان به کانی‌زایی‌های

گرمابی درجه حرارت پایین در واحدهای آهکی و همچنین زون‌های سیلیسی درون واحدهای

دگرگونی نسبت داد . در حالیکه کانی‌زایی منگنز می‌تواند از نوع رسوبی - آتشفسانی وابسته به

مجموعه‌های آواری - آتشفسانی آندزیت - تراکی آندزیتی ژوراسیک بالا - کرتاسه زیرین

(JK^{V1}, JK^{V2}) باشد . کانی‌سازی زیرکن می‌تواند بصورت تمکز در رگچه‌های نازک سیلیسی

وابسته به گدازه‌های ریولیت - ریوداسیتی ژوراسیک - کرتاسه (JK^{phy}) در نظر گرفته شود .

۲-۵- پیشنهادات

بطور کلی با جمع‌بندی نتایج مطالعات ژئوشیمیایی و کانی سنگین در محدوده جبشی و کتلر ناهنجاری‌های شناسایی شده، تعداد ۳ محدوده ناهنجاری عناصر مس، سرب و روی، منگنز و زیرکن به ترتیب اولویت به شرح زیر معرفی می‌گردد:

۱- محدوده A به مختصات X از ۷۶۰۶۵۰ تا ۷۶۳۷۰۰ و Y از ۳۸۴۷۵۲۵ تا

۳۸۴۹۲۰۰، به مساحت ۶ کیلومترمربع. این محدوده که گدازه‌های ریولیتی JK^{rhy} اطراف روزتای جبشی و مجموعه آتشفسانی - آواری آندزیت - تراکی آندزیت^{v2} JK^{v2} را دربرمی‌گیرد، برای کانی‌سازی مس، سرب و روی رگه‌ای و زیرکن وابسته به گدازه‌های داسیتی کم و بیش مستعد است.

۲- محدوده B به مختصات X از ۶۵۰۵۰۰ تا ۷۶۲۳۰۰ و Y از ۳۸۴۵۶۰۰ تا

۳۸۴۱۰۰۰، به مساحت ۸/۱ کیلومترمربع. این محدوده که مجموعه آواری - آتشفسانی JK و گنددهای ریولیتی JK^{rhy} و مجموعه کربناته - آواری JK^L را دربرمی‌گیرد، برای کانی‌سازی رگه‌ای مس، سرب و روی و کانی‌سازی زیرکن وابسته به گدازه‌های ریولیتی کم و بیش مستعد است.

۳- محدوده C به مختصات X از ۷۵۷۹۰۰ تا ۷۵۹۲۰۰ و Y از ۳۸۴۲۱۰۰ تا

۳۸۴۱۰۰۰، به مساحت ۱/۸ کیلومترمربع. این محدوده که مجموعه آواری - آتشفسانی JK و JK^{v1} را دربرمی‌گیرد، برای کانی‌سازی رگه‌ای مس، سرب و روی و کانی‌سازی منگنز نوع رسوبی - آتشفسانی (وابسته به مجموعه JK^{v1}) مستعد است.

از آنجاکه ناهنجاری‌های مشاهده شده در هر سه محدوده فوق عمدتاً مس، سرب و

روی و زیرکن می‌باشد و بجز زیرکن بقیه ناهنجاری‌ها در حد ضعیف تا متوسط می‌باشد، لذا

پیشنهاد می‌شود که ابتدا یک نمونه‌گیری اولیه از رخنمون‌های سنگی دارای پتانسیل احتمالی

زیرکن و عناصر ناهنجار (زون‌های دگرسانی، رگه‌های سیلیسی، گدازه‌های ریولیت -

ریوداسیت ژوراسیک - کرتاسه) انجام و مورد آنالیز شیمیایی برای تعیین میزان زیرکونیم،

مس، سرب، روی و طلا همراه با مطالعات سنگ‌شناسی و کانی سنگین قرار گیرد.

در این رابطه تعداد ۵۰ نمونه آنالیز شیمیایی، ۲۰ نمونه پتروگرافی و ۲۰ نمونه کانی

سنگین (خردایش و جدایش کانی‌های سنگین) برداشت و مورد آزمایش قرار گیرد، تا در

صورت کسب نتایج مثبت نسبت به ادامه بررسی‌های اکتشافی در این محدوده‌ها پیشنهادات

منطقی ارائه گردد.



پی جویی به روش اکتشاف ژئو شیمیایی ۱:۲۵۰۰۰ در محدوده اکتشافی
حبسی - شریف آباد



وزارت
صنایع و معدن

سازمان زمین‌شناسی و
اکتشافات معدنی کشور